

**АЗЭРБАЙЧАН ССР ЕЛМЛЭР АКАДЕМИЈАСЫ
АКАДЕМИЯ НАУК АЗЕРБАЙДЖАНСКОЙ ССР**

МЭРҮЗЭЛЭР ДОКЛАДЫ

ТОМ XXIV ЧИЛД

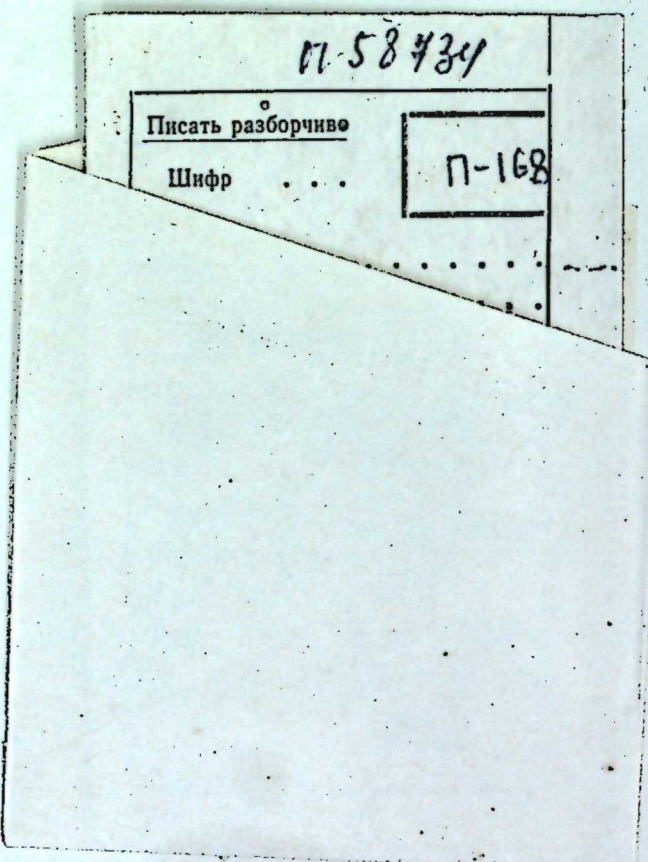
2

**АЗЭРБАЙЧАН ССР ЕЛМЛЭР АКАДЕМИЈАСЫ НЭШРИЈЛТЫ
ИЗДАТЕЛЬСТВО АКАДЕМИИ НАУК АЗЕРБАЙДЖАНСКОЙ ССР
Бакы—1968—Баку**

МӘРҮЗӘЛӘР ДОКЛАДЫ

ТОМ XXIV ЧИЛД

№ 2



Р. А. БАЙРАМОВ

СТАБИЛИЗАТОРЫ ПРЕДИКАТОВ И ФУНКЦИИ ШЕФФЕРА
В КОНЕЧНОЗНАЧНОЙ ЛОГИКЕ

(Представлено академиком АН Азербайджанской ССР З. И. Халиловым)

Пусть $E_k = \{0, 1, \dots, k-1\}$, и P_k множество всех функций, принимающих значения из E_k при изменении аргументов в E_k (множество функций k -значной логики). Пусть далее $P_k^{(n)}$ подмножество в P_k , состоящее из всех функций, зависящих не более, чем от n аргументов, и для любого $M \subseteq P_k$ $M^{(n)} = M \cap P_k^{(n)}$. Алгебра $P_k = \langle P_k; \eta, \tau, \Delta, \nabla, * \rangle$ (определение сигнатурных операций $\eta, \tau, \Delta, \nabla, *$ см. в [1]) называется алгеброй Поста ранга k .

Каждому определенному на E_k l -местному предикату ρ одновзначно соответствует некоторое подмножество $I(\rho) \subseteq E_k^l$, а именно область истинности $\rho: (x_1, \dots, x_l) \in I(\rho) \leftrightarrow ((x_1, \dots, x_l) \in I(\rho))$. Говорят, что функция $f(x_1, \dots, x_n) \in P_k$ сохраняет определенный на E_k предикат $\rho(y_1, \dots, y_l)$, если для любых $x_{ij} \in E_k$ из $((x_{11}, \dots, x_{1l}) \in I(\rho)) \wedge \dots \wedge ((x_{n1}, \dots, x_{nl}) \in I(\rho))$ следует $(f(x_{11}, \dots, x_{1l}), \dots, f(x_{n1}, \dots, x_{nl})) \in I(\rho)$. Совокупность всех $f \in P_k$, сохраняющих фиксированный определенный на E_k предикат ρ , называется (см. [2]) стабилизатором предиката ρ и обозначается $St(\rho)$. Очевидно $St(\rho)$ при любом ρ является подалгеброй в P_k ; однако это не означает, что всякая подалгебра в P_k представима в виде $St(\rho)$ при некотором ρ . Как показал А. В. Кузнецов (см. [3]), максимальные в P_k подалгебры обладают этим (и даже более сильным) свойством: всякая максимальная в P_k подалгебра является стабилизатором некоторого предиката местности $\ll k$. Так как проблема полноты в любой конечно-порожденной алгебре эквивалентна нахождению всех максимальных в ней подалгебр, и P_k 1-порождаема (при любом конечном k в P_k существуют функции Шеффера), то с очевидностью ясна роль стабилизаторов предикатов в решении проблемы в k -значной логике.

Хотя предикатный подход к проблеме полноты в P_k позволяет установить финитность канонического критерия полноты в P_k (т. е. конечность множества максимальных в P_k подалгебр), он не дает достаточно точной верхней оценки эффективности этого критерия. Причины: а) далеко не для всякого ρ $St(\rho)$ максимальна в P_k ; б) при различных ρ_1, ρ_2 часто имеем $St(\rho_1) = St(\rho_2)$.

В первой части заметки исследуются возможности реализации соотношений $St(\rho_1) = St(\rho_2)$, $St(\rho_1) \subset St(\rho_2)$ при различных ρ_1, ρ_2 . Это нуж-

РЕДАКЦИОННАЯ КОЛЛЕГИЯ: Р. Г. Исмайлов (главный редактор), Ш. А. Азизбеков, В. Р. Волобуев, Д. М. Гусейнов, И. А. Гусейнов, М. А. Дадашзаде (зам. главного редактора), М. А. Далин, Ч. М. Джуварлы, А. И. Карабев, М. А. Карай (зам. главного редактора), С. М. Кулиев, М. Ф. Нагиев, М. А. Топчубашев, З. И. Халилов, Г. Г. Зейналов (ответственный секретарь).

Адрес: г. Баку, Коммунистическая, 10. Редакция «Докладов Академии наук Азербайджанской ССР».

п 58734

Сдано в набор 4/IV 1968 г. Подписано к печати 11/VI 1968 г. Формат бумаги 70×108^{1/16}. Бум. лист 3,00. Печ. лист 8,92. Уч.-изд. лист. 6,41. ФГ 08306.

Здравствуйте! Тираж 870. Цена 10 коп.

Типография «Наука» Комитета по печати при Совете Министров
Азербайджанской ССР. Баку, Рабочий проспект, 96.
Академии наук Киргизской ССР

но для установления необходимых условий максимальности подалгебр в P_k и улучшения оценки эффективности критерия полноты.

Прежде всего рассмотрим вопрос, для каких ρ $St(\rho) = P_k$; существуют ли предикаты с этим свойством, не являющиеся ни тождественно истинными, ни тождественно ложными (для последних равенство $St(\rho) = P_k$ очевидно).

Пусть $R: \xi_1 + \dots + \xi_l$ произвольное разбиение множества $\{1, \dots, l\}$ (три-вильное и универсальное разбиение ($t = l$, $t = 1$) не исключаются). Скажем, что набор $\bar{z} = (\alpha_1, \dots, \alpha_l)$ обладает спецификацией $sp(\bar{z}) = \|\xi_1, \dots, \xi_l\|$, если для всех i, j ($\alpha_i = \alpha_j \leftrightarrow (\exists q(i, j \in \xi_q))$). Через $SP(E_k^l, \|\xi_1, \dots, \xi_l\|)$ обозначим множество всех наборов из E_k^l , обладающих спецификацией $\|\xi_1, \dots, \xi_l\|$. Скажем далее, что $\|\xi_1, \dots, \xi_l\| \geq \|D_1, \dots, D_s\|$ ($\langle \|D_1, \dots, D_s\| \rangle$), если разбиение $R_1: \xi_1 + \dots + \xi_l$ множества $\{1, \dots, l\}$ является укрупнением (изменением) разбиения $R_2: D_1 + \dots + D_s$ множества $\{1, \dots, l\}$. Обозначим $SP^*(E_k^l, \|\xi_1, \dots, \xi_l\|) = \bigcup_{1 \leq L_1, \dots, L_m \leq l} SP(E_k^l, \|L_1, \dots, L_m\|)$, через $sp(\rho)$ множество всех различных спецификаций, встречающихся в $I(\rho)$. Вводя естественным образом понятие пересечения спецификаций (при фиксированном l), приходим к множеству $sp(\rho)$ — Ω -замыканию множества $sp(\rho)$. Пусть, наконец, для l -местного предиката ρ и для любого $\bar{z} \in I(\rho)$.

$$\overline{SP}^*(E_k^l, sp(\bar{z})) = \bigcap_{x \in sp(\rho)} SP^*(E_k^l, sp(\bar{z}) \cap x).$$

Определение. l -местный предикат ρ , определенный на E_k , назовем спецификационно монотонным, если для любых $\bar{z} \in E_k^l$

$$(\bar{z} \in I(\rho)) \leftrightarrow (\overline{SP}^*(E_k^l, sp(\bar{z})) \subseteq I(\rho)).$$

Теорема 1: $St(\rho) = P_k$ тогда и только тогда, когда предикат ρ спецификационно монотонен.

Очевидно, тождественно истинные и тождественно ложные предикаты спецификационно монотонны, т. е. охватываются теоремой 1.

Сейчас мы полностью опишем возможности реализации соотношений $St(\rho_1) = St(\rho_2)$, $St(\rho_1) \subset St(\rho_2)$ для случая различных предикатов одинаковой местности; в силу теоремы 1 интерес представляет рассмотрение при $St(\rho_1) \neq P_k$, $St(\rho_2) \neq P_k$.

Определение. Скажем, что l -местные предикаты ρ_1 , ρ_2 образуют спецификационно монотонную Ω -пару (сокращенно с. м. Ω -пару), если $(I(\rho_1) \cap I(\rho_2) \neq \Lambda) \vee (\forall \bar{z}_1, \dots, \bar{z}_n \in I(\rho_1) \overline{SP}^*(E_k^l, \bigcap_{j=1}^n sp(\bar{z}_j)) \setminus I(\rho_1) \equiv \Lambda)$;

$i=1,2$), где \vee знак исключительной дизъюнкции, и запись вида „ $X \equiv \Lambda$ “ здесь и дальнейшем во всякой формуле, являющейся необходимым условием включения $St(\rho_1) \subseteq St(\rho_{\{1,2\} \setminus \{i\}})$, означает „либо $X = \Lambda$, либо всякий набор $\bar{z} \in X$ неприемлем для любой $f \in St(\rho_1)$ в качестве набора некоторых значений (Λ — пустое множество) и $\forall n((\bar{z}_1, \dots, \bar{z}_n \in I(\rho_1) \cap I(\rho_2)) \leftrightarrow (\overline{SP}(E_k^l, \bigcap_{j=1}^n sp(\bar{z}_j)) \cap (I(\rho_1) \setminus (I(\rho_1) \cap I(\rho_2))) \equiv \Lambda; i=1,2))$. Скажем далее, что ρ_1 , ρ_2 образуют сильную с. м. Ω -пару, если они образуют с. м. Ω -пару, и кроме того, предикаты ρ_1 , ρ_2 с областями истинности $I(\rho_1) = I(\rho_1)/I(\rho_2)$, $I(\rho_2) = I(\rho_2)/I(\rho_1)$ удовлетворяют условиям: $\forall n((\bar{z}_1, \dots, \bar{z}_n \in I(\rho_1)) \Lambda (\exists q(\bar{z}_q \in I(\rho_1))) \leftrightarrow (\overline{SP}(E_k^l, \bigcap_{j=1}^n sp(\bar{z}_j)) \cap I(\rho_1) \equiv \Lambda); i=1,2$.

Теорема 2. Для предикатов одинаковой местности ρ_1 , ρ_2 равенство $St(\rho_1) = St(\rho_2)$ выполняется тогда и только тогда, когда либо $St(\rho_1) = P_k = St(\rho_2)$, либо ρ_1 , ρ_2 образуют сильную с. м. Ω -пару.

Определение. l -местные предикаты ρ_1 , ρ_2 образуют ρ_1 —с. м. Ω -пару, если $I(\rho_1) \cap I(\rho_2) \neq \Lambda \vee (\forall \bar{z}_1, \dots, \bar{z}_n \in I(\rho_2) \overline{SP}^*(E_k^l, \bigcap_{j=1}^n sp(\bar{z}_j)) \setminus I(\rho_2) \equiv \Lambda)$ и $\forall n((\bar{z}_1, \dots, \bar{z}_n \in I(\rho_1) \cap I(\rho_2)) \leftrightarrow (\overline{SP}(E_k^l, \bigcap_{j=1}^n sp(\bar{z}_j)) \cap I(\rho_1) \equiv \Lambda))$.

Скажем, что ρ_1 , ρ_2 образуют $(\rho_1 \rho_2)$ -с. м. Ω -пару, если они образуют ρ_1 —с. м. Ω -пару, и кроме того предикат ρ_2 удовлетворяет условиям: $\forall n((\bar{z}_1, \dots, \bar{z}_n \in I(\rho_2)) \Lambda (\exists q(\bar{z}_q \in I(\rho_2))) \leftrightarrow (\overline{SP}(E_k^l, \bigcap_{j=1}^n sp(\bar{z}_j)) \cap I(\rho_2) \equiv \Lambda))$,

$$\exists m \exists \bar{\beta}_1, \dots, \bar{\beta}_m \in I(\rho_1) \cap I(\rho_2) \overline{SP}(E_k^l, \bigcap_{j=1}^m sp(\bar{\beta}_j)) \cap I(\rho_2) \equiv \Lambda$$

либо $\exists m \exists \bar{\beta}_1, \dots, \bar{\beta}_m \in I(\rho_1) \exists j((\bar{\beta}_j \in I(\rho_1) \wedge (\overline{SP}(E_k^l, \bigcap_{q=1}^m sp(\bar{\beta}_q)) \setminus I(\rho_1) \equiv \Lambda))$

Теорема 3. Для предикатов одинаковой местности ρ_1 , ρ_2 включение $St(\rho_1) \subset St(\rho_2)$ выполняется тогда и только тогда, когда либо $(St(\rho_2) = P_k)$, $(St(\rho_1) \neq P_k)$, либо ρ_1 , ρ_2 образуют $(\rho_1 \rho_2)$ -с. м. Ω -пару.

Для случая, когда ρ_1 , ρ_2 предикаты различных местностей, получить необходимое и достаточное условие выполнимости равенства $St(\rho_1) = St(\rho_2)$ (включения $St(\rho_1) \subset St(\rho_2)$) не удается. Приведем одно достаточное условие выполнимости $St(\rho_1) = St(\rho_2)$.

Теорема 4. $\forall t((I(\rho_2) = (I(\rho_1))^t) \rightarrow (St(\rho_2) = St(\rho_1)))$.

Следствие. $\forall t_1 \forall t_2 ((I(\rho_1) = (I(\rho_0))^{t_1}) \wedge (I(\rho_2) = I(\rho_0))^{t_2}) \rightarrow (St(\rho_1) = St(\rho_2))$.

Можно указать также ряд необходимых и достаточных условий включения подалгебр типа $St(\rho)$ в максимальные в P_k подалгебры из классических серий $\{T_i\}$, $\{T_\xi\}$ и др. (см. [4], [5]), но здесь мы этого делать не будем.

Теперь рассмотрим другой путь получения верхней оценки эффективности критерия полноты в P_k . Известно (см. [4]), что число максимальных в P_k подалгебр меньше числа $Sub(\Omega_k)$ подполугрупп в симметрической полугруппе Ω_k . Существовало предположение, что, достаточно тонко оценив сверху $Sub(\Omega_k)$, мы получим тем самым хорошую верхнюю оценку эффективности критерия полноты в P_k ; в частности, предполагалось возможным получить для $Sub(\Omega_k)$ верхнюю оценку со „слабо растущим третьим этажом“. Нижеприводимая теорема показывает неверность этого предположения.

Теорема 5. $Sub(\Omega_k) \geq 2^{k^{(k-1)}}$, где $\lim_{k \rightarrow \infty} \varepsilon(k) = 0$, $\varepsilon(k) < 1$.

В заключение рассмотрим вопрос о функциях Шеффера в P_k . Множество функций Шеффера в P_k обозначим SH_k . Верьма интересно, какова мощность $|SH_k^{(n)}|$ при фиксированном k и как ведет себя $|SH_k^{(n)}|$ при возрастании k . Точное значение $|SH_k^{(n)}|$ известно настолько время лишь при $k=2$ (см. [6], [7], [8]) и $k=3$ ([9]); асимптотика для $|SH_3^{(n)}|$ получена в [10], однако вычислить точное значение $|SH_3^{(n)}|$ автору [10] не удалось. Далее авторами [9], [10] независимо друг от

друга была высказана гипотеза: $\frac{|SH_k^{(n)}|}{|P_k^{(n)}|} \sim \frac{|\Omega_k^n|}{|\Omega_k|} = \frac{(k-1)^k}{k^k} \xrightarrow{k \rightarrow \infty} \frac{1}{e}$, где

$\Omega_k^n = \{T : T \in \Omega_k, \forall x \in E_k (T(x) \neq x)\}$. Здесь гипотеза доказывается. Пусть ρ l -местный предикат.

Теорема 6. Если $(l \geq 2) \vee ((l=1) \wedge (|\mathcal{I}(\rho)| \geq 2))$ и предикат ρ не является спецификационно монотонным, то $|St^{(n)}(\rho)| = o(k^n)$ при $St(\rho) \neq Ti$.

Следствие. $\frac{|SH_k^{(n)}|}{|P_k^{(n)}|} \sim \frac{(k-1)^k}{k^k} \xrightarrow{k \rightarrow \infty} \frac{1}{e}$.

ЛИТЕРАТУРА

1. Мальцев А. И. Итеративные алгебры и многообразия Поста. Алгебра и логика. Семинар, 1966, т. V, вып. 2. Мальцев А. И. Специальные классы моделей. Спецкурс, НГУ, 1967.
3. Кузнецов А. В. Математика в СССР за 40 лет, т. 1, стр. 102–115.
4. Яблонский С. В. Функциональные построения k -значной логики. Труды матем. Ин-та им. Стеклова, 11 (1958), 5–142.
5. Мартынюк В. В. Исследование некоторых классов функций в многозначных логиках. «Проблемы кибернетики», 1960, № 3.
6. Шестопал Г. А. О числе простых базисов булевых функций. ДАН СССР, 1961, 148, № 2.
7. Turquette A twell R. A. General theory of k -place stroke functions in 2-valued Logic, Proc. Amer. Math. Soc., 1962, 13, № 5.
8. Байрамов Р. А. Взаимное расположение предполных классов алгебры логики и некоторые следствия из него. Дискретный анализ. Новосибирск, 1965, № 5.
9. Байрамов Р. А. О функциях Шеффера в многозначной логике. Кибернетика. Киев, 1967 (в печати).
10. Wheeler Roger F. Complete connectives in 3-valued propositional calculus, Proc. London Math. Soc., 1966, 16, № 1.

Поступило 5. VII 1967

Институт кибернетики

АЗЭРБАЙЧАН ССР ЕЛМЛЭР АКАДЕМИЯСЫНЫН МЭРҮЗЭЛЭРИ

ДОКЛАДЫ АКАДЕМИИ НАУК АЗЕРБАЙДЖАНСКОЙ ССР

ТОМ XXIV

№ 2

1968

МЕХАНИКА

Ю. Н. КУЛИЕВ

ОБ ОПТИМАЛЬНЫХ КОНСТРУКЦИЯХ ЭСТАКАД

(Представлено академиком АН Узбекской ССР Х. А. Рахматулиным)

В настоящей работе рассматриваются поперечные колебания эстакадных рам под действием морских волн. Исследуется влияние угла α_0 на частоты собственных колебаний и напряжений при вынужденных колебаниях рамы. Выведены граничные условия в точке стыка ригель и стоек. Найден угол α_0 , при котором возникает минимальное напряжение.

Постановка задачи. Пусть имеется одноэтажная косая рама (рис. 1) некоторой части s , которая находится в жидкости, совершающей волновое движение. Очевидно, длина s изменяется со временем. Система координат выбирается, как указано на рисунке. Считаем, что стойки в точке $x=0$ жестко заделаны. Длину стойки обозначим через l , длину ригеля — h , пусть с момента $t=0$ на стойку рамы набегают разнообразные волны с различной высотой и частотой, под действием которых элементы рамы выходят из положения равновесия. Прогиб стоек обозначим через $u(x, t)$. Ввиду жестких соединений ригель можно считать абсолютно жестким. Исходя из геометрических соображений, в точке стыка ригеля и стоек, считая, что ψ мало, получаем

$$\psi = 2 \frac{u(l, t) \cos \alpha_0}{h \left(1 - \frac{u(l, t)}{h} \sin \alpha_0 \right)} \quad (1)$$

Ввиду малости $u(x, t)$,
 $\frac{u(l, t)}{h} \ll 1$. Тогда из выражения (1) получаем

$$\psi = 2 \frac{u(l, t) \cos \alpha_0}{h} \quad (2)$$

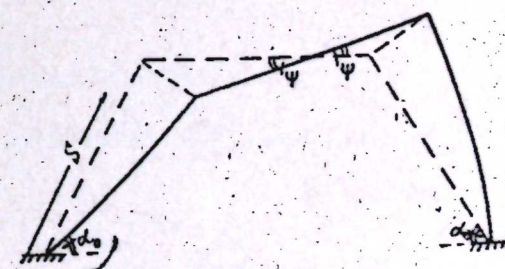


Рис. 1

На основании условий неразрывности рамы

$$\psi = \frac{\partial u}{\partial x} \Big|_{x=l} \quad (3)$$

Внося (3) в (2), получаем

$$\frac{\partial u}{\partial x} - 2\cos\alpha_0 \frac{u(x, t)}{h} = 0 \quad (4)$$

Тогда мы получаем следующую математическую задачу для поперечных колебаний рамы:

$$EI \frac{\partial^4 u}{\partial x^4} + \frac{F_\gamma}{g} \frac{\partial^2 u}{\partial t^2} = F(x, t) \quad (5)$$

$$u(0, t) = 0; \quad \frac{\partial u}{\partial x}(0, t) = 0 \quad (6)$$

$$\frac{\partial u}{\partial x}(l, t) - 2 \frac{\cos\alpha_0}{h} u(l, t) = 0 \quad (6)$$

$$M_0 \frac{\partial^2 u}{\partial t^2}(l, t) = Q(l, t) \quad (7)$$

$$u(x, 0) = 0 \quad (7)$$

$$\frac{\partial u}{\partial t}(x, 0) = 0 \quad (8)$$

Здесь $F(x, t)$ — сила давления воли на сваи, вид ее дан в работе [3], исходя из работ [4], [5], [6]. Решение однородного уравнения, соответствующего (5), с граничным условием (2)–(3) ищем в виде

$$u(x, t) = \sum_{n=1}^{\infty} u_n(x) q_n(t) \quad (9)$$

Подставляя (9) в однородное уравнение, соответствующее (5), можно получить форму колебаний

$$u_n(x) = \cos k_n x - \operatorname{ch} k_n x - \alpha_n (\sin k_n x - \operatorname{sh} k_n x), \quad (10)$$

где

$$\alpha_n = \frac{\beta_n(\sin\beta_n + \operatorname{sh}\beta_n) + 2\xi\cos\alpha_0(\cos\beta_n - \operatorname{ch}\beta_n)}{2\xi\cos\alpha_0(\sin\beta_n - \operatorname{sh}\beta_n) + \beta_n(\operatorname{ch}\beta_n - \cos\beta_n)} \quad (11)$$

Здесь $\xi = \frac{l}{h}$, а $\beta_n = k_n l$ удовлетворяет следующему трансцендентному уравнению

$$\beta_n^2(1 - \cos\beta_n \operatorname{ch}\beta_n)k + \beta_n(\sin\beta_n \operatorname{ch}\beta_n + \cos\beta_n \operatorname{sh}\beta_n) - 2\xi\cos\alpha_0 \sin\operatorname{sh}\beta_n = 0 \quad (11)$$

$k = \frac{M_0}{\rho F l}$, для определения $q_n(t)$ применяем метод С. П. Тимошенко [2], получим

$$\ddot{q}_n(t) + \rho_n^2 q_n(t) = \frac{q}{F_\gamma N_n} \int_0^s F(x, t) u_n(x) dx \quad (13)$$

Решая уравнение (13) методом вариации постоянных, учитывая (8), найдем

$$q_n(t) = \frac{q}{F_\gamma \rho_n N_n} \int_0^t \int_0^s F(x, t) u_n(x) \sin p(t - \tau) dx d\tau, \quad (14)$$

где $S = \frac{H}{\sin\alpha_0}$, а H — глубина моря, рассчитанная от гребня воли.

Вычисляя интеграл (13) для $q_n(t)$, получим:

$$q_n(t) = A_n \left[C_n \left(1 - \cos p_n t + \frac{\cos 2\alpha_0 t - \cos p_n t}{1 - 4\gamma_n^2} \right) - d_n \frac{\sin \alpha_0 t - \gamma_n \sin p_n t}{1 - \gamma_n^2} \right] \quad (15)$$

здесь:

$$A_n = \frac{\rho_\infty D^2 h_b \gamma_n^2 g}{\gamma F N_n} \quad (16)$$

ρ_∞ — массовая плотность жидкости

D — диаметр сваи,

h_b — высота волн,

$\gamma = \frac{\sigma}{\rho_n}$ — отношение частот волн к собственной частоте колебаний.

$$C_n = \frac{C_D \frac{hb}{D} (\Omega_n - \alpha_n \tau_n)}{\operatorname{ch}^2 \frac{2\pi}{L} s_0} \quad (17)$$

$$C_m = \frac{C_m \frac{\pi}{4} (P_n - \alpha_n Q_n)}{\operatorname{ch} \frac{2\pi}{L} s_0} \quad (17)$$

C_D — коэффициент любого сопротивления,

C_m — коэффициент присоединенной массы жидкости

$$\Omega_n = \int_0^s (\cos k_n x - \operatorname{ch} k_n x) \operatorname{sh}^2 \frac{2\pi}{L} x dx$$

$$\tau_n = \int_0^s (\sin k_n x - \operatorname{sh} k_n x) \operatorname{sh}^2 \frac{2\pi}{L} x dx$$

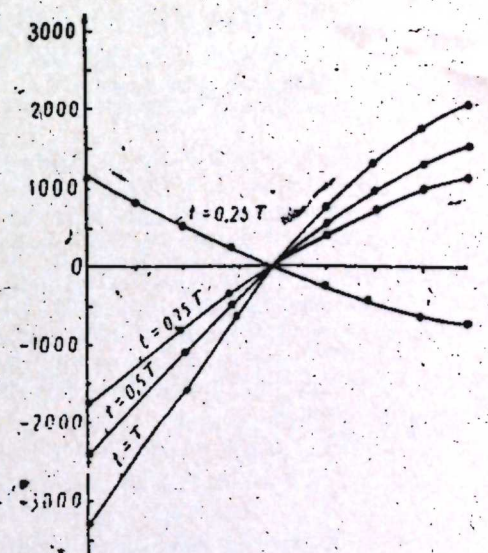


Рис. 2. Распределение напряжения вдоль сваи при $\alpha_0 = 60^\circ$.

$$P_n = \int_0^s (\cos k_n x - \operatorname{ch} k_n x) \operatorname{sh} \frac{2\pi}{L} x dx$$

$$Q_n = \int_0^s (\sin k_n x - \operatorname{sh} k_n x) \operatorname{sh} \frac{2\pi}{L} x dx \quad (19)$$

В работе рассчитано напряжение вдоль сваи в разные моменты времени. При этом уравнение (12) решено численно по методу Ньютона.

Как видно из графиков, максимальное напряжение для всех значений α_0 получается в заделанном конце балки, при $\alpha_0 = 70^\circ$ напряжение мало по сравнению с $\alpha_0 = 60^\circ$, $\alpha_0 = 80^\circ$. Исходя из вышесказанного, мы можем прийти к заключению, что при проектировании эстакадных

рам угол α_0 должен быть выбран оптимальным. В нашем случае оптимальный угол оказался близким к 70° .

Пользуясь случаем, хочу выразить благодарность академику АН Узбекской ССР Х. А. Рахматулину за постоянную помощь и ценные указания в работе, а также Р. Нигматулину за помощь при составлении программы на машине „Наира“.

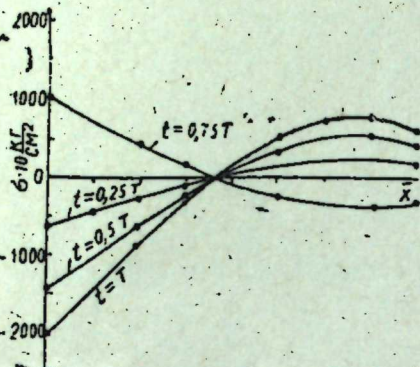


Рис. 3. Распределение напряжения вдоль свая при $\alpha_0 = 70^\circ$.

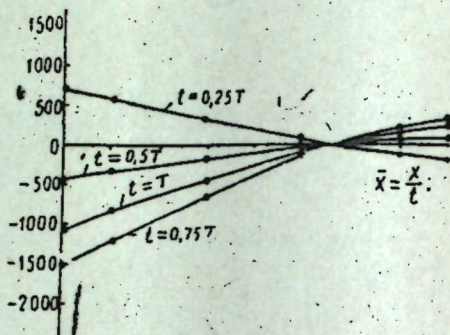


Рис. 4. Распределение напряжения вдоль свая при $\alpha_0 = 80^\circ$.

ЛИТЕРАТУРА

1. Рахматулин Х. А. и Демьянов Ю. А. Прочность при интенсивных кратковременных нагрузках. М., 1961.
2. Тимошенко С. П. Колебания в инженерном деле. М., 1959.
3. Кулиев Ю. П. Поперечные колебания балки в волнующей среде. Тез. докл. III Всесоюз. симпозиума по распространению упругих и упруго-пластических волн. Ташкент, 1966.
4. Milk H. Journal of petroleum technology, March, 1948.
5. Morgan J. R. and others. Journal of petroleum technology, vol. 189, 1950.
6. Виленский В. Г., Глуховский Б. Х. Экспериментальное исследование процесса морского волнения. Труды ГОИИ, вып. 36, 1957.

Институт математики
и механики

Поступило 23. X 1967

Ж. Н. Гулиев

Оптимал естакада конструксијалары һагында
ХУЛАСЭ

Мэгеләдә бир һиссәси маједә олан чәп естакада чәрчивәләринин рәгси һәрәкәтинә баҳылышдыр. Тәнликләр Нјутон үсулу илә һәлләдилмиш вә кәркинликләр пајалар боју несабланышдыр. Несябламалар „Наира“ машинында апарылышдыр.

М. А. БАГИРОВ, В. П. МАЛИН

РАСПРЕДЕЛЕНИЕ ТЕМПЕРАТУРЫ В СИСТЕМЕ ДВУХ ПЛАСТИН ПРИ НАГРЕВЕ ПОВЕРХНОСТИ ОДНОЙ ИЗ НИХ ПОСТОЯННЫМ ТЕПЛОВЫМ ПОТОКОМ

(Представлено академиком АН Азербайджанской ССР Ч. М. Джусварлы)

В практике тепловых расчетов часто встречаются задачи, в которых требуется определить распределение температуры в системе двух тел при нагреве поверхности системы постоянным тепловым потоком. В частности это наблюдается при нагревании тепловым потоком тела, покрытого тонким слоем вещества с другими термическими свойствами (например, нагрев покрытых антикоррозийным слоем труб и т. п.).

В качестве простейшего случая этой задачи рассмотрим систему из двух пластин, неограниченных по длине и ширине (или, что то же самое, систему из двух стержней с боковой теплоизоляцией). Толщина первой пластины l , толщина второй пластины бесконечна. Направим ось координат x по толщине системы, взяв начало координат, ($x=0$) на поверхности первой пластины. Предположим, что поверхность первой пластины $x=0$ нагревается постоянным тепловым потоком плотности q , между пластинами теплообмен происходит посредством теплопроводности, т. е. по закону Фурье. Тогда система уравнений теплопроводности для рассматриваемого случая имеет вид:

$$\frac{\partial \theta_1(x, t)}{\partial t} = a_1 \frac{\partial^2 \theta_1(x, t)}{\partial x^2} \quad \text{при } 0 < x \leq l \quad (1)$$

$$\frac{\partial \theta_2(x, t)}{\partial t} = a_2 \frac{\partial^2 \theta_2(x, t)}{\partial x^2} \quad \text{при } l \leq x < \infty,$$

где θ_1 — температура в первой пластине, θ_2 — во второй пластине. Начальные и граничные условия для системы уравнений (1):

$$\theta_1(x, 0) = \theta_2(x, 0) = 0$$

$$\lambda_1 \frac{\partial \theta_1(0, t)}{\partial x} + q = 0$$

$$\lambda_1 \frac{\partial \theta_1(l, t)}{\partial x} = \lambda_2 \frac{\partial \theta_2(l, t)}{\partial x} \quad (2)$$

$$\theta_1(l, t) = \theta_2(l, t)$$

$$\theta_2(\infty, t) = 0$$

$\lambda_1, a_1, \lambda_2, a_2$ — коэффициенты теплопроводности и температуропроводности соответственно в первой и второй пластинах.

Применяя преобразование Лапласа:

$$T(x, s) = \int_0^\infty \theta(x, t) \exp[-st] dt$$

получим

$$sT_1(x, s) = a_1 \frac{d^2 T_1(x, s)}{dx^2} \quad 0 < x \leq l$$

при

$$sT_2(x, s) = a_2 \frac{d^2 T_2(x, s)}{dx^2} \quad l \leq x < \infty \quad (3)$$

со следующими граничными условиями:

$$\begin{aligned} \lambda_1 \frac{dT_1(0, s)}{dx} + \frac{q}{s} &= 0 \\ \lambda_1 \frac{dT_1(l, s)}{dx} &= \lambda_2 \frac{dT_2(l, s)}{dx} \end{aligned} \quad (4)$$

$$T_1(l, s) = T_2(l, s)$$

$$T_2(\infty, s) = 0$$

Решение уравнений (3) имеет вид

$$T_1(x, s) = A_1 \exp\left[\sqrt{\frac{s}{a_1}}x\right] + A_2 \exp\left[-\sqrt{\frac{s}{a_1}}x\right] \quad (5)$$

$$T_2(x, s) = B_1 \exp\left[\sqrt{\frac{s}{a_2}}x\right] + B_2 \exp\left[-\sqrt{\frac{s}{a_2}}x\right]$$

Определив из (4) значения коэффициентов A_1, A_2, B_1, B_2 получим

$$T_1(x, s) = \frac{\gamma \left(h \exp\left[-\sqrt{\frac{s}{a_1}}(l-x)\right] + \exp\left[-\sqrt{\frac{s}{a_1}}(x-l)\right] \right)}{s\sqrt{s} \left(\exp\left[\sqrt{\frac{s}{a_1}}l\right] - h \exp\left[-\sqrt{\frac{s}{a_1}}l\right] \right)}$$

$$T_2(x, s) = \frac{2\gamma \exp\left[-\sqrt{\frac{s}{a_2}}(x-l)\right]}{(1+\delta) \left(\exp\left[\sqrt{\frac{s}{a_1}}l\right] - h \exp\left[-\sqrt{\frac{s}{a_1}}l\right] \right)},$$

где

$$\gamma = \frac{q\sqrt{a_1}}{\lambda_1}; \quad h = \frac{1-\delta}{1+\delta}; \quad \delta = \frac{\lambda_2}{\lambda_1} \sqrt{\frac{a_1}{a_2}}$$

Используя разложение

$$\frac{1}{\exp\left[\sqrt{\frac{s}{a_1}}l\right] - h \exp\left[-\sqrt{\frac{s}{a_1}}l\right]} = \sum_{n=1}^{\infty} h^{n-1} \exp\left[-(2n-1)\sqrt{\frac{s}{a_1}}l\right]$$

(т. к. $\delta > 0, h < 1$, то этот ряд быстро сходится) запишем

$$\begin{aligned} T_1(x, s) &= \frac{\gamma}{s\sqrt{s}} \sum_{n=1}^{\infty} h^{n-1} \exp\left[-2nl-x\right] \sqrt{\frac{s}{a_1}} + \\ &+ h^{n-1} \exp\left[-(2nl-2l+x)\sqrt{\frac{s}{a_1}}\right] \end{aligned} \quad (6)$$

$$T_2(x, s) = \frac{2\gamma}{(1+\delta)s\sqrt{s}} \sum_{n=1}^{\infty} h^{n-1} \exp\left[-\sqrt{s} \frac{(x-l)+(2n-1)l\sqrt{\frac{a_2}{a_1}}}{\sqrt{a_2}}\right]$$

Применяя обратное преобразование Лапласа [1]

$$L^{-1}\left[\frac{1}{s\sqrt{s}} \exp[-k\sqrt{s}]\right] = 2\sqrt{\frac{t}{\pi}} \exp\left[-\frac{k^2}{4t}\right] - k \operatorname{erfc}\left(\frac{k}{2\sqrt{t}}\right),$$

где

$$\operatorname{erfc} x = \frac{2}{\sqrt{\pi}} \int_0^\infty \exp[-y^2] dy$$

Имеем из (6)

$$\begin{aligned} \theta_1(x, t) &= \gamma \sum_{n=1}^{\infty} h^n \left[2\sqrt{\frac{t}{\pi}} \exp\left[-\frac{(2nl-x)^2}{4a_1 t}\right] - \right. \\ &- \frac{2nl-x}{\sqrt{a_1}} \operatorname{erfc}\left(\frac{2nl-x}{2\sqrt{a_1 t}}\right) \left. \right] + h^{n-1} \left[2\sqrt{\frac{t}{\pi}} \exp\left[-\frac{(2nl-2l+x)^2}{4a_1 t}\right] - \right. \\ &- \frac{2nl-2l+x}{\sqrt{a_1}} \operatorname{erfc}\left(\frac{2nl-x}{2\sqrt{a_1 t}}\right) \left. \right] \end{aligned}$$

$$\begin{aligned} \theta_2(x, t) &= \frac{2\gamma}{1+\delta} \sum_{n=1}^{\infty} \left[h^{n-1} \left[2\sqrt{\frac{t}{\pi}} \exp\left[-\frac{(x-l)+(2n-1)l\sqrt{\frac{a_2}{a_1}}}{4a_2 t}\right] - \right. \right. \\ &- \frac{x-l+(2n-1)l\sqrt{\frac{a_2}{a_1}}}{\sqrt{a_2}} \operatorname{erfc}\left(\frac{x-l+(2n-1)l\sqrt{\frac{a_2}{a_1}}}{2\sqrt{a_2 t}}\right) \left. \right] \end{aligned} \quad (7)$$

Для случая, когда термические свойства покрытия и тела совпадают, т. е. при

$$\delta = 1; \quad h = 0$$

(7) примет вид

$$\theta(x, t) = \gamma \left[2 \sqrt{\frac{t}{\pi}} \exp \left[-\frac{x^2}{4a_1 t} \right] - \frac{x}{V a_1} \operatorname{erfc} \frac{x}{2 V a_1 t} \right] \quad (8)$$

Результат (8) совпадает с распределением температуры для полуограниченного стержня, конец которого нагревается постоянным тепловым потоком [1].

Ограничиваюсь первыми членами (7) (ввиду быстрой сходимости рядов) имеем

$$\begin{aligned} \theta_1(x, t) = \gamma \left\{ h \left[2 \sqrt{\frac{t}{\pi}} \exp \left[-\frac{(2l-x)^2}{4a_1 t} \right] - \frac{2l-x}{V a_1} \operatorname{erfc} \left(\frac{2l-x}{2 V a_1 t} \right) \right] + \right. \\ \left. + 2 \sqrt{\frac{t}{\pi}} \exp \left[-\frac{x^2}{4a_1 t} \right] - \frac{x}{V a_1} \operatorname{erfc} \frac{x}{2 V a_1 t} \right\} \quad (9) \end{aligned}$$

при $0 < x \leq l$

$$\begin{aligned} \theta_2(x, t) = \frac{2\gamma}{1+\delta} \left\{ 2 \sqrt{\frac{t}{\pi}} \exp \left[-\frac{\left[x-l+l \sqrt{\frac{a_2}{a_1}} \right]^2}{4a_2 t} \right] - \right. \\ \left. - \frac{x-l+l \sqrt{\frac{a_2}{a_1}}}{V a_2} \operatorname{erfc} \left(\frac{x-l+l \sqrt{\frac{a_2}{a_1}}}{2 V a_2 t} \right) \right\} \quad (10) \end{aligned}$$

при $l \leq x < \infty$

При больших временах нагрева ($t \rightarrow \infty$)

$$\exp \left[-\frac{k}{t} \right] \rightarrow 1 \quad \operatorname{erfc} \left(\frac{k}{V t} \right) \rightarrow 1$$

(9) перейдет в

$$\begin{aligned} \theta_1(x, t) = \gamma \left[\frac{4}{1+\delta} \sqrt{\frac{t}{\pi}} - h \frac{2l-x}{V a_1} - \frac{x}{V a_1} \right] \\ \theta_2(x, t) = \frac{2\gamma}{1+\delta} \left[2 \sqrt{\frac{t}{\pi}} - \frac{x-l+l \sqrt{\frac{a_2}{a_1}}}{V a_2} \right] \quad (10) \end{aligned}$$

Из (10) видно, что при больших временах нагрева температура будет возрастать пропорционально корню квадратному из времени нагрева и распределяться по толщине пластин согласно линейному закону.

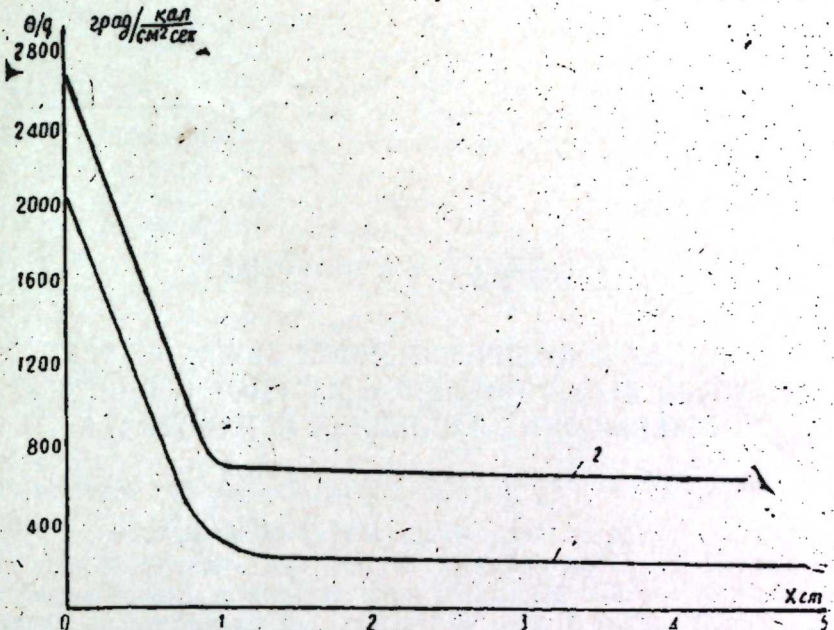
В качестве иллюстрации к решению (7) показан график распределения приведенной температуры θ/q по толщине стальной пластины с полиэтиленовым покрытием (толщина полиэтиленового покрытия составляет 1 см). Термические постоянные полиэтилена [2] (d — плотность, c — теплоемкость вещества):

$$d = 920 \frac{\text{кг}}{\text{м}^3}; \quad c = 0,53 \frac{\text{ккал}}{\text{кг} \cdot \text{град}}; \quad \lambda = 0,25 \frac{\text{ккал}}{\text{м} \cdot \text{ч} \cdot \text{с}^\circ},$$

а термические постоянные стали [3]:

$$d = 7800 \frac{\text{кг}}{\text{м}^3}; \quad c = 0,120 \frac{\text{ккал}}{\text{кг} \cdot \text{град}}; \quad \lambda = 50 \frac{\text{ккал}}{\text{м} \cdot \text{ч} \cdot \text{с}^\circ}$$

Из рисунка видно, что график распределения приведенной температуры θ/q представляет собой совокупность двух прямых, плавно переходящих друг в друга на границе раздела полиэтилен/сталь. В полиэтиленовом покрытии происходит основное падение температуры; в стали, очевидно, из-за ее высокой теплопроводности температура



Распределение температуры по толщине стальной пластины с полиэтиленовым покрытием при разных временах нагрева:
1 — $t=1$ ч; 2 — $t=5$ ч.

в зависимости от толщины изменяется очень незначительно. С увеличением времени нагрева градиент температуры в полиэтиленовом покрытии растет, что видно из увеличения наклона графика температуры к оси абсцисс.

Отсюда следует, что покрытие из полимеров ввиду их малой теплопроводности хорошо предохраняет металлическое тело от нагрева.

ЛИТЕРАТУРА

- Лыков А. В. Теплопроводность нестационарных процессов. Госэнергоиздат, 1948.
- Кей Д., Лэби Т. Таблицы физических и химических постоянных. Физматгиз, 1962.
- Теплофизические свойства веществ. Под ред. Н. Б. Варгафтика. Госэнергоиздат, М.—Л., 1956.

Институт физики

Поступило 19. IX 1967

М. Э. Багыров, В. П. Малин

Мұхтәлиф термик құсусијәтли икилөвіели системдә лөвіләрдің бириңи сабит истилик сели илә гыздырылғанда температуралық пајланмасы

ХУЛАСӘ

Лаплас методу илә мұхтәлиф термик құсусијәтли икилөвіели системдә лөвіләрдің бириңи сабит истилик илә гыздырылғанда температуралық пајланмасы тә'жин болунмушадур.

Узунмұддатылғанда температуралық заманын квадрат көкү илә мұтәнасіб олуб, дүзхәтті гануна лөвіләрдің галынылығы үзрә пајланачагдыр.

ТЕРМОДИНАМИКА

[А. Г. ГАБИБОВ, А. Б. ЦАТУРЯНЦ]

К ВОПРОСУ О КОЛИЧЕСТВЕННОЙ СВЯЗИ МЕЖДУ ВЯЗКОСТЬЮ ДЕГАЗИРОВАННОЙ И ГАЗОНАСЫЩЕННОЙ НЕФТИ ПРИ ВЫСОКИХ ДАВЛЕНИЯХ И ТЕМПЕРАТУРАХ

(Представлено академиком АН Азербайджанской ССР Р. Г. Исмайловым)

Систематизированные исследования термодинамических свойств газо-жидкостных углеводородных систем, как правило, имеют своей целью получение качественных и количественных зависимостей того или иного свойства от других известных или сравнительно легко получаемых параметров системы. Так, например, имеется целый ряд эмпирических зависимостей характеризующих растворимость газов в нефтях, объемного коэффициента, коэффициентов сжимаемости и термического расширения нефти и др., от давления температуры, количества растворенного газа, удельного веса нефти, газа и т. д.

Для вязкости дегазированных и газонасыщенных нефтей подобных обобщений в литературе почти нет, если не считать отдельных попыток связать вязкость газонасыщенной нефти с количеством растворенного газа [1] или графические обобщения вязкости дегазированных нефтей под давлением в функции начальной вязкости нефти [2].

Известно, что вязкость газонасыщенной нефти определяется двумя факторами: давлением, приводящим к росту вязкости, и растворенным газом, действующим в обратном направлении.

Общим результатом действия указанных факторов является снижение вязкости газонасыщенной нефти с ростом давления насыщения или количеством растворенного газа.

В настоящей работе приводятся результаты экспериментального изучения вязкости дегазированной нефти раздела III—IV Сурхансского месторождения (плотность $\rho_{20} = 0,8558 \text{ г/см}^3$, вязкость $\eta_{20} = 6,58 \text{ спузз}$) и той же нефти в условиях насыщения ее метановым газом при давлениях до 1000 атм и температуре 240°C.

Полученные зависимости вязкости дегазированной нефти в функции давления и температуры и вязкости насыщенной нефти в функции давления насыщения и температуры представлены в табл. 1.

В табл. 2 представлена разность между вязкостью дегазированной и газонасыщенной нефтей, отвечающих одинаковым условиям давления и температуры. На рисунке представлено графическое сопоставление вязкостей дегазированной и газонасыщенной нефтей для 50°C;

отрезок AC —вязкость дегазированной нефти ($\eta_{д.н.}$), BC —газонасыщенной нефти; ($\eta_{г.н.}$) и AB —разность вязкостей дегазированной и газонасыщенной нефти ($\Delta\eta = \eta_{д.н.} - \eta_{г.н.}$).

Разность $\Delta\eta = \eta_{д.н.} - \eta_{г.н.}$ на рисунке представлена в функции давления насыщения.

Как видно, зависимость $\Delta\eta = f(P_{нас.})$ представляет собой прямую линию. Прямолинейная зависимость между $\Delta\eta$ и P получается для всех полученных нами изотерм в пределах температур от 30 до 240°C. Это означает, что для всей области давлений (до 1000 атм и 240°C) удельное изменение $\Delta\eta$ от давления насыщения ($P_{нас.}$) одно и то же. Из рисунка понятно, что, располагая сравнительно легко доступной зависимостью вязкости дегазированной нефти от давления, а также зависимостью $\Delta\eta = f(P_{нас.})$, можно построить всю зависимость вязкости газонасыщенной нефти от давления насыщения, экспериментальное получение которой, в особенности для высоких давлений, представляет огромные трудности. Иными словами, для определения вязкости газонасыщенной нефти по выражению (1)

$$\eta_{г.н.} = \eta_{д.н.} - \Delta\eta \quad (1)$$

необходимо для конкретных условий давления и температуры располагать значениями вязкости дегазированной нефти ($\eta_{д.н.}$) и величиной $\Delta\eta$.

Прямолинейный характер зависимости $\Delta\eta = f(P_{нас.})$ облегчает решение задачи, так как позволяет по двум-трём точкам, отвечающим вязкости газонасыщенной нефти при сравнительно умеренных давлениях (200–300 атм), построить необходимую нам зависимость $\Delta\eta = f(P_{нас.})$ для всей области давлений вплоть до 1000 атм.

Для исследованной нефти по данным табл. 2 получена зависимость $\Delta\eta = f(P_{нас.})$. Эта зависимость имеет вид:

$$\Delta\eta = a + bP_{нас.}, \quad (2)$$

где a и b —функции температуры.

Для интервала температур 100–150°C

$$\Delta\eta = \frac{71,7}{t^{1,171}} + \frac{0,321}{t^{0,974}} P_{нас.}. \quad (3)$$

Для интервала 150–240°C

$$\Delta\eta = \frac{0,511}{t^{0,1938}} + \frac{0,003265}{t^{0,0568}} P_{нас.}. \quad (4)$$

Полученные выражения с хорошей точностью передают разность ($\Delta\eta$) между вязкостью исследованной дегазированной нефти и той же

п. 58734

Таблица 1

Давление, атм	Вязкость (секунды) при температурах					
	30°C	50°C	75°C	100°C	150°C	240°C
1	2	3	4	5	6	7
Дегазированная						
0	5,30	3,40	2,00	1,35	0,90	0,85
100	6,35	4,0	2,40	1,58	1,08	1,02
200	7,35	4,65	2,76	1,84	1,28	1,18
300	8,35	5,35	3,15	2,10	1,42	1,34
400	9,40	5,926	3,58	2,35	1,60	1,51
500	10,30	6,58	3,95	2,60	1,72	1,67
600	11,55	7,469	4,40	2,88	1,98	1,86
700	12,82	8,21	4,94	3,20	2,20	2,08
800	14,45	9,16	5,50	3,60	2,46	2,32
900	16,05	10,40	6,05	4,04	2,69	2,59
1000	17,70	11,52	6,90	4,48	3,10	2,90
Газонасыщенная						
50	4,309	2,742	1,648	1,069	0,734	0,684
100	3,762	2,394	1,439	0,933	0,641	0,606
200	3,115	1,982	1,192	0,773	0,531	0,502
300	2,690	1,712	1,029	0,667	0,459	0,433
400	2,408	1,532	0,921	0,597	0,410	0,388
500	2,197	1,398	0,840	0,545	0,420	0,354
600	2,091	1,331	0,799	0,519	0,356	0,337
700	2,038	1,297	0,780	0,506	0,347	0,328
800	2,046	1,302	0,783	0,508	0,349	0,329
900	2,059	1,310	0,788	0,511	0,351	0,332
1000	2,094	1,332	0,801	0,519	0,167	0,337

нефтью в условиях насыщения ее метановым газом для области 100–240°C.

Выполнив аналогичные исследования с большим числом нефтей в дегазированном и в газонасыщенном состояниях, можно, по-видимому, получить выражения, аналогичные выражениям (3), (4), но с учетом характеристики нефти, например, начальной вязкости дегазированной нефти. Тогда, для построения зависимости вязкости газонасыщенной нефти достаточно будет знать зависимость вязкости этой нефти без газа в

Таблица 2

Давление насыщения, атм	$\Sigma\eta = \eta_{д. н.} - \eta_{г. н.}$ — (сантимаузы) при температурах									
	100°C		125°C		150°C		200°C		240°C	
Экспер.	Вычисл.	Экспер.	Вычисл.	Экспер.	Вычисл.	Экспер.	Вычисл.	Экспер.	Вычисл.	
100	0,64	0,6875	0,50	0,5422	0,44	0,4465	0,42	0,4246	0,42	0,41190
200	1,05	1,0500	0,81	0,8332	0,72	0,6902	0,69	0,6662	0,68	0,6472
300	1,41	1,4125	1,08	1,1242	0,97	0,9339	0,93	0,9078	0,91	0,8825
400	1,74	1,7750	1,34	1,4152	1,19	1,1776	1,14	1,1494	1,13	1,1178
500	2,04	2,1375	1,57	1,7062	1,35	1,4878	1,34	1,3910	1,32	1,3531
600	2,36	2,5000	1,83	1,9972	1,62	1,6650	1,54	1,6326	1,53	1,5884
700	2,71	2,8625	2,09	2,2882	1,86	1,9087	1,77	1,8742	1,76	1,8237
800	3,07	3,225	2,37	2,5792	2,12	2,1524	2,02	2,1158	2,00	2,059
900	3,49	3,5875	2,69	2,8702	2,39	2,3961	2,29	2,3574	2,26	2,2943
1000	3,96	3,9500	3,06	3,1612	2,73	2,6398	2,60	2,5990	2,57	2,5296

функции только давления и температуры, что по сравнению с определением вязкости газонасыщенной нефти особого труда не представляет, даже при высоких давлениях. При отсутствии такой универсальной зависимости для определения $\Delta\eta$ построение зависимости вязкости газонасыщенной нефти потребует, как указано выше, кроме зависимости $\eta_{д. н.} = f(P)$ еще двух-трех точек по вязкости газонасыщенной нефти от давления, необходимых для определения $\Delta\eta$ при данной температуре.

ЛИТЕРАТУРА

- Цатуриц В. Б., Мурадов А. А. Изв. АН Азерб. ССР. 1959, № 1.
- Габибов А. Б., Цатуриц А. Б. Вязкость дегазированных нефтей при высоких давлениях и температурах. Изв. АН Азерб. ССР, 1968, № 2.

Институт проблем глубинных нефтегазовых месторождений

Поступило 9. III 1968

ХИМИЯ

Л. Ш. ЗУЛЬФУГАРОВА, Э. М. ДЖАФАРОВА, И. И. ПИСЬМАН,
З. Г. ЗУЛЬФУГАРОВ

ИССЛЕДОВАНИЕ СВЯЗИ АКТИВНОСТИ С ХИМИЧЕСКИМ
СОСТАВОМ И КИСЛОТНОСТЬЮ МАГНИЙСИЛИКАТНЫХ И
АЛЮМОМАГНИЙСИЛИКАТНЫХ НОСИТЕЛЕЙ И ХРОМОКИСНЫХ
КАТАЛИЗАТОРОВ НА ИХ ОСНОВЕ

(Представлено академиком АН Азербайджанской ССР М. А. Далинам)

Алюмосиликатные и магниийсилкатные катализаторы крекинга, являющиеся эффективными носителями хромокисных катализаторов полимеризации, в зависимости от их химического состава и метода приготовления имеют различную силу и число кислотных центров на поверхности. Показано, что магниийсилкаты, содержащие больше 5% MgO , являются кислотами средней силы, а алюмосиликаты, содержащие выше 0,1% Al_2O_3 , являются сильными кислотами и имеют большое число кислотных центров на поверхности [1]. Ряд исследователей также считают, что активность алюмосиликатных катализаторов и в большинстве случаев их селективность связаны прежде всего не с природой кислот, а с силой кислотных центров поверхности [2].

В предыдущих работах нами показана эффективность магниийсилкатных и алюмомагниийсилкатных катализаторов крекинга, синтезированных методом частичного замещения катиона магния исходного магниийсилкатного гидрогеля на катион алюминия активатора в качестве носителя хромокисных катализаторов полимеризации α -олефинов [3, 4, 5, 6].

В настоящем сообщении нами приводятся некоторые результаты исследования связи между химическим составом, условиями формирования, кислотностью и активностью магниийсилкатных и алюмомагниийсилкатных носителей и синтезированных на их базе хромокисных катализаторов в реакциях крекинга средних фракций нефти и полимеризации этилена.

ЭКСПЕРИМЕНТАЛЬНАЯ ЧАСТЬ И ОБСУЖДЕНИЕ РЕЗУЛЬТАТОВ

Магниийсилкатные катализаторы-носители синтезировались методом совместного осаждения из соответствующих растворов сульфата магния и силиката натрия; алюмомагниийсилкатные катализаторы-носители синтезировались методом частичного замещения катиона маг-

ния в составе магниийсилкатного гидрогеля на катион алюминия сульфата алюминия.

Хромокисные катализаторы готовились методом пропитки гидрогеля алюмомагниийсилкатных и магниийсилкатных катализаторов-носителей водным раствором хромового ангидрида, из расчета содержания хрома 3,3% на сухой вес носителя.

Определение силы и числа кислотных центров поверхности катализаторов-носителей проводилось при помощи набора индикаторов Гамметта [7] и бутидамина.

Активность магниийсилкатных и алюмомагниийсилкатных катализаторов-носителей в реакции крекинга газойлевой фракций нефти определялось при температуре 450–455 °C и скорости питания сырьем 1:1 к весу катализатора в 1 ч.

Активность катализаторов расчитывалась по выходу фракции, выкипающей до 200°C в вес.% на сырье.

Активность хромокисных катализаторов изучалась в реакции полимеризации этилена в полиэтилен в обычном лабораторном автоклаве при средних давлениях (35 atm) и температуре 120–125°C.

Мерой активности хромокисных катализаторов служил выход полиэтилена в граммах на 1 г катализатора в 1 ч.

Результаты определения физико-химических свойств исследованных катализаторов и носителей показаны в табл. 1 и 2. Из таблиц видно, что магниийсилкатный катализатор, содержащий 3,5% окси магния имеет кислотные центры средней силы, способные ионизировать индикатор с $R_k = -3$. Такой же результат получен в работе [1] для магниийсилкатных катализаторов, содержащих больше 5% MgO . Однако и на поверхности магниийсилкатного катализатора имеется определенное число более слабых кислотных мест, которые способны ионизировать индикатор с $R_k = +3,85$.

Обработка гидрогеля магниийсилкатного катализатора (образец 194) фтористым аммонием способствует зарождению на поверхности более сильных кислотных центров, способных ионизировать индикаторы с $R_k = -5,6$, а также вызывает увеличение числа мест более слабых центров ($R_k = +3,85$). В то время, как введение в состав магниийсилкатных гидрогелей, в независимости от того, подвергнуты они синерезису или нет, окиси алюминия, методом частичного замещения, приводит к образованию алюмомагниийсилкатных катализаторов с наибольшей кислотной силой ($R_k = -8,2$) как за счет зарождения новых сильных кислотных участков, так и за счет увеличения концентрации (числа) мест со средней силой кислотности. Из табличных данных также видно, что введение в состав магниийсилкатных гидрогелей окиси алюминия вызывает уничтожение активных участков со слабой кислотной силой ($R_k = +3,85$). По-видимому, алюминий активатора скорей всего замещает вначале катионы в составе силикатных соединений, имеющих слабо кислые или щелочные свойства, вследствие чего зарождаются активные места с сильными кислотными свойствами.

В отличие от магниийсилкатов, наличие на поверхности алюмомагниийсилкатных соединений большого числа кислотных участков с различной силой объясняется химическим составом их решетки. Из табличных данных видно, что алюмомагниийсилкатные катализаторы, имеющие одинаковую кислотную силу и синтезированные на их основе хромокисные катализаторы, отличающиеся друг от друга условиями термообработки, обладают различной активностью. Так, алюмомагниийсилкатные катализаторы, имеющие сильные кислотные центры и тонкопористую структуру (на основании данных по определению насыпных весов и условий синерезиса), обладают высокой крекирую-

Таблица 1

Условия формирования гидрогелей и химический состав магнийсиликатных и алюмомагнийсиликатных катализаторов-носителей

№ образцов-носителей	Катализаторы-носители	Состав исходн. гидрогелей, вес. %		Условия формирования гидрогелей		Химический состав катализаторов-носителей, вес. %			
		SiO ₂	MgO	Условия термообработки	Напыление активаторов	SiO ₂	MgO	Al ₂ O ₃	Σ окислов
192н	Магнисиликат	95,0	5,0	Без синерезиса	MgSO ₄ ·7H ₂ O	92,0	3,50	—	95,5
194н	Магнисиликат	95,0	5,0	Син. при 70°C	MgSO ₄ ·7H ₂ O	92,0	3,3	—	95,5
199н	Алюмомагнисиликат	95,0	5,0	Без синерезиса	Al ₂ (SO ₄) ₃ ·18H ₂ O	91,4	2,13	2,04	95,57
200н	Алюмомагнисиликат	95,0	5,0	Син. при 70°C		89,6	2,0	5,0	96,6
201н	Алюмомагнисиликат	95,0	5,0	Без синерезиса		88,4	4,0	3,13	95,53
203н	Алюмомагнисиликат	95,0	5,0	Син. с уч. NH ₄ OH при 70°C		89,0	5,5	3,0	97,5
204н	Алюмомагнисиликат	95,0	5,0	Син. при 70°C		88,4	4,0	3,13	95,53
205н	Алюмомагнисиликат	90,0	10,0	Без синерезиса		89,0	3,0	2,4	94,3
206н	Алюмомагнисиликат	90,0	10,0	Син. при 70°C		88,5	3,2	2,5	94,2
209н	Алюмомагнисиликат	90,0	10,0	Син. с уч. NH ₄ OH при 70°C		—	—	—	—

Таблица 2

Кислотность магнийсиликатных и алюмомагнийсиликатных носителей и их активность в реакции крекинга, содержание окислов хрома в составе хромокислиновых катализаторов после активации кислородом воздуха и их активность в реакции полимеризации этилена

№ образцов-катализаторов-носителей	Показатели магнийсиликатных и алюмомагнийсиликатных катализаторов (носителей) крекинга	Показатели хромокислиновых катализаторов полимеризации			
		Максим. насыпн. вес. 2/cм ³	Число активных мест, №/см ²	Активность по выходу бензина, % вес.	Соотношение окислов, %
192н	0,488	-3,0	—	20,0	45,0
194н	0,44	-5,6	0,01	0,02	—
199н	0,69	-8,2	0,10	0,04	—
200н	0,70	-8,2	0,08	0,02	—
201н	0,66	-8,2	0,08	0,02	—
203н	0,112	-8,2	0,08	0,08	—
204н	0,40	—	—	—	—
206н	0,40	-8,2	0,08	0,04	0,476
205н	0,74	-8,2	0,08	0,04	—
209н	0,46	-3,0	—	—	—

№ образцов-катализаторов-носителей	Максим. насыпн. вес. 2/cм ³	Показатели хромокислиновых катализаторов полимеризации			
		Соотношение окислов, %	Следы Cr ⁶⁺	Следы Cr ³⁺	Выход полимера, %
192н	0,488	—	—	—	92,0
194н	0,44	—	—	—	183,0
199н	0,69	—	—	—	—
200н	0,70	—	—	—	254,0
201н	0,66	—	—	—	—
203н	0,112	—	—	—	—
204н	0,40	—	—	—	—
206н	0,40	—	—	—	232,0
205н	0,74	—	—	—	—
209н	0,46	—	—	—	225,0

щей активностью, в то время как высокой активностью в реакции полимеризации обладают хромокисные катализаторы, на широкопористых носителях, имеющих на поверхности также сильные кислотные центры.

Таким образом, можно заключить, что проявление катализитической активности в обеих реакциях на указанных катализаторах, по-видимому, связано с силой их поверхностной кислотности (см. обр. 4 г, 199, 209 Н и 209 А), а эффективность реакции определяется как параметром пористой структуры самих катализаторов, так и мол. весом и строением реагирующих веществ и продуктов реакции.

По нашему мнению, проявление активности хромокисных катализаторов полимеризации, синтезированных на носителях, имеющих большую кислотную силу, возможно тождественно ингибирующей способности ионов хромата в коррозии.

Как известно, антикоррозионный эффект хромата, адсорбированного на поверхности металла, объясняется [2] оттягиванием и переходом некоторых из электронов атома хрома к кислороду, благодаря чему центральный атом тетраэдра становится сильно заряженным положительным зарядом, способным притягивать свободные электроны металлов. Подобным образом активность высоковалентного хрома на поверхности хромокисных катализаторов в реакции полимеризации можно объяснить природой активных соединений поверхности, обеспечивающих способность сохранять высокую положительную заряженность атома хрома, способного притягивать электроны доноров-углеводородов.

Выводы

1. Исследована взаимосвязь между химическим составом, кислотностью, условиями термообработки и активностью металлосиликатных носителей в реакции крекинга средней фракции нефти и хромокисных катализаторов на их основе в реакции полимеризации этилена.

2. Установлено, что магнийсиликатные катализаторы (носители) крекинга имеют общую кислотность $H_0 = -3$:

а) обработка гидрогелей магнийсиликатных катализаторов (носителей) фтористым аммонием приводит к увеличению силы кислотности до $-5,6$;

б) введение в состав гидрогелей магнийсиликатных катализаторов (носителей) методом частичного замещения магния основного силикатного соединения на катион алюминия активатора приводит к формированию нового алюмомагнийсиликатного катализатора с максимальной силой кислотности ($-8,2$); при этом возрастает число более слабых кислотных центров.

Это дало основание предположить, что алюминий активатора прежде всего должен замещать катионы магния магнийсиликатных гидрогелей.

3. Термообработка не влияет на силу и тип кислотности алюмомагнийсиликатных катализаторов, а условия синерезиса оказывают существенное влияние на число и силу активных мест.

4. Алюмомагнийсиликатные катализаторы максимальной кислотной силы, имеющие тонкопористую структуру, обладают высокой активностью в реакции крекинга, в то время как в этой реакции тот же алюмомагнийсиликатный катализатор с широкой пористой структурой проявляет гораздо меньшую активность.

Тонкопористые и широкопористые алюмомагнийсиликатные носители, обладающие сильной поверхностью кислотностью, при нанесении

на них окислов хрома, дают различные по активности катализаторы полимеризации этилена. Широкопористые носители дают более активные контакты.

Меньшая крекирующая и полимеризующая активность магнийсиликатных носителей и хромокисных катализаторов на их основе по сравнению с алюмомагнийсиликатными носителями и синтезированными на их основе хромокисными катализаторами, помимо различия в их химическом составе, объясняются также наличием кислотных центров меньшей силы.

ЛИТЕРАТУРА

- Дзисько В. А., Борисова М. С., Акимова Н. В. Кинетика и катализ, т. 5, вып. 4, 1964, стр. 689–695. 2. Бартомеф Д., Трамбуз И., Претт М. Кинетика и катализ, т. VIII, вып. 1, 1967, стр. 115. 3. Зульфугаров З. Г. Влияние условий синтеза крекирующих катализаторов на их физико-химические свойства. Изд. АН Азерб. ССР, "Баку", 1957. 4. Зульфугаров З. Г., Зульфугарова Л. Ш., Мурадова С. А., Алимарданов Г., Ширинова Э. Б., Джагарова Э. М., Зейналова Ф. А. Сб. "Научные основы подбора и производства катализаторов". Изд. Сибирского Отделения АН СССР, Новосибирск, 1964, 288. 5. Зульфугарова Л. Ш., Ширинова Э. Б., Мурадова С. А., Агадамский Т. А., Зульфугаров З. Г. и др. "Азерб. хим. журн.", № 2, 1960; № 4, 1961; № 5, 1961. 6. Авторское свидетельство № 17, 3714 от 25 мая 1964 г. 7. Дзисько В. А., Борисова М. С. Кинетика и катализ, т. 1, № 10, 1960, стр. 144. 8. Порсо А., Сиборг Т. Г. Новая химия. Изд. АН СССР, 1959, 132.

Институт неорганической и физической химии

Поступило 29. XI 1967

Л. Ш. Зульфугарова, Е. М. Чәфәрова, И. И. Писман, З. Һ. Зульфугаров

Магнезиумсиликат вә алүмомагнезиумсиликат дашијычыларынын вә онларын әсасында назырланмыш хромоксид катализаторларынын активлигинин кимјәви тәркиб вә туршуулуглары арасында работә

ХУЛАСӘ

Мәгаләдә магнезиумсиликат вә алүмомагнезиумсиликат дашијычыларынын нефтдән алынан орта фраксијанын крекинги вә бу дашијычылар әсасында назырланмыш хромоксид катализаторларынын этиленин полимерләшмә реакцијасында онларын кимјәви тәркиби, формалашма шәраити, туршуулуглары вә активликләри арасында олан гарышылыгы әлагә изәэрдән кечирилләр. Тәдгигат нәтижәсендә көстәрилмешdir ки, сәтіләрі орта гүввәтли туршуулуга $H_0 = -3$ малик олан магнезиумсиликат катализаторларынын һидроһелини аммониум флуор мәһилүү илә, ишләдикдә онларын сәтіләріндә $H_0 = -5,0$ олан жени туршу мәркәзләри әмәлә көлир. Магнезиумсиликат һидроһелини магнезиум катионунун бир һиссәсини алюминиум катиону илә әвәз етдикдә алыныш жени алүмомагнезиумсиликат катализаторунун туршуулугу гүввәтли туршу хассәсінә $H_0 = -8,2$ малик олур вә онун сәтіннәдә мұхтәлиф гүввәләр малик олан бир чох жени мәркәзләр төрәнир. Бу нал магнезиум һидроһелиндә магнезиум катионларынын гисмән активаторун алюминиум катиону илә әвәз олунмасы нәтижәсендә төрәнир. Тәдгигатымыз көстәрил ки, өңрәнијимиз катализаторларын сәтіннәдә әмәлә көлән туршу мәркәзләринин сағы вә туршуулуг, гүввәси һидроһелини синерезис мә'ruz олуб-олмамасындан асылы олмајыб, һидроһелини синерезис вә ишләнмә шәраитинин кимјәви тәбиэтиндән асылыдыр.

Мәгаләдә; һәмчинин, сәтһләри орта вә гүввәти туршу мәркәзләринә малик олан инчә мәсамәли магнезиумсиликат вә алумомагнезиумсиликат катализаторларының йүксәк крекинг активлигинә, онларын әсасында назырланыш хромоксид катализаторлары исә зәиф полимерләшdirмә хассәсинә малик олдуглары гејд едилир. Эксинә, кениш мәсамәли орта вә гүввәти туршулуға малик магнезиум вә алумомагнезиумсиликат катализаторлары зәиф крекинг активлигинә малик олдуглары һалда, онларын әсасында назырланыш хромоксид катализаторлар йүксәк полимерләшdirмә активлигинә маликдир. Алумомагнезиумсиликат катализаторларын вә онларын әсасында назырланыш хромоксид катализаторларының йүксәк активлигинә сәбәб онларын дашишылырының йүксәк туршулуға вә мұхтәлиф туршу мәркәзләринә сәніб олмасыды.

А. М. КУЛИЕВ, Р. А. БАБАХАНОВ, С. А. МОВЛА-ЗАДЕ, С. Г. ГАСАНОВА

СИНТЕЗ МЕРКАПТОПРОИЗВОДНЫХ ЦИАНОНОРБОРНЕНА

В последние годы как у нас в Союзе, так и за рубежом проявляется большой интерес к сероорганическим соединениям. Последние широко применяются в медицине, сельском хозяйстве, полимерной химии при производстве присадок к топливам, маслам и в других областях народного хозяйства.

Среди большого разнообразия сероорганических соединений особое место занимают тиофенолы и их производные, синтез и исследование которых в последние годы становится предметом большой практической значимости.

Судя по литературному обзору, синтез арилмеркаптопроизводных бициклических углеводородов весьма мало изучен. Имеющиеся работы в этой области посвящены тиофенолу и тиокрезолу. Причем в качестве бициклического углеводорода были использованы — норборнилен [1], экзо-цик 3,6-эндометилен—тетрагидрофталевый ангидрид и его диметиловый эфир [2], 5—6-диметиленорборн-2- [3].

В опубликованной ранее работе [4], одним из нас были приведены материалы по взаимодействию цианонорборнена с ароматическими углеводородами в присутствии хлористого алюминия с получением соответствующих арилзамещенных цианонорборнена.

В настоящей работе нами указанная реакция была исследована на примере цианонорборнена, тиофенола и некоторых его алкилпроизводных. Данная реакция изучается впервые.

Необходимо отметить, что конечные продукты реакции — арилмеркаптозамещенные цианонорборнена, имеющие в своем составе атом серы и актиновую нитрильную группу, могут быть использованы в качестве присадок к смазочным маслам, а также явиться исходным сырьем для синтеза многочисленных органических соединений (кислот, эфиров и т. д.), которые могут представить значительный интерес в промышленности органического синтеза.

С другой стороны, доступность исходных компонентов и простота получения цианонорборнена открывает широкие возможности для вовлечения этого продукта в орбиту органического синтеза. Так, цианонорборнен получают с количественным выходом классической реакцией Дильса—Альдера взаимодействием циклопентадиена с нитрилом акриловой кислоты [5].

Второй компонент реакции, т. е. тиофенол и алкилтиофенол были синтезированы известным в литературе методом — восстановлением бензосульфохлоридов цинком (гранулированным) в кислой среде [6].

Все исходные реагенты имеют физико-химические показатели, хорошо сходимые с литературными данными (смотри данные табл. 1).

Таблица 1

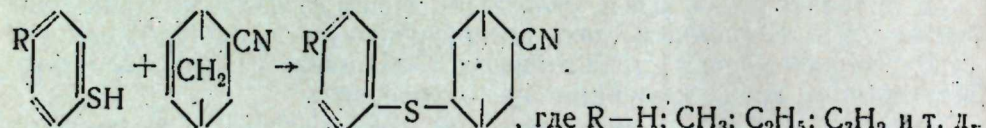
Физико-химические константы исходных реагентов

№	Исходные продукты	Т-ра кипения		Показатель пре ломления		Удельный вес	
		найд.	лит.	найд.	лит.	найд.	лит.
1	Аддукт	83—83,5/12	83/12 м.м.	1,4884	1,4885	1,0064	1,0065
2	Тиофенол	168—169/760	168,7/760 м.м.	1,5893	1,5893	1,0765	1,0766
3	Тиокрезол	195,3/760	195,1/760 м.м.	1,5719	1,5720	1,0430	1,044
4	Этилтиофенол	210/760	211/760	1,5721	1,5720	1,0390	1,038
5	Изопропилтиофенол	104—106/14	104—105/14	1,5543	1,5542	1,0090	1,0090
6	Третбутилтиофенол	107—110(10)	107—110(10)	1,5506	1,5505	1,9881	0,9882

Известно, что тиофенолы как в присутствии, так и в отсутствие катализатора легко вступают в реакцию конденсации с непредельными углеводородами по двойной связи, образуя S-замещенные тиофенолы, благодаря чрезмерной активности водорода-SH группы. Описываемые ниже опыты по взаимодействию цианонорборнена с тиофенолом и его некоторыми алкилпроизводными были проверены как в присутствии серной кислоты, так и в отсутствие катализатора.

В обоих случаях конечные арилмеркаптозамещенные цианонорборнена были получены с выходами, близкими к теоретическому. Поэтому в данном сообщении рассматриваются результаты опытов по взаимодействию цианонорборнена с тиофенолом и алкилпроизводными в отсутствии катализатора.

Схема реакции такова:



Опыты проводили по следующей методике.

В стеклянный реактор емкостью 100 мл, снабженный обратным холодильником, капельной воронкой и механической мешалкой загружали тиофенол и по каплям подавали аддукт — цианонорборнен при определенном соотношении и температуре. После окончания подачи аддукта продолжали перемешивание еще 2 ч, поддерживая температуру подачи аддукта. Затем смесь оставляли на ночь при комнатной температуре, после чего перегоняли под вакуумом.

Для установления оптимальных условий реакции были проведены опыты с целью выявления влияния времени контактирования, температуры реакции, а также мольного соотношения исходных веществ на выход конечных продуктов.

Результаты этих опытов приведены в табл. 2.

Увеличение времени реакции с 2 до 4 ч не влияет на выход арилмеркаптозамещенных.

Для изучения влияния температурного режима на выход целевого продукта проведена серия опытов при различных температурах: 70, 80, 90, 100 (табл. 2).

Далее проводились опыты с учетом мольных соотношений реагирующих компонентов — аддукт : тиол — 1 : 1; 1 : 2; 1 : 3; 1 : 4.

Таблица 2

Синтез на базе тиофенола

Условия синтеза	Опыты									
	1	2	3	4	5	6	7	8	9	10
1. Продолж. реакции, ч	2	2	2	2	2	2	2	2,5	3	4
2. Температура T, °C реакции	70	70	70	70	80	90	100	70	70	70
3. Мольные соотношения исх. реагентов (аддукт : тиофенол)	1:1	1:2	1:3	1:4	1:2	1:2	1:2	1:2	1:2	1:2
4. Выход на аддукт целевого продукта	69,5	90	80	90	89,5	80,2	79,9	90	90,1	90

Результаты этих опытов иллюстрируются также данными табл. 2.

Как видно из табличного материала, наилучший выход арилмеркаптозамещенных цианонорборнена получается при температуре 70° и соотношении аддукт — тиол — 1 : 2.

Таблица 3

Синтез на базе алкилтиофенолов

Цианонорборненитиолы	Элементарный анализ (найдено, вычислено)				d_4^{20}	n_D^{20}	MR_D^D n/l	Выход, % на аддукт
	C	H	S	N				
1. Цианонорборненитиол	73,65 73,33	7,31 6,55	13,33 12,9	5,72 6,11	1,1360	1,5859	67,108 67,63	90
2. Цианонорборнениметилтиоф.	74,6 74,07	7,602 6,99	13,3 13,16	5,3 5,76	1,1127	1,5800	71,726 71,147	60,2
3. Цианонорборнениэтилтиоф.	74,56 74,7	7,95 7,39	12,17 12,45	5,15 5,447	1,09561	1,5752	76,344 77,53	68
4. Цианонорборнениизопропилтиоф.	75,09 75,28	8,37 7,74	11,73 11,81	4,81 5,17	1,0781	1,5676	82,062 81,917	61,2
5. Цианонорборнентретбутилтиоф.	76,34 75,79	8,52 8,07	10,84 11,22	5,08 5,20	1,0676	1,5640	85,18 86,74	84,0

Необходимо отметить, что все опыты, проведенные с целью нахождения оптимальных условий синтеза, проводили на базе тиофенола.

В дальнейшем при указанных условиях проводили синтез на базе алкилтиофенолов. Сравнивая экспериментальные данные в идентичных условиях для различных алкилзамещенных тиофенолов отмечено, что во всех случаях наблюдается количественный выход арилмеркаптозамещенных цианонорборнена.

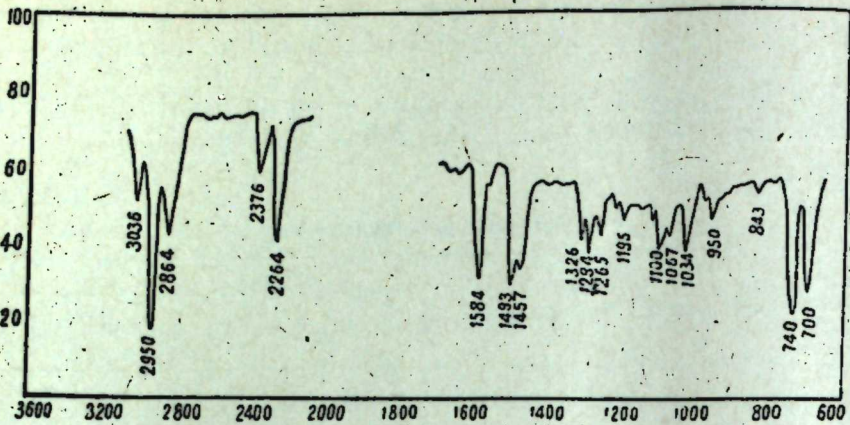


Рис. 1.

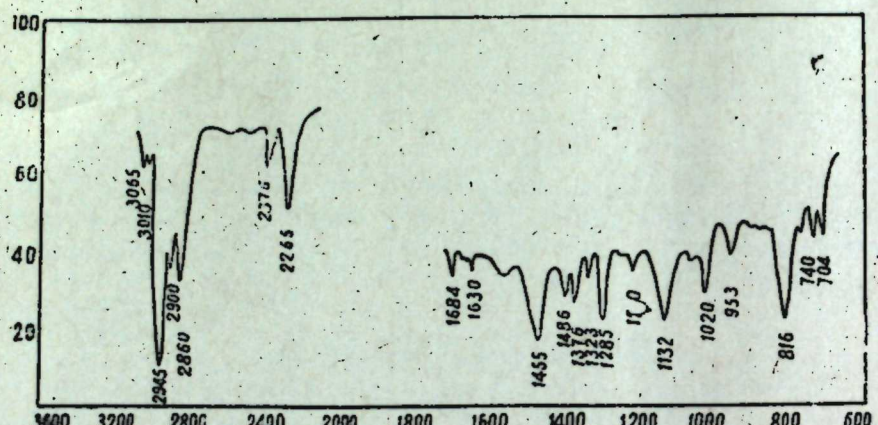


Рис. 2.

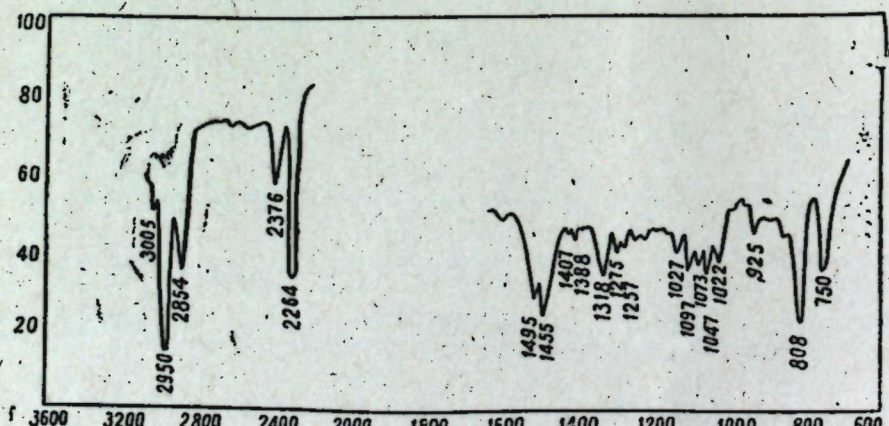


Рис. 3.

Последние имеют светло-желтую окраску с запахом, характерным меркаптанам. Все синтезированные соединения были подвергнуты физико-химическим исследованиям, результаты которых приведены в табл. 3.

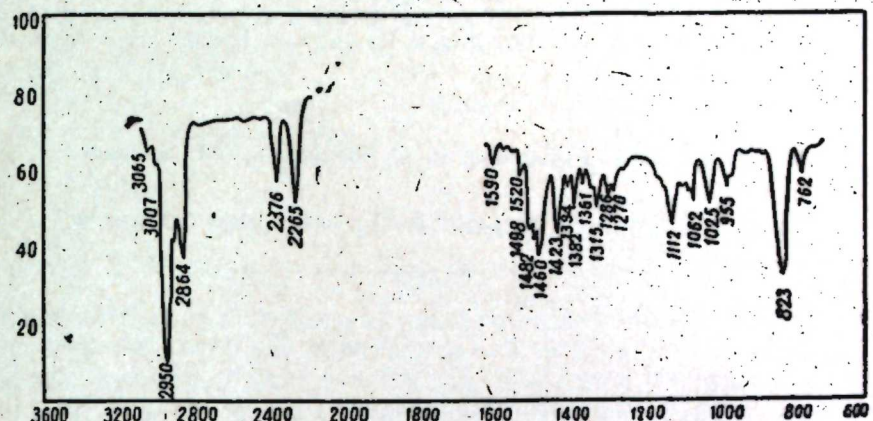


Рис. 4.

При снятии спектров в инфракрасной области (см. рис. 1, 2, 3, 4, 5) наблюдалась поглощения в интервалах колебаний, характерных $=\text{CH}$, $-\text{CH}_2$, $-\text{CH}_3$, $-\text{CN}$ групп ($3060-3005$, $2960-2870$, $2264-2265 \text{ см}^{-1}$), а также полосы поглощения, характерные ароматическому кольцу ($808-828 \text{ см}^{-1}$), что свидетельствует о правильности предполагаемого направления реакции и структуры синтезированных соединений.

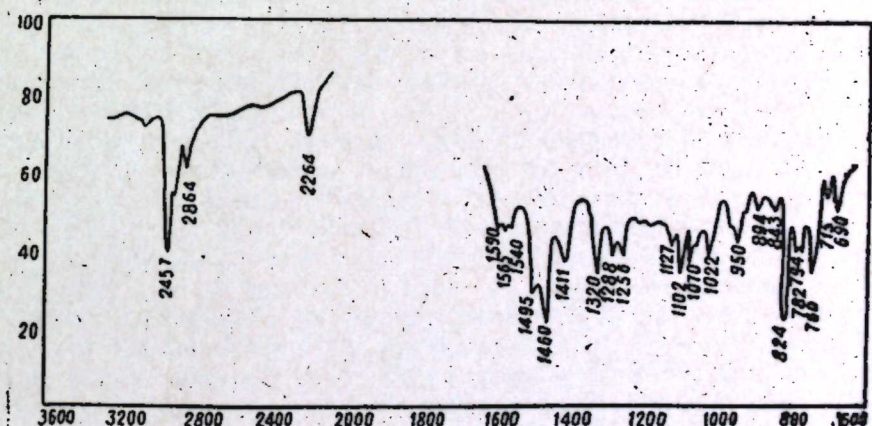


Рис. 5.

Выводы

1. Разработан простой и доступный метод синтеза арилмеркапто-замещенных цианонорборнена.
2. Найдены оптимальные условия реакции, при которых выход соответствующих арилмеркаптопроизводных цианонорборнена приближается к теоретическому.
3. Синтезированы и идентифицированы 5 новых неописанных в литературе соединений.

ЛИТЕРАТУРА

1. Stanley U., Cristol, Gordon D., Brendel J. Amer. Chem. Soc. v. 76, №21, 5699, 1954. 2. Berson A., William M., Jones J. Amer. Chem. Soc. v. 78, № 23, 645, 1956. 3. Claisse V. A., Davies D. Y. J. Amer. Chem. Soc. № 11, 1966, 4, Мехтиев С. Д., Бабаханов Р. А., Гайдарова Э. Э., Мусаев М. Р. Авторское свидетельство № 187 748 от 15 августа 1966 г. 5. Bruson H. A. J. of the Amer. Chem. Soc. v. 64, № 9—10, 2457, 1942. 6. Кулиев А. Б. Канд. дисс. Баку, 1965.

Ин-т химии приеадок

Поступило 25. II 1967

А. М. Гулиев, Р. А. Бабаханов, С. А. Мовлазадә, С. һ. һәсәнова

Сианонорборнаның меркапто тәрәмәләринин синтези

ХУЛАСӘ

Мәгаләдә битсиклик бирләшмә олан 2-сианобитцило (1, 2,2)-һептен-5-ни тиофенол вә онун бә'зи алкилтәрәмәләр илә бирләшмә реаксијасы верилмишdir.

Тәчрубы олараг меркапто тәрәмәләрин чыхымына температурун, реаксијада иштирак едән компонентләр инсбәтиинин, катализаторун вә с. факторларын тә'сир ифәннилмиш вә оптималь шәраит мүәјјән едилмишdir.

Мә'лум олмушдур ки, сианонорборнан катализаторун иштиракы олмадан јүксәк чыхымла сулфидрин группандакы һидрокени әвәз еди, сианонорборнаның мүвағиг арилмеркапто тәрәмәләрини верир.

Алыныш мәһсулларын тәркиби, гурулушу физики-кимјәви үсулларла тәдгиг едилмиш вә нәтичәдә беш јени маддә синтез олунмушдур. Бу маддәләр вә онларын тәрәмәләри халг тәсәрүфатынын мухтәлиф сәнәләринә мүвәффәгијәтлә тәтбиг едилә биләр.

АЗЭРБАЙЧАН ССР ЕЛМЛӘР АКАДЕМИЈАСЫНЫН МӘРҮЗӘЛӘРИ

ДОКЛАДЫ АКАДЕМИИ НАУК АЗЕРБАЙДЖАНСКОЙ ССР

ТОМ XXIV

№ 2

1968

ФИЗИЧЕСКАЯ ХИМИЯ

М. Н. МАГЕРРАМОВ, Д. А. ГУСЕЙНОВ, Ш. Т. АХМЕДОВ, Э. З. ЗОХРАББЕКОВА
С. М. ФАРХАДОВА

ИССЛЕДОВАНИЕ РЕАКЦИИ АРОМАТИЧЕСКИХ УГЛЕВОДОРОДОВ С ХЛОРИСТЫМ АЛЛИЛОМ В ПРИСУТСТВИИ КИСЛЫХ КАТАЛИЗАТОРОВ

(Представлено академиком АН Азербайджанской ССР М. Ч. Нагиевым)

В последнее время подробно изучена реакция ароматических углеводородов с галоидалканами различной структуры, содержащими в составе атом хлора, брома и йода в присутствии серной кислоты [1, 2]. При этом выявлены оптимальные условия для максимального образования продуктов реакции — галоидалкилароматических соединений. Установлено также, что при этом аллилгалогениды вступают в реакцию по двойной связи, строго соблюдая правило Марковникова.

Особенно заслуживает внимания синтез йодалкилароматических соединений с выходом до 90%, взаимодействием ароматических углеводородов с йодистым аллилом [2].

Ряд исследователей провели реакции бензола с хлористым аллилом в присутствии хлористого алюминия [3, 4, 5]. При этом в основном был получен 1,2-дифенилпропан. В случае проведения этой реакции в присутствии растворителей (нитроалканов) главным образом выделения 1-фенил-2-хлорпропан [6]. В литературе имеются данные также о том, что в реакции бензола с хлористым аллилом в присутствии сублимированного хлорного железа при температуре $-15\text{--}20^\circ$ образуется 1,2-дифенилпропан, промежуточно и 1-фенил-2-хлорпропан.

При длительном кипячении смеси бензола с хлористым аллилом в присутствии хлористого цинка в незначительном количестве был получен 1-фенил-2-хлорпропан и пропенилбензол [7].

В настоящем сообщении излагаются результаты исследования реакции ароматических углеводородов с хлористым аллилом в присутствии хлорного железа и хлористого цинка, отложенного на окиси алюминия.

Опыты показали, что при определенных условиях реакция хлорпропилирования идет в основном в сторону образования 1-арил-2-хлорпропанов с хорошими выходами.

ЭКСПЕРИМЕНТАЛЬНАЯ ЧАСТЬ

Исходные продукты реакции: бензол, толуол, этилбензол, кумол *O*-, *m*-, *n*-ксилолы и хлористый аллил использовались в свежеперегнанном виде и имели физико-химические показатели, близко совпадаю-

щие с литературными. Катализатор $ZnCl_2/Al_2O_3$ был приготовлен по методике [8]. Опыты проводились на обычной установке для алкилирования.

Таблица 1

Хлорпропилирование ароматических углеводородов с хлористым аллилом в присутствии хлорного железа

Мольное отношение ароматический углеводород:хлористый аллил=8:1, продолжительность реакции—1,5 ч

Ароматич- еские углеводоро- ды	Взято, г		Получено, г			Содержание 1- арил-2-хлор- пропана и ос- татка в орг. слое, %		Выход 1-арил-2- хлорпро- пана от теории, %		
	Угле- водо- роды	C_3H_5Cl	$FeCl_3$	Тем- пе- ра- тура, °C	Органич- еский слой	Ката- лизатори- ческий слой	Потери			
Бензол	78	9,6	2,4	30	83,9	4,9	1,2	11,4	6,9	49,7
Толуол	92	9,6	0,96	25	100,0	2,0	0,56	12,5	2,0	59,2
Этилбензол	106	9,6	0,96	70	112,0	3,5	0,56	10,2	4,8	50,2
Кумол	120	9,6	0,96	80	124,0	5,0	1,56	10,1	6,0	51,0
<i>o</i> -ксилол	106	9,6	1,92	30	113,3	4,1	0,12	4,9	2,2	24,1
<i>m</i> -ксилол	106	9,6	0,96	30	115,0	1,5	0,10	11,6	5,0	56,1
<i>n</i> -ксилол	106	9,6	1,44	30	114,1	2,3	0,6	12,38	7,06	59,5

Подробно исследовалось влияние температуры, мольного отношения ароматического углеводорода и хлористого аллила, количества катализатора и времени продолжительности опыта на реакцию. В случае использования в качестве катализатора $ZnCl_2/Al_2O_3$ изучено также содержание хлористого цинка в катализаторе на реакцию.

Таблица 2

Хлорпропилирование ароматических углеводородов с хлористым аллилом в присутствии $ZnCl_2/Al_2O_3$

Температура—30°, соотношение ароматический углеводород:хлористый аллил—10:1, время проведения опыта—4,5 ч

Ароматич- еские угле- водороды	Взято, г		Получено, г			Содержание 1-арил-2-хлорпропана и остатков в орг. слое, %		Выход 1-арил-2-хлорпропана от теории, %	
	Углеводороды	C_3H_5Cl	$ZnCl_2/Al_2O_3$	Органический слой	Катализатори-ческий слой	Потери	1-арил-2-хлорпропан		
Бензол	102	10	22,4	94	38	2,4	13,1	3,2	59,4
Толуол	92	7,65	19,93	89	29	1,58	10,1	7,0	50,4
Этилбензол	106	7,65	22,73	99	37	0,38	10,1	7,0	50,4
Кумол	120	7,65	25,53	115	39	0,18	9,6	8,5	53,4

В табл. 1 и 2 даются результаты характерных опытов по хлорпропилированию ароматических углеводородов в присутствии $FeCl_3$ и $ZnCl_2/Al_2O_3$.

Как видно из табл. 1, при проведении реакции хлорпропилирования в присутствии хлорного железа хлористый аллил наиболее легко реагирует с толуолом. Из изомеров ксилола наиболее активными оказались *n*- и *m*-ксилолы, с *o*-ксилолом реакция идет слабо и выход продукта хлорирования не превышает 24%.

Таблица 3

Физико-химические константы 1-арил-2-хлорпропанов

Формулы и названия	Т. кип. при 1,5 км рт. столба	n_D^{20}	d_4^{20}	MR _D	Cl, %
		выч.	найд.	Найдено	Вычис- лено
$C_6H_5-CH_2-CH-CH_3$ 1-фенил-2-хлорпропан	53—54	1,5188	1,0346	44,81	45,02
$CH_3-C_6H_4-CH_2-CH-CH_3$ 1-толил-2-хлорпропан	66—69	1,5210	1,0223	50,21	49,65
$C_2H_5-C_6H_4-CH_2-CH-CH_3$ 1-(этилфенил)-2-хлорпропан	74—78	1,5180	1,0010	54,08	53,16
$C_3H_7-C_6H_4-CH_2-CH-CH_3$ 1-кумил-2-хлорпропан	81—85	1,5120	0,9760	60,70	59,98
$(CH_3)_2-C_6H_3-CH_2-CHCl-CH_3$ 1-(<i>n</i> -ксилил)-2-хлорпропан	76—77	1,5219	1,0120	54,26	54,76
$(CH_3)_2-C_6H_3-CH_2-CHCl-CH_3$ 1-(<i>m</i> -ксилил)-2-хлорпропан	76—78	1,5234	1,0149	54,26	54,96
$(CH_3)_2-C_6H_3-CH_2-CHCl-CH_3$ 1-(<i>o</i> -ксилил)-2-хлорпропан	78—80	1,5239	1,0152	54,26	54,99

Следует отметить, что в случае хлорпропилирования нафтилина и его гомологов продукты хлорпропилирования нами получены также в незначительном количестве. Очевидно, с увеличением основности ароматического углеводорода, т. е. с увеличением прочности комплекса хлорного железа с углеводородами, его катализитическое действие ослабляется.

Установлено также, что $ZnCl_2/Al_2O_3$ является активным катализатором реакции хлорпропилирования, так как в присутствии этого катализатора выход 1-арил-2-хлорпропанов составляет 50—60% (см. табл. 2).

Следует заметить, что в отличие от хлорного железа и хлористого цинка в присутствии катализатора $ZnCl_2/Al_2O_3$ хлористый аллил легко реагирует и такими ароматическими углеводородами, которые отличаются большой основностью (нафтилин и его гомологи, эфиры фенола и др.).

В табл. 3 даются физико-химические константы синтезированных 1-арил-2-хлорпропанов.

Выводы

- Проведена реакция хлорпропилирования ароматических углеводородов с хлористым аллилом в присутствии FeCl_3 и $\text{ZnCl}_2/\text{Al}_2\text{O}_3$.
- Установлено, что при определенных условиях реакция хлорпропилирования идет в основном в сторону образования 1-арил-2-хлорпропанов с выходами 24–60%.

ЛИТЕРАТУРА

- Громеницкая В. Н., Никишин Г. И., Петров Д. Д. ДАН СССР, 1958, т. 117, № 3, 497.
- Магеррамов М. Н. Дисс. АГУ им. С. М. Кирова, 1963.
- Wisperk R., Zuber R. Liev. Ann. 218, 374, 1883.
- Коновалов М. И., Добровольский С. ЖРФХО, 37, 548, 1905.
- Лосев И. П., Смирнова О. В., Пфейфер Т. А. ЖОХ, т. 21, 668, 1958.
- Пат. США, 2 654 791; С. А. 48, 10068 а, 1954.
- Nenitzesci C., Isacesci G. Ber. 66, 1100, 1933.
- Шуйкин Н. И., Кучарев Д. Б., Поздняк Н. А. ДАН СССР, 1953, 92, 785.

АГУ им. С. М. Кирова

Поступило 10. V 1967

М. Н. Мәһәррәмов, Ч. Э. Һүсейнов, Ш. Т. Эһмәдов, Е. З. Зөһраббәјова

Ароматик карбоидрокенләrin турш катализаторларын иштиракында аллилхлоридлә реаксијасының тәдгиги

ХУЛАСЭ

Мәгаләдә FeCl_3 вә $\text{ZnCl}_2/\text{Al}_2\text{O}_3$ катализаторларын иштиракында бензол вә онун бир сыра һомологларының аллилхлоридлә реаксијасының тәһлили верилмишdir.

Тәчрүбәләр ади алкилләшмә гурғусунда апарылышынан. Реаксија мұхтәлиф факторларын: температурин, компонентләрин нисбәт дәйишикликләринин, катализаторун мигдарынын вә тәчрүбәнин апaryлма мүддәтинин тә'сирі өјрәниләрәк оптималь реаксија шәранити мүәжжән едилмишdir.

Мә'лум олмушдур ки, ароматик карбоидрокенләr һәр ики катализаторун иштиракында аллилхлоридлә реаксија кирәрәк, әсас мәһсул олан 1-арил-2-хлорпропан әмәлә кәтирир. Оптималь шәранитдә әсас мәһсулун максимум чыхымы 59,5%-и тәшкىл етмишdir.

АЗӘРБАЙЧАН ССР ЕЛМЛӘР АКАДЕМИЯСЫНЫН МӘРҮЗӘЛӘРИ

ДОКЛАДЫ АКАДЕМИИ НАУК АЗЕРБАЙДЖАНСКОЙ ССР

ТОМ XXIV

№ 2

1968

ФИЗИЧЕСКАЯ ХИМИЯ

С. Д. МЕХТИЕВ, З. Ю. МАГЕРРАМОВА, В. П. СМИРНОВА,
Р. Ю. МАГЕРРАМОВА

ПОЛЯРОГРАФИЧЕСКОЕ ОПРЕДЕЛЕНИЕ ФТАЛИМИДА В СМЕСИ ЕГО С ФТАЛОНИТРИЛОМ

В ранее опубликованных работах [1, 2] были представлены результаты исследований по получению фталимида окислительным аммониазом *o*-ксилола и 1,2-диметилциклогексана.

Как указывалось в этих работах, фталимид при аммоокислении *o*-ксилола и 1,2-диметилциклогексана получался в смеси с фталонитрилом.

Для разделения смеси фталимида и фталонитрила пользовались методом селективной экстракции, основанным на хорошей растворимости фталонитрила в бензоле.

В развитии работы [3] в настоящей статье приводятся результаты исследований по получению поляризационных кривых электровосстановления фталимида и применения их для определения количественного состава смеси фталимида и фталонитрила.

ЭКСПЕРИМЕНТАЛЬНАЯ ЧАСТЬ

Полярографические измерения проводили на саморегистрирующем полярографе LP=60 с капельным ртутным катодом и гальванометром чувствительностью $\sim 10^{-9} \text{ а/мм}$.

Характеристика капилляра: период каплеобразования в электролите $\tau = 249 \text{ сек}$, масса капли ртути $m = 2,65 \text{ г/сек}$, высота столба $H = 470 \text{ мм}$.

Измерения проводились в электролизере с внутренним анодом, который имел форму, описанную в работе [4].

Для построения калибровочного графика (рис. 1) приготавливались спирто-водные растворы фталимида различной концентрации (от 0,3 до 0,8 ммол/л) на фоне 0,05NLiCl. Для построения калибровочного графика был использован фталимид после перекристаллизации в метиловом спирте. Температура плавления 238°C.

На фоне 0,5NLiCl при температуре 20°C и при предварительной продувке азотом (15 мин) была получена волна электровосстановления фталимида в одну стадию, потенциал полуволны которой $E_{1/2} = -1,24v$.

Потенциалы полуволн при переходе от одной концентрации к другой изменились незначительно.

На рис. 2 представлены полярограммы фталимида в чистом виде и в кристаллическом продукте аммоокисления *o*-ксилола, а полярограммы фталимида, содержащегося в кристаллическом продукте окислительного аммонолиза 1,2-диметилциклогексана, представлены на рис. 3.

Величина диффузионного тока при восстановлении фталимида была пропорциональна концентрации, что наглядно подтверждается калибровочным графиком.

Наряду с поляризационной кривой электровосстановления фталимида при определении количественного состава кристаллических продуктов аммоокисления *o*-ксилола и 1,2-диметилциклогексана была получена поляризационная кривая электровосстановления фталонитрила, потенциал полуволны которой $E_{1/2} = -1,91\text{v}$.

Процентное содержание фталимида в кристаллическом продукте реакции определялось по калибровочной кривой, а содержание фталонитрила — по разнице между суммой фталимида и фталонитрила и определенным количеством фталимида.

В таблице представлены данные по качественному определению фталимида в кристаллических продуктах аммоокисления *o*-ксилола и

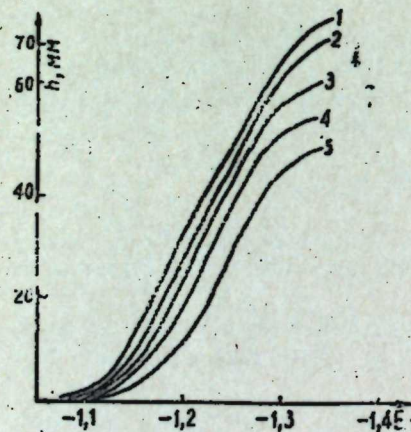


Рис. 1. Прямая зависимость величины предельного тока от концентрации фталимида.

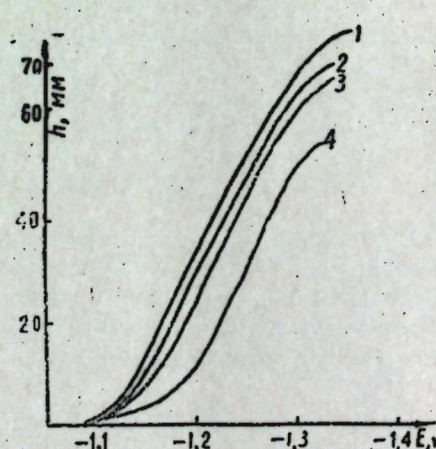


Рис. 2. Полярограммы индивидуального фталимида и фталимида, содержащегося в кристаллическом продукте аммоокисления *o*-ксилола: 1 — полярограмма индивидуального фталимида; 2 — 97%-ного фталимида в кристаллическом продукте; 3 — 87,1%-ного фталимида в кристаллическом продукте; 4 — 78,5%-ного фталимида в кристаллическом продукте; 5 — 70%-ного фталимида в кристаллическом продукте.

1,2-диметилциклогексана методами полярографии и селективной экстракции.

Сравнение этих данных показывает их достаточно высокое соответствие. Поэтому полярографический метод может найти широкое применение в практике как быстрый и простой для определения состава кристаллических продуктов при окислительном аммонолизе 1,2-диметилциклогексана.

№ опыта	Взятое сырье	Условия опытов		Состав полученных кристаллических продуктов, %		
		Время контакта, сек	Мол. отн. углеводород: аммиак кислород	Опред. методом селективной экстракции	Полярографически	
101	<i>o</i> -ксилол	1,5	1:10:7	73,0	27,0	70,0
68	<i>o</i> -ксилол	1,5	1:10:20	79,2	20,8	78,5
113	<i>o</i> -ксилол	1,5	1:10:30	85,0	15,0	87,1
117	<i>o</i> -ксилол	1,5	1:10:50	95,0	5,0	97,1
229	1,2-диметилциклогексан	2	1:7:7	75,6	24,4	72,8
230	1,2-диметилциклогексан	2	1:7:20	87,0	13,0	90,0
232	1,2-диметилциклогексан	2	1:7:40	90,8	9,2	92,9

Примечание. Опыты проведены при температуре 380°C.

Выводы

1. Установлена линейная зависимость высоты поляризационных кривых фталимида от его концентрации.
2. Разработан полярографический метод определения содержания фталимида в смеси с фталонитрилом.

ЛИТЕРАТУРА

1. Мехтиев С. Д., Сулейманов Г. Н., Магеррамова З. Ю. и др. Азерб. хим. ж., 1964, № 1. 2. Мехтиев С. Д., Сулейманов Г. Н., Магеррамова З. Ю. Азерб. хим. ж., 1967, № 6. 3. Мехтиев С. Д., Шарифова С. М., Смирнова В. П. и др. Азерб. хим. ж., 1965, № 5. 4. Виноградова Е. Н., Галлай З. А., Финогенова З. М. Методы полярографического и амперометрического анализа. М., 1960.

ИНХП

Поступило 17.X 1967

С. Ч. Мендиев, З. Ж. Мәһәррәмова, В. П. Смирнова, Р. Ж. Мәһәррәмова

Фталиминдин фталонитриллә гарышыбында полјарографик тә'жини
ХҮЛӘСӘ

Мәгаләдә фталиминдин полјаризасија әјриләринин алымасы вә онлардан фталиминд вә фталонитрил гарышыбынын мигдарча тәркибинин тә'жин едилмәсіндә истифадә олунмасына аид апарылан тәдгигатын нәтичәләри верилмишdir.

Мүәјжән едилмишdir ки, фталиминдин полјаризасија әјриләринин һүндүрлүjү онуң гатылыбындан хәтти асылыдыр.

Гарышыгда фталиминдин мигдарынын полјарографик үсүлла тә'жин олунмасынын екстраксија үсүлuna уjғынулуғу көстәрілмишdir.

Полјарографик үсүл тез вә садә олдуғу үчүн практикада кениш тәтбиг олуна биләр.

РАЗРАБОТКА НЕФТЕЙНЫХ И
ГАЗОВЫХ МЕСТОРОЖДЕНИЙ

Н. Д. ТАИРОВ, Д. Ш. ВЕЗИРОВ, Ш. Я. КОДЖАЕВ, Ф. Г. КЕРИМОВА

ВЛИЯНИЕ ТЕМПЕРАТУРЫ НА ПРОТИВОТОЧНОЕ КАПИЛЛЯРНОЕ
ВЫТЕСНЕНИЕ УГЛЕВОДОРОДНЫХ ЖИДКОСТЕЙ ВОДОЙ

(Представлено академиком АН Азербайджанской ССР С. М. Кулиевым)

Проведенными ранее исследованиями [1, 2, 3] установлено, что противоточное капиллярное вытеснение углеводородной жидкости водой играет большую роль в механизме нефтеотдачи трещиновато-пористых коллекторов. Эти исследования проведены при комнатной температуре и в основном с неполярными углеводородными жидкостями.

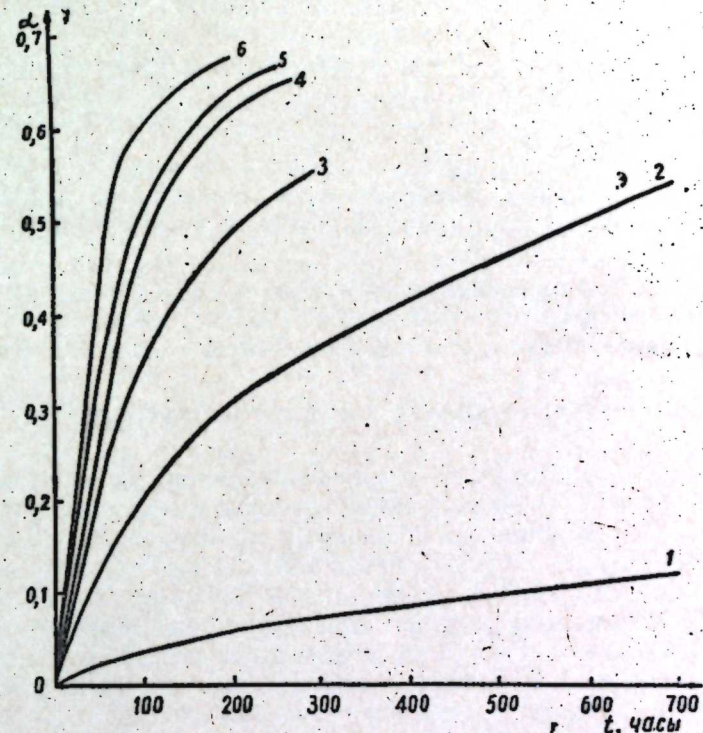
Прямоточное капиллярное вытеснение нефти водой [4] резко улучшается с увеличением температуры. Процесс противоточного капиллярного вытеснения существенно отличается от прямоточного. Если при прямоточном капиллярном вытеснении нефть движется в одном направлении с водой, то при противоточном — нефть в пористой среде движется в направлении, противоположном движению воды. Учитывая изложенное, было изучено влияние температуры на процесс противоточного капиллярного вытеснения нефти водой в пористой среде. Попутно в работе рассмотрено и влияние активности углеводородной жидкости на противоточное капиллярное вытеснение.

Исследования проведены на стеклянных трубках длиной 40 и диаметром 3 см. Пористая среда создана из кварцевого песка фракции 0,1—0,065 мм. В опытах использовалась установка и методика по исследованию противоточного капиллярного вытеснения нефти водой, которые довольно подробно описаны в работе [2]. Указанная установка предназначена для работы при комнатной температуре. Поэтому для проведения запланированных опытов при высоких температурах было изготовлено специальное устройство, позволяющее нагревать пористую среду, насыщенную нефтью, и воду до определенной температуры и поддерживать ее постоянной.

Вытесняемой фазой служили смеси высокактивной нефти свиты ПК Сабунчи-Балаханы-Раманинского месторождения и неполярного вазелинового масла с очищенным керосином, а вытесняющей — дистиллированная вода. Смеси приготовлены в такой пропорции, что влияние фактора вязкости на процесс капиллярного вытеснения при всех температурах исключено. Поверхностное натяжение на границе смеси нефти свиты ПК с дистиллированной водой равно 26,3 эрг/см², а система смеси вазелиновое масло и дистиллированная вода — 44,3 эрг/см².

Температура в опытах изменялась от 20 до 75°C и, как уже указывалось, поддерживалась постоянной в течение всего опыта с точностью ±0,5°C.

Обработка результатов экспериментов показала (рисунок), что с увеличением температуры полная и текучая отдача "α" (отношение объема вытесненной нефти к начальной нефтенасыщенности) для нефти свиты ПК резко возрастает. Для неполярной жидкости с увеличе-



1—смесь нефти ПК свиты с керосином — 20°; 2—смесь нефти ПК свиты с керосином — 50°; 5—смесь нефти ПК свиты с керосином — 50°; 6—смесь нефти ПК свиты с керосином — 20°C.

нием температуры отдача несколько снижается, оставаясь в то же время при всех температурах выше, чем отдача активной нефти. Уменьшение отдачи неполярной углеводородной жидкости с увеличением температуры можно объяснить снижением поверхностного натяжения ее на границе раздела с водой.

Меньшая отдача нефти свиты ПК по сравнению с неполярной углеводородной жидкостью является следствием содержания в ее составе активных компонентов. Содержащиеся в нефти молекулы активных компонентов, адсорбируясь на поверхности зерен минералов, образуют адсорбционные слои, ухудшающие смачиваемость минералов водой и создающие дополнительное сопротивление движению жидкости. Повышение температуры приводит к уменьшению адсорбции этих молекул на поверхности твердого тела и сопротивления, что в свою очередь определяет более высокую нефтеотдачу за меньшее время. Указанное явление особенно резко проявляется в интервале температур 20—50°C. При дальнейшем увеличении температуры этот эффект заметно снижается. В условиях достаточно высоких температур отдача при противоточном капиллярном вытеснении нефти приближается к отдаче неполярной углеводородной жидкости. Так, при 75°C отличие к неф-

неотдаче этих жидкостей составляет всего 8—10%, тогда как при 20°C эта разница равна 50%.

С повышением температуры время противоточного капиллярного вытеснения нефти водой уменьшается, а при вытеснении неполярной углеводородной жидкости, наоборот, несколько увеличивается. Увеличение времени вытеснения в этом случае также связано с уменьшением величины капиллярного давления.

Проведенные экспериментальные исследования позволяют сделать следующее заключение.

Увеличение температуры, при всех прочих равных условиях приводит к резкому увеличению текущей и полной отдачи нефти и сокращению времени ее капиллярного противоточного вытеснения водой.

При противоточном капиллярном вытеснении углеводородных жидкостей дистиллированной водой влияние изменения температуры на отдачу, в пределах ее исследованных значений, в значительной степени зависит от активности нефти.

На процессе вытеснения неполярной углеводородной жидкости увеличение температуры оказывается незначительно, и притом в худшую сторону — несколько снижается текущая отдача и увеличивается время вытеснения.

Из проведенных исследований вытекают важные практические выводы.

Известно, что нефтеотдача трещиновато-пористых коллекторов, а также слоистой и линзовидной пористых сред в значительной степени определяется интенсивностью проявления капиллярных сил. Улучшение процесса капиллярного вытеснения нефти водой из таких коллекторов увеличивает коэффициент нефтеотдачи. Очевидно, помимо прочего, за счет увеличения температуры и вследствие этого улучшения капиллярного вытеснения коэффициент нефтеотдачи трещиновато-пористых, а также неоднородно слоистых и линзовидных коллекторов должен резко возрасти, а время вытеснения — уменьшиться.

Использование в качестве нагнетаемого агента горячей воды окажется высоко эффективным и при циклическом воздействии на нефтяные пластины вследствие резкого улучшения противоточного капиллярного вытеснения нефти водой.

ЛИТЕРАТУРА

1. Везиров Д. Ш., Кочешков А. А. Факторы, определяющие процесс за-воднения трещиновато-пористых коллекторов. НТС по доб. нефти, вып. 25, 1964.
2. Заболоцкая В. А., Кочешков А. А., Коджаев Ш. Я. Экспериментальное исследование капиллярных явлений в пористой среде. НТС по доб. нефти; вып. 28, 1965.
3. Mattax C. C., Kute J. R. Imbibition oil recovery from fractured water drive reservoir. Society of Petr. eng. J. vol. 2, № 2, 1962.
4. Таиров Н. Д., Асадов А. И. Применение ПАВ в нефтяной промышленности (Тр. III Всесоюзного со-вещания). М., 1966.

Н. Ч. Таиров, Ч. Ш. Вээзиров, Ш. Џ. Гочаев,
Ф. Ы. Кәримова

Карбоидрокенли мајеләрин су илә экс ахыны
капилјар сыхышдырылмасына температурүн тә'сири

ХУЛАСӘ

Карбоидрокенли мајеләрин су илә экс ахыны капилјар сыхышдырылмасына температурүн тә'сирини өфрәнмәк үчүн сыхышдырылан маје олараг јүксәк актив ПК нефти вә гејри-полјар вазелин јағынын тәмизләнмиш керосинлә гарышығы, сыхышдыран маје исә су көтүрүлмүшдүр. Температурүн артмасы илә там вә чары верим ПК нефти үчүн чох артмышыр. Гејри-полјар маје үчүн исә $T-p$ артдыгча там вә чары верим азалмыш, биңиңлә бәрабәр бүтүн температурларда вәрим актив нефтдән артыг олмушшур. Температур артдыгча нефтин су илә экс ахыны капилјар сыхышдырылма вахты азалыр вә гејри-полјар карбоидрокенли мајеләрин сыхышдырылма вахты артыр.

МИНЕРАЛОГИЯ

Г. И. КЕРИМОВ, А. Б. ШИРАЛИЕВ

**ОБ ОБНАРУЖЕНИИ НЕКОТОРЫХ РЕДКО ВСТРЕЧАЮЩИХСЯ
МИНЕРАЛОВ В РУДАХ ВЕЖНАЛИНСКОГО МЕСТОРОЖДЕНИЯ
(МАЛЫЙ КАВКАЗ)**

(Представлено академиком АН Азербайджанской ССР М. А. Кашиаем)

Вежналинское месторождение находится в Зангеланском районе Азербайджанской ССР и расположено в северо-восточном крыле Сыгырт-Эрнадзорской антиклинали, в экзоконтактном ореоле Мегри-Ордубадского гранитоидного plutона.

В геологическом строении месторождения участвуют метаморфизованные карбонатные породы верхнего девона, эфузивно-пирокластические образования титон-среднего валанжина и терригенно-осадочные отложения готерива и баррема. Все эти породы в пределах месторождения слагают Сыгырт-Эрнадзорскую антиклиналь, осложненную более мелкими складками второго порядка и многочисленными разрывными нарушениями различного возраста и направления. По возрасту среди разрывных нарушений выделяются более ранние — северо-западные — 320—350° и поздние — северо-восточные — 10—60°; наличием Хуступ-Гиратахского (на западе) и Вежналинского (на востоке) разломов, а также многочисленных нарушений между ними обусловлено блоковое строение изучаемого месторождения.

Оруденение на Вежналинском месторождении контролируется в основном трещинами северо-восточного и реже северо-западного простираний. Рудные тела морфологически относятся к жильному и прожилково-вкрашенному типу, хотя широко развиты также зоны гидротермально измененных пород с значительной сульфидной минерализацией и повышенным содержанием золота.

Детальное минераграфическое исследование руд Вежналинского месторождения позволило установить здесь ряд гипогенных рудных минералов, впервые обнаруженных нами.

Сюда относится самородное серебро, самородный теллур, алтант, гессит, кубанит и валлериит, краткая характеристика которых приводится ниже.

Самородное серебро (Ag) в рудах Вежналинского месторождения встречается редко. В северо-восточной части участка Яранмыш, где развиты жилы полиметаллических руд, оно встречается среди галенита в виде мелких округленных, местами изометрических выделений.

В зоне № 1 (шт. № 16) оно развито в виде мелких включений (0,003 мм в поперечнике) в пирите. Под микроскопом самородное серебро от других минералов отличается высокой отражательной способностью, относительно беловатой окраской и низкой твердостью.

Следует отметить, что серебро в рудах месторождения обнаруживается также по данным химического анализа и содержание его колеблется в значительных пределах. Полуколичественный спектральный анализ мономинеральных проб пирита, халькопирита и галенита показывает содержание серебра от 0,003 до 0,06%.

Самородный теллур (Te) в рудах встречается весьма редко и в небольших количествах. Он развит в зоне № 20 в виде мелких включений в пирите, в тесном срастании с самородным золотом, халькопиритом (рис. 1), а в зоне № 21 он наблюдается в виде более или менее изометрических зерен с размерами от 0,002 до 0,004 мм.

Под микроскопом самородный теллур имеет белый цвет с кремовым оттенком; высокая отражательная способность (выше чем у галенита) и очень низкая твердость легко отличают его от других минералов. Он сильно анизотропный, при действии HNO_3 вскипает и чернеет; при реакции с соляной кислотой (с добавлением кристаллов $CsCl$ и KJ) образуется черный осадок.

Спектральными анализами мономинеральных проб установлено, что в пирите, халькопирите и галените содержание теллура достигает тысячных долей процента.

Алтант ($PbTe$). Несмотря на незначительное содержание теллура в изверженных породах земной коры (Кларк $Te = 1 \cdot 10^{-7}$) собственные

минералы этого элемента в сульфидных рудах встречаются довольно часто. Алтант обнаружен в ряде месторождений Армянской ССР (Амирян, 1960), Кафанском (Хачатуриян, 1958), Каджаранском (Фарамазян, 1958), Анкаванском (Каррапетян, 1961), Азатекском (Пароникиян, 1961), Калерском (Меликсетян и др., 1960).

На Вежналинском золоторудном месторождении алтант относится к числу редко встречающихся минералов. Он обнаружен нами на юго-восточном участке месторождения (в зонах № 20 и 21) среди агрегатов пирита в виде неправильных форм выделений размером от 0,004 до 0,02 мм. В зоне № 19, а также в северо-восточной части

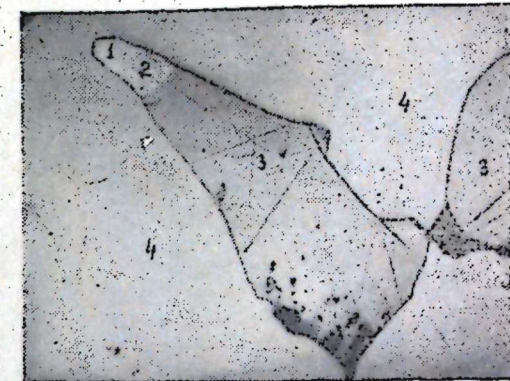


Рис. 1. Срастание самородного теллура (1), золота (2) и халькопирита (3) в пирите (4). Отраж. св., $\times 1000$, в масляной иммерсии.



Рис. 2. Срастание алтана (1), гессита (2), галенита (3) и кварца (темные) в пирите (4). Отраж. св., $\times 1000$, в масляной иммерсии.

участка Яранмыш, где развиты главным образом жилы полиметаллических руд, алтант наблюдается среди пирита в виде мелких неправильной формы выделений в тесном срастании с галенитом и гесситом (рис. 2).

В отраженном свете алтант белого цвета со слабым зеленоватым оттенком, обладает высокой отражательной способностью. Он изотропен, при действии HNO_3 вскипает, от HCl слабо тускнеет, а от $FeCl_3$ (20%) и царской водки буреет и призирает.

Гессит (Ag_2Te) присутствует в рудах Вежналинского месторождения в незначительном количестве и тесно ассоциирует с самородным золотом и алтантом. Иногда в гессите самородное золото образует удлиненные пластиночки (рис. 3). В случаях срастания с золотом гессит имея негладкую поверхность, напоминает загрязненность. На юго-восточном участке месторождения (в зоне № 19 и 20) гессит встречается в поле пирита в виде неправильной формы зерен размером от 0,003 до 0,03 мм, а в зоне № 21 среди выделений халькопирита он образует мелкие удлиненные формы включения.

Отражательная способность гессита близка к таковой галенита, но в отличие от последнего, гессит обладает заметным двоупражнением от серо-голубоватых до светло-коричневых тонов и отчетливой анизотропией, со световым эффектом от темно-оранжевого до темно-синего. Твердость гессита низкая. Он чернеет от действия HNO_3 и призирает под действием $FeCl_3$.

Кубанит ($CuFe_2S_3$) встречается в рудах северо-западной части участка Яранмыш (в зонах № 1, 4, 8 и 16) и на участке Султан-Салима (в зонах № 17, 18). Среди пирита и халькопирита в тесной ассоциации с пирротином он образует мелкие неправильные и слегка удлиненные выделения размером зерен от 0,003 до 0,04 мм. В отраженном свете кубанит обладает бронзовым цветом, занимая промежуточное положение между халькопиритом и пирротином. Анизотропен с характерным световым эффектом — от розово-коричневого до серово-синего.

Валлеринт ($Cu_2Fe_4S_7$) в рудах месторождения встречается очень редко, обычно ассоциирует с халькопиритом, пиритом, пирротином и блеклыми рудами. При этом он образует тонкозернистые агрегаты, реже слегка удлиненной формы выделения (размером до 0,06 мм) в пирите (рис. 4). Под микроскопом валлеринт имеет кремовый цвет и



Рис. 3. Удлиненная пластиночка самородного (1) в гессите (2) среди пирита (3). Отраж. св., $\times 1000$, в масляной иммерсии.

часть в поле пирита в виде неправильной формы зерен размером от 0,003 до 0,03 мм, а в зоне № 21 среди выделений халькопирита он образует мелкие удлиненные формы включения.

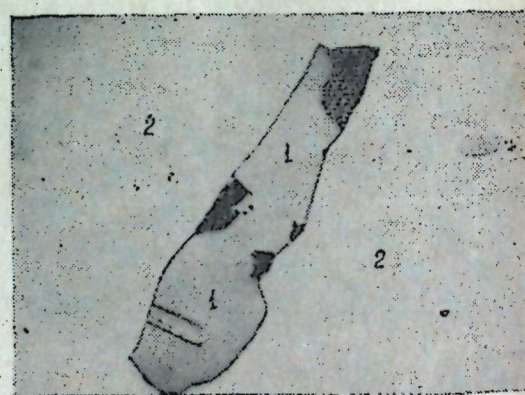


Рис. 4. Зерно валлеринта (1) и кварца (темные) в пирите (2). Отраж. св., $\times 320$.

более сильное двоупражнение, чем пирротин. Анизотропен, обладает низкой твердостью.

В заключение следует отметить, что наличие в рудах Вежналинского месторождения вышеописанных теллуридов в парагенезисе с другими сульфидами, свидетельствует о многокомпонентности рудоносных растворов и сложности условий формирования исследованных руд. Наши данные по минералогии руд Вежналинского месторождения показывают, что они по составу сходны с таковыми Меградзорского месторождения (Армянская ССР), расположенного в пределах Памбак-Зангезурской структурно-металлогенической зоны Малого Кавказа.

Авторы считают своим приятным долгом выразить признательность доценту С. С. Боришанской за ценные консультации при минераграфическом изучении руд на кафедре полезных ископаемых МГУ им. М. В. Ломоносова.

ЛИТЕРАТУРА

1. Волынский И. С. Определение рудных минералов под микроскопом, т. III Госгеолтехиздат, 1949.
2. Зарьян Р. Н. Теллуриды и теллуриды свинца в рудах Кафанско-го месторождения. Изв. АН Арм. ССР*, 1962, т. XV, № 2. 3. Карапетян А. Г. и Амирян Ш. О. Об обнажении теллуридов золота, серебра, висмута и свинца в рудах одного золоторудного месторождения. ДАН Арм. ССР, 1964.
4. Хачатуров Э. А. Алтант и пирит в рудах Кафанско-го месторождения. Изв. АН Арм. ССР*, 1958, т. XXVI, № 3. 5. Юшко С. А. Методы лабораторного исследования руд. Изд-во "Недра", 1966.

Институт геологии

Поступило 14. VI. 1967

Н. Н. Кәримов, Э. Б. Ширәлиев

Вежнәли јатағы филизләриндә бә'зи надир тапылан минералларын ашкар едилмәси һагында (Кичик Гафгаз)

ХУЛАСӘ

Вежнәли јатағы Зәнкилан районунда (Азәрбајҹан ССР) Сығырт-Ерәэир антиклиналынын шимал-шәрг ганадында, Мығры-Ордубад гранитоид плутонунун езоконтакт саһәснәдә йөрләшир.

Јатағын қеоложи гурулушунда Уст Девон јашлы метаморфикаләшиш карбонат сүхурлары, титон-валанжин јашлы вулканокен, вулканокен-чөкмә вә нотерив-баррем јашлы террикен-чөкмә сүхурлары иштирак едир. Јатағ әразисинде мөвчүд олан кичик гырышыглар вә чохлу мигдарда мұхтәлиф јашлы вә истигамәти гырылмалар јатағын қеоложи гурулушуны хејли мүрәккәбләшдирир.

Јатағын филизләриндән көтүрүлмүш чохлу мигдарда иүмүнәләр үзәриндә, лабораторија шәрактанды мүәллифләр тәрәфиндән мүасир сәвијјәдә, дәгиг минералографик тәдгигатлар апарылмасы нәтичәсендә ашағыда көстәрилән бә'зи надир тапылан минераллар: алтант, гессит, кубанит, валлеринт, сәрбәст күмүш вә теллур ашкар едилмишdir.

Мәгаләдә көстәрилән минералларын гыса тәсвири верилмәкә, онларын физики хүсусијәтләри, бә'зиләриинин микрокимәви анализләринн нәтичәләри, минералларын ардычыллығы, бир-бирләрилә әлагәләри вә онларын јатағын мұхтәлиф саһәләриндә мүәллән ассоциасия тәшкіл етмәләри көстәрилмишdir.

Беләликлә, гејд етмәк лазымдыр ки, јухарыда тәсвири етдијимиз теллуридләриң башга сүлфидләрлә парагенезис тәшкіл едәрәк Вежнәли јатағы филизләриндә иштирак етмәси филизләшмә мәһлүлларының чохкомпонентлилигини вә онларын мүрәккәб кенезисә малик олмасыны көстәрир.

СТРАТИГРАФИЯ

М. Р. АБДУЛКАСУМЗАДЕ

О ПРИСУТСТВИИ КИМЕРИДЖСКИХ ОТЛОЖЕНИЙ
В КЕДАБЕКСКОМ РАЙОНЕ (МАЛЫЙ КАВКАЗ)

(Представлено академиком АН Азербайджанской ССР К. А. Ализаде)

В северо-восточной части Малого Кавказа отложения кимериджского века наиболее полно выражены в пределах собственно Дашкесанской синклинали Дашкесанского синклиниория, где к этому возрасту относилась толща, залегающая на фаунистически охарактеризованную карбонатную толщу оксфорда, вулканогенных и осадочных образований мощностью до 500 м.

В пределах собственно Дашкесанской синклинали кимериджский возраст вулканогенно-осадочной толщи обосновывался следующими геологическими и палеонтологическими данными.

К. Н. Паффенгольц (1929) на основании нахождения в кровле известняковой толщи *Ptygmatis bruntrunata* Thüg., подстилающей вулканогенные образования, возраст карбонатных пород относил к позднему оксфорду. Б. Я. Меренковым и П. А. Литвиненко (1935) в пачке алуунитизированных туфов у сел. Заглик были найдены следующие кимериджские кораллы: *Blastocheetetes capilliformis* Diet., *Chaetetes capilliformis* Mich., *Calamophyllia furcata* Kob., *Cylindrophyma millepora* Goldf., *Montlivaultia compressoides* Kob., *Heliocoenia variabilis* Kob., *H. costulata* Kob. (опр. М. Е. Мирчинк). Л. Н. Леонтьев (1946) из этого пункта нашел *Thecos milia longitana* Quenst. (опр. Н. С. Бендукидзе) кимериджского возраста.

М. А. Кацкай (1965) продолжительное время—с 1954 по 1965 гг., детально изучал Дашкесанский рудный район и выделял следующие фациальные подразделения оксфорда—кимериджа: 1—карбонатные вулканогенные породы соответствуют лузитанской толще оксфорда—кимериджа; 2—вулканогенные породы—киммериджу; 3—эффузивно-экструзивные покровы основных пород и пластовые инъекции—кимеридж—нижнему мелу. Им в серых, темно-серых слоистых, мелко-зернистых мраморизованных известняках мощностью 20 м. г. Кырвакар были найдены кимериджские: *Trochus cf. acuticarina* Buv. (опр. наше), *Cyathophora claudiensis* Etall., *Cryptocoenia limbata* Goldf., *Styliina sexradiata* Goldf. (опр. Н. С. Бендукидзе). Из этого же пункта Р. Г. Бабаевым (1963) были встречены *Cladophyllia dichotoma* (Goldf.), *Cryptocoenia octonaria* (d'Orb.), *Cr. tabulata* Kob., *Cr. limbata* (Goldf.), *Cr. delemontana* Kob., *Styliina excelsa* Etall., *S. tubulifera* (Phil.), *S. aff. bernensis* Etall., *Heliocoenia aff. etalloni* Kob., *Diplocoenia clathrata* (Etall.), *D. gagarini* Bab., *Confusastraea crassa* (Goldf.), *Favia michelini* Edw. et Haime, *F. thurmanni* Etall., *Comoseris iradians* Edw. et Haime, *Thamnasteria concinna* (Goldf.), которые являются характерными формами для нижнекимериджского подъяруса.

flabellum Blainv., *Thamnasteria concinna* (Goldf.), *Comoseris iradians* Edw. et Haime.

Из сборов М. А. Кацкай (1965) нами также среди туфопесчаников вблизи сел. Гюней-Загалы были определены *Ismenia pectunculoides* Schloth., *Diplocoenia* sp., *Chlamys* sp. кимериджского возраста.

Нами в 1948 г. на западном склоне г. Шарукар к кимериджскому ярусу была отнесена 50-метровая пачка туфогенно-осадочных пород, среди которых в окремненных известняках были найдены кимериджский *Goniocora haimei* Edw. et Haime (опр. Н. С. Бендукидзе).

Следует указать, что в 1960 г. Р. Г. Бабаевым в известняковой толще выделяются впервые верхний оксфордский и нижнекимериджский подъярусы; следовательно им же, впервые перекрывающая известняки вулканогенно-осадочная толща выделяется как верхнекимериджский подъярус.

В 1962 г. Д. М. Ахмедов и др. возраст известняковой толщи по устному сообщению Р. Г. Бабаева в Дашкесанском рудном районе без фаунистического обоснования относят к верхнему оксфорду—нижнему кимериджу, а вышележащую вулканогенную толщу причисляют к верхнему кимериджу. Кроме того, Д. М. Ахмедов и др. в пределах Дашкесанского рудного района по данным буровых скважин между вулканогенной толщей и подстилающих ее известняков отмечают эрозионное несогласие.

Р. Г. Бабаев, начиная с 1960 г., на основании изучения шестилучевых кораллов верхнеюрских отложений северо-восточной части Малого Кавказа, впервые фаунистически обосновал наличие нижнекимериджского подъяруса в исследованной области. Им из верхней части известняковой толщи, выступающей в окрестностях сс. Коминтерн, Шаумян, Заглик и в районах гор. Кыркавар и Кяпаз были определены *Stylosmilia suevica* Becke, *Cladophyllia dichotoma* (Goldf.), *Cryptocoenia octonaria* (d'Orb.), *Cr. tabulata* Kob., *Cr. limbata* (Goldf.), *Cr. delemontana* Kob., *Styliina excelsa* Etall., *S. tubulifera* (Phil.), *S. aff. bernensis* Etall., *Heliocoenia aff. etalloni* Kob., *Diplocoenia clathrata* (Etall.), *D. gagarini* Bab., *Confusastraea crassa* (Goldf.), *Favia michelini* Edw. et Haime, *F. thurmanni* Etall., *Comoseris iradians* Edw. et Haime, *Thamnasteria concinna* (Goldf.), которые являются характерными формами для нижнекимериджского подъяруса.

Таким образом, вышеуказанные данные дали возможность исследователям Малого Кавказа к кимериджскому ярусу отнести небольшую толщу карбонатных пород и вулканогенно-осадочную толщу, венчающую разрез верхнеюрских отложений Дашкесанского рудного района.

В пределах Кяпазской синклинали нижний кимеридж впервые был выделен в 1964 г. Р. Г. Бабаевым. Им верхняя часть известняков мощностью 57 м, выделяется как нижний кимеридж, который состоит из слоистых, плотных, мелко- и среднезернистых, грубообломочно-органогенных, песчанистых, мраморизованных известняков серых и темно-серых цветов с бурым оттенком, с прослойками туфогенного материала. В верхней части толщи наблюдаются прожилки и линзовидные включения сургучно-красной яшмы и кристаллического кальцита. Встречаются следующие кимериджские формы: *Cryptocoenia tabulata* Kob., *Heliocoenia aff. etalloni* Kob., *Styliina excelsa* Etall. и *Favia michelini* Edw. et Haime.

Нужно отметить, что Г. И. Керимов (1957) в районе Кедабекского рудного месторождения у Сардарского хребта туфогенные породы

мощностью 30 м, залегающие согласно на верхнеоксфордские известняки, без фаунистического обоснования относят к кимериджскому ярусу.

Продолжая исследования по изучению верхнеюрских отложений Малого Кавказа мы с каждым годом обнаруживали все новые фаунистически охарактеризованные пункты, которые позволили детализировать стратиграфическую схему этих отложений.

Проведенные в 1962—1965 гг. геологические и палеонтологические исследования по детализации стратиграфической схемы верхнеюрских отложений Дашкесанского рудного района позволили уточнить возраст верхней части карбонатной толщи, подстилающей вулканогенно-осадочную свиту. Анализ фауны, собранной из верхней части карбонатной толщи, позволяет более отчетливо уточнить нижнюю границу кимериджского яруса (табл.).

Как видно, в перечисленных формах многие характеризуют только самую верхнюю часть верхнего оксфорда. Основываясь на этих данных, толщу, расположенную между фаунистически охарактеризованными слабопесчанистыми, местами гравелитовыми известняками верхнего оксфорда и эфузивно-пирокластическими породами верхнего кимериджа, мы также принимаем как нижний кимеридж. Эта толща, мощностью 50—70 м, состоит из грубослоистых, плотных, обломочно-органогенных, брекчневидных известняков серого, буровато-серого цветов с фауной, главным образом кораллами. Имеются прослойки хлоритового туфа и туфопесчаников темно-серого цвета. Характерным является окремение известняков, которые местами замещены халцедоном и сургучно-красной яшмой.

Далее к востоку, в пределах Калакендской синклиналии, оксфорд и кимеридж представлены в вулканогенно-осадочной фации, достигающей 220 м мощности. До 1962 г. эти отложения нами были отнесены к оксфордскому ярусу. Результаты дополнительных сборов фауны в 1962—1965 гг. дали возможность в этом районе впервые выделить кимериджский ярус. В пределах Калакендской синклиналии нами в 1962 г. в верхних частях известняковой толщи были обнаружены характерные аммониты нижнекимериджского возраста.

Нижний кимеридж узкой полосой обнажается в окрестностях с. Калакенд, Арысу и Алинагылар и представлен из чередований известковых туффитов, туфопесчаников, аргиллитов, гравелитов, туфобрекций, медкообломочных конгломератов с прослойками коралловых известняков. Мощность от 10—35 м. В верхней части толщи среди конгломератов встречаются следующие виды аммонитов, характеризующие нижнекимериджский подъярус: *Taramelliceras* (Str.) *externodosum* (Dorn.), *Ataxioceras* (*Parataxioceras*) *pseudohomalinum* Geyer, *Streblites plicadiscus* Waag., *Sutneria* (S.) *platynota* (Rein.).

Т. Аб. Гасановым в 1965 г. среди известковых туффитов были найдены: *Calliphylloceras* ex gr. *benacense* Catt., *Oppelia* aff. *fiehuosa* Buch., *Perisphinctes* ex gr. *malletanus* (Font.), *Aspidoceras reineckianus* Quenst., *Asp. inflatus macrocephalis* Quenst. (опр. наше) и из брюхоногих (также и по сборам Р. Г. Бабаева)—*Phaneroptyxis pupoides* d'Orb., *Ptygmatis pseudobroutrutana lorioli* Psel. (опр. Г. А. Алиева), которые характеризуют нижнекимериджский подъярус.

Таким образом, вышеупомянутый фактический материал дает нам основание уточнить расчленение верхнеюрских отложений, развитых в пределах Дашкесанского синклиниория. В частности, дополнительные стратиграфо-палеонтологические исследования в пределах Калакенд-

ской синклиналии позволили верхнюю часть известняковой толщи, ранее относимую нами к оксфордскому ярусу, отнести к нижнему кимериджу.

Таблица
найденной фауны в верхнем оксфорде в пределах Дашкесанской синклиналии

Название форм	Верхний оксфорд		Местонахождение
	Нижняя часть	Верхняя часть	
Кораллы			
<i>Astraea</i> sp. (ex gr. <i>tubulosa</i> Goldf.)			
<i>Cladophyllia ramea</i> Kobu			c. Мушавах г. Шарукар
<i>Heliocoenia variabilis</i> Etall.			
<i>Diplocoenia</i> cf. <i>taurica</i> Damp.			
<i>Calamophyllia flabellum</i> Bleip.			
<i>Calamophyllia etallonii</i> Kobu			
<i>Dimorpharaea expansa</i> Solomko			
<i>Blastocheatetes</i> cf. <i>pontica</i> Desn.			
Плечоногие			
<i>Septaliphoria astieriana</i> (d'Orb.)			
<i>Juralina rauraca</i> (Röhl.)			
<i>Lobothyris</i> aff. <i>critica</i> Kjansep.			
Двусторчатые			
<i>Diceras</i> cf. <i>sinistrum</i> Desh.			
<i>Diceras inostransevi</i> Psel.			
<i>Diceras</i> cf. <i>subboreale</i> Psel.			
<i>Plesiodiceras</i> ex gr. <i>uzuntaschi</i> Psel.			
<i>Ediceras</i> ex gr. <i>eximum</i> (Bayle)			
<i>Mesodiceras</i> sp.			
<i>Lima streitbergensis</i> d'Orb.			
<i>Entolium tavanowi</i> Psel.			
<i>Chlamys blyensis</i> L. Or.			
Брюхоногие			
<i>Turbo epulus</i> d'Orb.			
<i>Trochus</i> cf. <i>acuticarinatus</i> Buv.			
<i>Callistoma</i> (<i>Ziziphinus</i>) sp.			
<i>Purpuroidae</i> <i>taurica</i> Psel.			
<i>Natica</i> aff. <i>amatula</i> d'Orb.			
<i>Nerinea bernardiana</i> d'Orb.			
<i>Nerinea ursicola</i> T. h.			
<i>Ptygmatis intermedia</i> var. <i>dilatata</i> Psel.			
<i>Ptygmatis dumensis</i> Fogt.			
<i>Iterla</i> sp.			
<i>Eustoma</i> aff. <i>germaini</i> Etall.			

ЛИТЕРАТУРА

1. Абдулкасумзаде М. Р. Стратиграфия и фауна верхнеюрских отложений северо-восточной части Малого Кавказа. Изд. АН Азерб. ССР, 1963.
2. Бабаев Р. Г. Стратиграфическое значение верхнеюрских шестилучевых кораллов северо-восточной части Малого Кавказа (Азербайджан). ДАН Азерб. ССР, т. XIX, № 9, 1963.
3. Бабаев Р. Г. Верхнеюрские шестилучевые кораллы северо-восточной части Малого Кавказа (Азербайджан) и их стратиграфическое значение. Автореферат. Баку, 1964.
4. Кащакай М. А. Петрология и металлогения Дашкесана и других железорудных месторождений Азербайджана. М., 1966.
5. Керимов Г. И. О присутствии верхнеюрских отложений на Келабекском месторождении сульфидных руд. ДАН Азерб. ССР, т. XIII, № 12, 1957.
6. Леонтьев Л. Н. К стратиграфии юрских отложений северо-восточной части М. Кавказа. Изв. АН ССР, серия геол., № 2, 1950.
7. Пифенгольц К. Н. Дашкесан и Заглик. Месторождения магнитного железняка и кварцевого камня в Гянджинском уезде Азерб. ССР. ТГК, вып. 170, 1928.

Институт геологии

Поступило 18. V 1967

**Кәдәбәј раionунда кимерич чөкүнтуләринин ашкара чыхмасы
нагында (Кичик Гафгаз)**

ХУЛАСЭ

Дашкәсән синклиниорисинде Кимерич чөкүнтуләри чөкүнту вә вулканик сүхурлардан тәшил олунмушлур. Бу чөкүнтуләр бир чох қеологлар вә стратиграфлар тәрәфинидән өјрәнилмиш вә һәлә 1928-чи илдән фауна илә сәчиүјәләндирilmишdir. Дашкәсән вә Кәпәз синклиналларында исә бириңчи дәфә олараг Р. Г. Бабаев тәрәфинидән кулли мигдарда мәрчан фаунасына әсасән Алт Кимерич јарыммәртәбәси айрылышдыр.

1962-чи илә гәдәр Галакәнд синклинальнда Кимерич чөкүнтуләри мә'лум дејилди. Йура чөкүнтуләринин стратиграфик белүүмәснин дәгигләшмәси үзрә апарыланышлар заманы, Галакәнд әтрафында тапылан аммонит фаунасына әсасән, мүәллиф бириңчи дәфә олараг бурада Алт Кимерич јарыммәртәбәснин айрылышдыр.

МИНЕРАЛОГИЯ

М. А. КАШКАЙ, Т. С. МАМЕДОВ, А. В. ГРОМОВ, Ч. Д. ДЖАФАРОВ

**ИССЛЕДОВАНИЕ МИКРОВКЛЮЧЕНИЙ В КРИСТАЛЛАХ
ГРАНАТА ИЗ ДАШКЕСАНА**

Гранаты в Дашкесанском месторождении в основном состоят из буро-красного, черно-бурового и зеленого цветов андродит-гроссулярового ряда и из промежуточных изоморфных смесей с малыми примесями молекул других разновидностей гранатов (Кашкай, 1965). Окраска их зависит от вхождения в решетку одновременно FeO и Fe_2O_3 , что подтверждается данными спектрофотометрических исследований, проведенных одним из нас (Т. С. Мамедовым) в Институте кристаллографии АН СССР под руководством С. В. Грум-Гржимайло. Независимо от состава и цвета кристаллы гранатов не изменяют внешнюю габитусную форму, встречаясь, в основном в виде {110}, {211} и их комбинаций.

Детальные морфологические исследования внутренних зон роста, химические и спектральные анализы позволяют установить изменение габитусных форм граната от {110} и {211} путем различия степени их развития и комбинаций, обусловленных пересыщением и скоростью роста кристаллов.

Как известно, при неравномерном охлаждении системы, кристаллизация минералов сопровождается захватом их малых количеств маточного раствора газа и твердых включений. Поэтому, как справедливо отмечает Н. П. Ермаков (1957), о том, что исследование этих факторов может быть тонким геологическим свидетелем былых процессов минералообразования.

Для выяснения условий образования гранатов из Дашкесанского железорудного месторождения нами в микротермической лаборатории Московского Государственного университета им. М. И. Ломоносова изучались газово-жидкие включения с проведением термометрических исследований (методом гомогенизации и декрепитации). Были установлены многочисленные включения, в основном, минералообразующих растворов, а также частично газов и минеральных частиц в кристаллах граната, распределенных неравномерно в различных кристаллах. Обычно размеры их не превышают 30–40 μ , лишь отдельные первично-вторичные плоские включения в залеченных трещинах достигают 0,3–0,5 мм.

Морфологические особенности газово-жидких включений

В гранатах Дашиесанского месторождения выделяются первичные и первично-вторичные включения.

Первичные включения наиболее широко распространены в полизональных кристаллах, где они образуют длинные цепочки, расположенные параллельно зонам роста. В отдельных случаях они встречаются в виде одиночных или составляют небольшие группы, которые расположены без определенных закономерностей.

Первично-вторичные включения различаются следующими двумя морфологическими формами:

а) наиболее часто встречающиеся включения трубчатой формы с соотношением длины к ширине от 5:1 до 20:1. Как правило, они вытянуты вдоль зон роста кристаллов;

б) обычные включения неправильной формы с причудливыми очертаниями. Края подобных включений неровные, причем с многочисленными "аппендиксами".

Многочисленные тонкие трещины в кристаллах граната залечены путем дендритного застывания, сопровождающегося образованием многочисленных плоских включений. Эти включения характеризуются причудливыми очертаниями и часто представляют собой систему более или менее крупных вакуолей, сообщающихся между собой тонкими каналами. При этом в каждом отдельном "расширении" включения могут содержаться собственные газовые пузырьки. Включения в таких залеченных трещинах нередко сопровождаются ореолом более мелких расщупрованных включений. Для многих первично-вторичных включений характерна скульптурная поверхность стенок вакуоли.

Фазовое состояние и состав включений

Все наблюдавшиеся нами включения в кристаллах граната могут быть отнесены к жидким. При этом, среди них различаются такие разновидности, как Ж>Г; Ж>Г+К; Ж>К; К>Ж+Г; К>Ж (Ж—жидкость, Г—газ, К—кристаллы).

Первичные и первично-вторичные включения четко отличаются друг от друга по фазовому составу. Причем первичные включения разделяются на три группы: 1) двухфазовые газово-жидкие; 2) многофазовые газово-жидкие; 3) многофазовые жидкые включения.

Включения первой группы встречаются чаще и образуют обычно цепочки вдоль зон роста кристаллов граната. В большинстве случаев вакуоли заполняются жидкостью на 75—80 %. В то же время отмечаются значительные колебания в соотношении газ : жидкость во включениях, расположенных в смежных зонах роста, что является отражением температурных флюктуаций в процессе образования кристаллов.



Рис. 1

вакуоли вдоль зон роста кристаллов граната. В большинстве случаев вакуоли заполняются жидкостью на 75—80 %. В то же время отмечаются значительные колебания в соотношении газ : жидкость во включениях, расположенных в смежных зонах роста, что является отражением температурных флюктуаций в процессе образования кристаллов.

Включения второй группы наблюдаются сравнительно редко. Соотношение газ : жидкость в них, примерно то же, что и во включениях первой группы. До 5—10 % объема подобных включений занимают твердые фазы. Как правило, эти твердые фазы представлены мелкими кристалликами и зернами. Размеры их настолько малы, что не позволяют хотя бы ориентировочно установить название минерала. Укажем лишь, что в большинстве случаев во включениях второй группы они прозрачные и анизотропные. Причем температуры растворения их находятся в интервале 280—480°. Реже наблюдаются включения рудных минералов (рис. 1).

Включения третьей группы интересны тем, что в них полностью отсутствует газовая фаза при наличии в жидкой фазе 4—5 минералов-узников. Суммарный объем твердых фаз меняется в различных включениях от 1—2 до 25—30 %.

Первично-вторичные включения в залеченных трещинах гранатов по составу сходны с первичными включениями. Среди них можно было бы выделить те же три группы. Однако четкое разграничение этих групп затруднительно, так как большая часть включений относится к расщупрованным. Поэтому и соотношение фаз в них крайне изменчиво. В результате расщупровывания крупных включений образуются как чисто жидкие, так и существенно газовые включения. Наряду с ними имеет место расщупровывание включений, в которых твердая фаза слагает до 70—80 % объема этих включений. При этом все включения встречаются в непосредственной близости друг от друга. По результатам замеров относительного объема фаз в 120 расщупрованных включениях газ одной залеченной трещины (данные замеров сведены к рис. 2) нами вычислены, их средний фазовый состав Ж : Г : К = 65,2 : 20,3 : 14,5. С определенной долей условности можно утверждать, что во включениях растворов, залечивших трещины граната, при условии сохранения первичного фазового состава, соотношение фаз должно быть близко к вычисленному.

Минералы-узники в первично-вторичных включениях аналогичны минералам-узникам первичных. В то же время они достигают более крупных размеров и более пригодны для кристаллооптических исследований. Поэтому нами приводится сводное описание минералов-узников в многофазовых включениях без генетического разделения последних.

Минералы-узники многофазовых включений

Изучение минералов-узников газово-жидких включений представляет несомненный интерес с точки зрения определения химизма минералообразующих растворов. Многообразие твердых фаз во вклю-

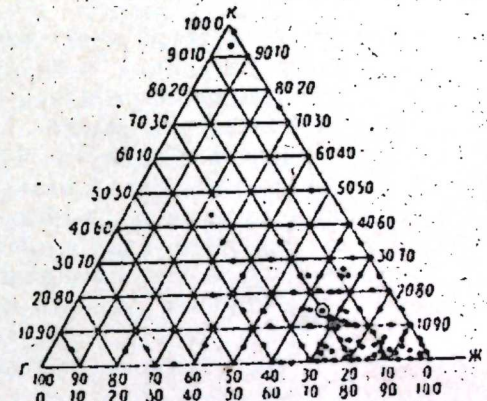


Рис. 2. Диаграмма соотношения фаз в расщупрованных первично-вторичных включениях в залеченных трещинах кристаллов граната из Дашиесана (по 120 замерам). Точками показаны соотношения фаз в отдельных включениях, кружком — среднее соотношение фаз.

чениях кварца, топаза и флюорита из хрусталеносных пегматитов отмечалось Н. П. Ермаковым (1950, 1957), В. А. Калюжным (1958), Ф. П. Мельниковым (1965), Ю. В. Ляховым (1966) и др. Эти авторы приводят результаты кристалломорфологического, кристаллооптического и рентгеноструктурного исследований минералов-узников. При этом требуется трудоемкая работа, а именно, извлечение минералов-узников из вакуоли включения, к тому же кристаллики должны быть достаточно крупными.

Незначительные размеры как самих газово-жидких включений, так и минералов-узников в гранатах Дашкесанского месторождения позволили нам провести лишь кристаллооптическое изучение минералов-узников. Для анизотропных минералов качественно определялась величина двупреломления по их интерференционной окраске. Такое определение может быть только сугубо приблизительным, так как нельзя точно измерить толщину минерала-узника. Важной константой явились углы погасания анизотропных минералов. Кристаллики сравнительно больших размеров удавалось просмотреть в сходящемся свете и определить их осность, оптический знак и угол $2v$. Непрозрачные минералы изучались в отраженном свете. Однако отсутствие полированных поверхностей на них позволило лишь приблизительно определить их цвет. Наряду с этими исследованиями при нагревании включений в термокамере нами определялись температуры растворения минералов-узников.

Среди газово-жидких включений нами установлено 25 различных минералов-узников. Из них 15 характеризуются ниже, а 10 трудно поддается описанию.

Точно установлены следующие 7 минералов-узников.

1. Кальцит представлен бесцветными ромбоэдрическими кристаллами, иногда с искривленными гранями. Показатели преломления высокие; но несколько ниже, чем у граната. Отличается высоким двупреломлением, даже мелкие зерна имеют высокие интерференционные окраски III—IV порядков. Минерал одноосный, отрицательный. Температура растворения 290—310°C.

2. Эпидот образует хорошо ограниченные таблитчатые кристаллы или мелкозернистые агрегаты зеленоватого цвета. Показатели преломления высокие. Интерференционная окраска супернормальная. Минерал слабо плеохроирует в желтовато-зеленых тонах. Угол погасания до 3—5°. Минерал двухосный, оптически отрицательный, $2v$ большой. Температура растворения минерала 350—380°C.

3. Пироксен моноклинный широко распространен во включениях граната. Представлен таблитчатыми или призматическими кристаллами зеленоватого цвета. Показатели преломления близки к гранату. Интерференционные окраски 1 порядка. Слабо плеохроирует. Угол погасания 40—45°. Двухосный, положительный имеет большой угол оптических осей. Температура растворения 380—400°C.

4. Амфибол встречается в виде призматических и игольчатых кристаллов зеленого цвета. Показатели преломления несколько меньше граната. Двупреломление относительно невысокое. Обладает характерным плеохроизмом. Угол погасания 9—12°. Минерал двухосный, оптически отрицательный. Угол оптических осей небольшой. Растворяется в жидкой фазе при 370—400°C.

5. Гематит образует таблитчатые или пластинчатые кристаллы гексагонального облика или неправильной формы чешуйки. Обладает

характерным кровяно-красным интерференционным цветом. При нагревании до 500°C не растворяется.

6. Магнетит встречается в виде неправильной формы зерен, часто имеет изометрический облик. В отдельных случаях наблюдаются скелетные кристаллы в виде крестообразной формы (рис. 1). Магнитен. При нагревании не растворяется.

7. Пирит кубического облика часто нарастает на стенках вакуоли. В отраженном свете желтоватый. При нагревании до 500°C не растворяется.

Для остальных минералов установлены следующие кристаллооптические и физико-химические свойства, что позволяет говорить об их специфике; но они все еще недостаточны для однозначного решения об отнесении их к той или иной группе минералов. Тем не менее считаем, что и эти данные представляют определенный интерес.

Минерал 8 образует неправильные округлые, слегка "корродированные" бесцветные зерна. Показатель преломления его несколько выше, чем у жидкой фазы включений и значительно ниже, чем у граната. Растворяется довольно быстро при температурах 180—200°C.

Минерал 9 образует мелкие кристаллики октаэдрического габитуса. В отдельных кристаллах видны плохо развитые и не диагностируемые дополнительные грани. Иногда встречается в виде округлых, как бы оплавленных зерен. Показатели преломления выше жидкости и значительно ниже, чем у граната. Температура растворения 140—160°C.

Минерал 10 встречается в виде таблитчатых и призматических кристаллов, предположительно тетрагональной сингонии. Бесцветен. Показатели преломления значительно выше, чем у жидкости и несколько ниже, чем у граната. В разрезах параллельных плоскости оптических осей интерференционные окраски низкие. Угасание прямое. Минерал одноосный, отрицательный. Температура растворения 340°C.

Минерал 11 представлен мелкими бесцветными игольчатыми кристаллами, образующими иногда друзы нарастания на стенках вакуоли. Показатели преломления высокие. Интерференционная окраска 1 порядка. Угол погасания 20—22°, двухосный. Растворяется при 450°C.

Минерал 12 довольно часто встречается во включениях в виде характерных почковидных мелкозернистых агрегатов. Бесцветный показатель преломления значительно выше, чем у граната. Интерференционная окраска 1 порядка. Температура растворения 110—130°C.

Минерал 13 бесцветный; пластинчатые зерна, часто удлиненные, но с плохо выраженным гранями. Показатели преломления невысокие, двупреломление слабое, интерференционная окраска серая 1 порядка. Угол погасания вдоль удлинения 30°.

Минерал 14 представлен мелкими ромбовидными кристалликами желтого цвета. При нагревании до 500°C не растворяется.

Минерал 15 редкий в первично-вторичных включениях. В отраженном свете серый. Образует характерные почковидные агрегаты. При нагревании до 500°C не растворяется.

Помимо описанных минералов-узников во включениях встречается большое число чрезвычайно мелких кристаллических зернышек неопределенного очертания, но они не поддаются описанию.

Таким образом, изучение морфологических особенностей фазового состояния и состава включений в гранатах Дашкесанского месторождения позволяет сделать вывод о том, что они образовались из гидротермальных растворов, минеральная концентрация которых была, по-видимому, высокая, о чем свидетельствует обилие твердых кристаллических фаз во включениях.

Микротермометрические исследования газово-жидких включений

Определение минимально-возможной температуры кристаллизации гранатов проводилось методами гомогенизации и декрепитации. Удалось установить, что газово-жидкие включения гомогенизируются в температурном интервале 370–420°C. Кристаллы, тщательно выделенные по цвету и габитусной форме, декрепитировались отдельно (исследовались фракции 0,5–0,25 мм чистого минерала).

Результаты обработки 120 образцов показывают наибольшее количество импульсов в температурном интервале 460–550°C.

Средняя минимально-возможная температура образования кристаллов тетрагон-

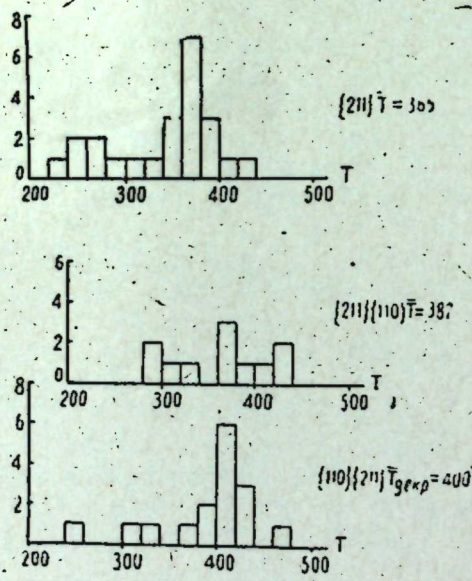


Рис. 3. Гистограммы распределения различных (габитусной формы) гранатов по температурным интервалам декрепитации.

Рис. 4. Кривые сопоставления температур декрепитации различных габитусных форм гранатов: I—{211}; II—{211}{110}; III—{110}{211}

триоктаэдрического габитуса (24 образца) 365°C; для кристаллов, состоящих из комбинаций {211} и {110} при доминирующем значении первого (12 образцов)—382°C, а кристаллы с простыми формами {110} и {211}, где преобладающее значение имеет {110} (16 образцов) показывают температуру 400°C (рис. 3).

На рис. 4 показаны кривые сопоставления температур декрепитации трех образцов (№№ 3/10; 3/54; 3/223), кристаллы которых состоят из простых форм {211}; {211} + {110} и {110} + {211}.

Различие в температурах образования наблюдается не только для кристаллов граната с различной граний морфологией, но и для разноокрашенных разностей.

Средняя минимальная температура образования граната зеленого цвета (45 образцов) определена в температурном интервале 360–380°C, а для кристаллов бурого цвета (54 образца) в интервале 400–420°C. На рис. 5 показана гистограмма распределения гранатов различного цвета по температурным интервалам декрепитации, а на рис. 6 даны кривые сопоставления температур декрепитации двух образцов различного цвета.

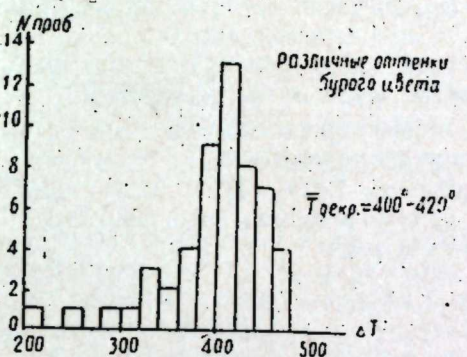
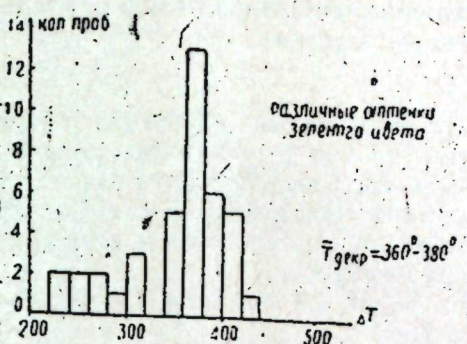


Рис. 5. Гистограммы распределения различных цветов гранатов по температурным интервалам декрепитации.

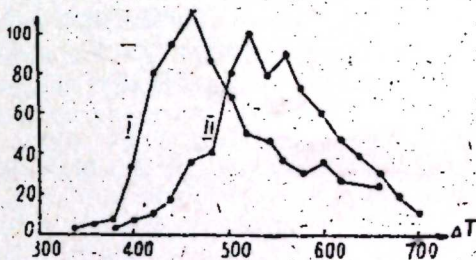


Рис. 6. Кривые сопоставления температур декрепитации различных цветов: I—светлые (оттенки зеленых); II—темные (оттенки бурых).

Выводы

1. В кристаллах граната из Дашкесанского месторождения присутствуют как первичные, так и вторичные газово-жидкие включения.
2. Минералообразующий раствор был высококонцентрированным.
3. Средняя минимальная температура образования кристаллов граната Дашкесанского месторождения варьирует в интервале 360–420°C. Причем для зеленых гранатов в интервале 320–380°C, для бурых—400–420°C; для форм {211}—365°C; {211} + {110}—382°C. {110} + {211}—400°C.
4. Гранаты Дашкесанского железорудного месторождения являются продуктами высокотемпературного гидротермального процесса.

ЛИТЕРАТУРА

1. Ермаков Н. П. Исследование минералообразующих растворов: Изд-во Харьковск. ун-та, 1950.
2. Ермаков Н. П. Включения маточных растворов в минералах и их значение для теории и практики. Труды ВНИИП, т. 1, вып. 2, 1957.
3. Кацкая М. А. Петрология и металлогения Дашкесана и других железорудных месторождений Азербайджана. Изд. "Недра", 1965.
4. Калюжный В. А. К изучению минералов-узников многофазовых включений. Минерал. сб. Львовск. геол. об-ва, № 2, 1958.
5. Ляхов Ю. В. Минеральный состав многофазовых включений в марналах из пегматитов Волыни. Сб. исследований минералообразующих растворов, 1966.
6. Мельников Ф. П. Условия формирования пегматитовых тел Центрально-Казахстанского месторождения (по включениям минералообразующих растворов). Автореф. канд. дисс., 1965.

Институт геологии

Поступило 5. X 1967

Дашкәсән мә'дәниинин гранат кристалларындакы
микрогалыгларын тәдгиги

ХУЛАСӘ

Дашкәсән мә'дәни гранатларынын әмәләкәлмә шәраитини айдынлаштырмаг мәгсәди илә термометрик тәдгигат йолу илә (номокенләшdirмә вә декрептләшdirмә үсуллары) онлардакы газ-мәһлүл галыглары өјрәнилмишdir. Бу галыгларын мұхтәлиф морфология хүсусијәтләре малик олмасы вә мәнишәчә илkin төрәмәлиji мүәjjәнләшdirилмишdir. Галыгларын фаза нисбәти ашағыдақы кимидир:

$M > K$; $M > G + K$; $M > M + G$; $K > M$ (M —мәһлүл, G —газ, K —кристал).

Бу галыгларын дахилиндә 25 минерал-узник мүәjjән олунмушдур ки, бунлардан 15-и мәгаләдә характеристика едилмишdir.

Тәдгигатлara әсасланараг, Дашкәсән мә'дәниинин гранатлары йүксек концентрасијалы һидротермал мәһлүлүн мәһсүлу несаб едилir.

Гранатларын минимал (мұмкүн олан) кристаллашма температурұ 370—420°C-дир. {211} набитуслу кристаллар үчүн минимал температур 365°C, {221}, {110} комбинацијалыларынки 382°C, {110} {211} комбинацијалы кристаллар үчүн 400°C, яшил рәңкеләрлерини 360—380°C, ғонур рәңкеләр үчүн исә 400—420°C-дир.

Ч. М. ҚУСЕЈНОВ, С. Р. РӘНИМОВ

МИНЕРАЛ КҮБРӘЛӘР ФОНУНДАН АСЫЛЫ ОЛАРАГ
СК СТИМУЛЈАТОРУНУН ПАМБЫГ БИТКИСИНИН
МӘҢСУЛДАРЛЫГЫНА ТӘ'СИРИ

Партия вә һөкүмәтимиз коммунизмий мадди-техники базасынын жарадылмасында мүһүм амил олан үмуми мәһсүл боллуғуну тә'мин етмәк, әһалинин кәнд тәсәррүфаты мәһсүлдарына вә сәнајенин хаммала олан тәләбинин өдәнилмәсін гарышыла ғојмушдур.

Бу гәрарын Јеринә յетирилмәсіндә әсас васитә минерал күбрәләрле жанаши кәнд тәсәррүфаты биткиләрі мәһсүлдарлығынын йүксәлділмәсінә тә'сир едән жеңи нәв узви күбрәләрин тәтбиғидир.

Азәрбајчан ССР-ин мұхтәлиф торпаг вә иглім шәраитинде апарылмыш тәдгигат ишләри нәтижесіндә мә'лум олмушдур ки, нефт вә кимja сәнајеси туллантыларынан алынмыш жеңи нәв стимулјатор (СК) кәнд тәсәррүфаты биткиләринин мәһсүлдарлығыны әһәмиијәтли дәрәчәдә артырыр.

1964—1965-чи илләрдә минерал күбрәләр фонундан асылы олараг СК стимулјаторунун памбыг биткисинин бөјүмә вә инкишафына тә'сирини өзәрәмәк мәгсәди илә чөл тәчрүбәләри апарылмышдыр.

Чөл тәчрүбәләри Илич рајонунун гәдимдән суварылан ачыг шабалыды, Имишли рајонунун гәдимдән суварылан боз-чәмән вә Учар рајонунун боз-чәмән торпаглары шәраитинде ғојулмушдур.

Чөл тәчрүбәләри дөрд тәккарда ғојулмагла, бөлкүләрин саһеси 100 m^2 олмушдур.

Тәчрүбәләримиздә минерал күбрәләрин $N_{90}P_{90}$, $N_{90}P_{90}K_{60}$, $N_{180}P_{180}$, $N_{180}P_{180}K_{60}$ вә $N_{180}P_{180}K_{90}$ фонларында hekтара 200 г несабы илә СК стимулјаторунун мә'дән күбрәси илә гарышдырылыб верилмәсінин памбыг биткисинин мәһсүлдарлығына тә'сири өјрәнилмишdir. СК стимулјатор фосфор (суперфосфат) күбрәси илә гарышдырылыбы памбыг биткисинин гөнчәләмәсі фазасында торпага верилмишdir.

Тәчрүбә заманы Илич вә Учар рајонлары шәраитинде 2421, Имишли рајону шәраитинде исә 108-Ф памбыг сортлары тәдгиг едилмишdir.

Тәчрүбә саһеләриндә тәтбиғ едилмиш агротехники тәдбиrlәр Јерли агротехники гајдалар әсасында апарылмышдыр.

Фосфорун (суперфосфатын) 40—45%, калиумун (калиум-хlorид) 50%-и әсас шум алтына, фосфор вә азотун 10—15%-и әкин вахты тохумла бирликдә, фосфор, азот вә калиум күбрәләринин иллик нор-

масынын галмыш һиссәси векетасија дөврүндэ элавә јемләмә (үч дәфә) күбрәси шәклиндә верилмишdir.

СК стимулатору исә вериләчк 200 г су илә ики литрә чатдырылараг, фосфор күбрәснә гарыштырылыбы биткиләрин гөнчәләнмәсі фазасында торпағын 10—15 см дәріндиңиңи верилмишdir.

СК стимулаторунун памбыг биткисинин бөjумә вә ишкишафына тә'сирини өjрәнмәк мәгсәди илә векетасија дөврүндә феноложи мушаһидәләр апарылараг, биткинин бою өлчүлмүш, колда гәнчә, чичәк вә гозаларын мигдары һесабланыштыр.

Апарылмыш икииллик тәдгигат нәтичәсіндә мүэjjән едилшишdirки, минерал күбрәләри дозалары йүксәлдикчә СК-ның тә'сири нәтичәсіндә памбыг биткисинин боју вә колда меjвә органларының мигдары даһа да артыр. Мәсәлән, $N_{90}P_{90}$, $N_{90}P_{90}K_{60}$, $N_{90}P_{90}K_{90}$, $N_{180}P_{180}$, $N_{180}P_{180}K_{60}$ вә $N_{180}P_{180}K_{90}$ фонларында гектара 200 г несабы илә СК стимулатору вердикдә, Илич районунун гәдимдән суварылан ачыг шабалыды торлаглары шәрәнтиндә (25 сентябрь 1964 -чу ил) мұвағиғ фонлара нисбәтән памбыг биткисинин боју 8, 10, 14, 15, 15 см, колда гозаларын мигдары исә 5, 6, 5, 7, 8, 7 әдәд артмышдыр. 1966-чы илдә aparылмыш феноложи мүшәнидәләрдән алымыш нәтичәләр 1964-чү илдәки нәтичәләри бир даһа тәсслиг елир.

Имишли районунун гэдимдэн суварылан боз-чэмэн вэ Учар районунуу боз-чэмэн торпаглары шәраптингэ дә буна бәнзэр иәтичәләр алынышдыр.

Минерал күбрәләрин дозаларынан асылы олараг, СК стимулјаторунун памбыг биткисинин мәһсүлдарлығына тә'сирини ёjrәнмәк мәгсәди илә мүнтәзәм олараг мәһсүл жырылыш вә һесабаты апарылыштыр. Мәһсүлүн жыгым иәтичәләри ашағыдақы чәлвәлде верилмишилдир.

Чәдвәлдән көрүндүү кими, гектара 200 г СК стимулаторуну мәдән күбрәси илә гарыштырыб торпага вердиктә Илич районунун гәдимдән суварылан ачыг-шабалыды торпаглары шәрантиндә памбыг биткисинин мәһсүлдарлығы (ики илдә орта несабла) $N_{40}P_{90}$ фонуна нисбәтән 4,7 *сент/га* (18%), $N_{90}P_{90}K_{60}$ фонуна нисбәтән—7,1 *сент/га* (25%), $N_{90}P_{90}K_{60}$ фонуна нисбәтән—6,9 *сент/га* (25%), $N_{180}P_{180}$ фонуна нисбәтән—8,0 *сент/га* (26%), $N_{180}P_{180}K_{60}$ фонуна нисбәтән—11,0 *сент/га* (31%), $N_{180}P_{180}K_{90}$ фонуна нисбәтән 9,8 *сент/га* (30%) артмашылды.

Бу кими ганунаујғунлуг Имишли рајонунун гәдимдән суварылан боз-чәмән, вә Учар рајонунун боз-чәмән торпаглары шәраитинде гојулмуш тәчрүбәләрдә дә алымышдыр. Эн чох мәһсүл артымы Илич рајонунун гәдимдән суварылан ачыг шабалыды торпаглары шәраитинде $N_{180}P_{180}K_{60}$, Имишли рајонунун гәдимдән суварылан боз-чәмән вә Учар рајонунун боз-чәмән торпаглары шәраитинде $N_{180}P_{180}K_{90}$ фоиларында гектара 200 г несабы илә СК стимулјатору верилмиш варианtlарда алымышдыр. Мұвағиғ торпаг шәраитинде памбығ биткисинин мәһсүлдарлығы (икى илдә орта несабла) һәр гектардан 11,0 сант вә ja 31%, 9,0 сант вә ja 31%, 7,9 сант вә ja 31% артмышдыр.

Апарталмыш тәдгигат нәтичесинде айдын олур ки, 1ектара 200 га несабилә СК стимулаторунук мәдән күбрәси илә гарыштырыб торпаға верилмәсін тәсәррүфатлар үчүн рентабелли олмагла иғтисади әһәмијәттә маликдир.

СК стимулаторунун памбыг биткисинде гуру маддәнин мигдарына, үмуми азот вә фосфорун топламасына тәсирин өткөрмөк мәг-седи илә тәһлил үчүн битки нұмұнәләри котирулады.

Битки нұмұнәләри тәһилилі нәтижесіндегі мәлум олмушадур ки, торпаг-иглим шәрдаптандын асылы олмајараг минерал күбрәләриң дозалары жүксөлдикчә, СК стимулаторуның тә'сирі нәтижесіндегі биткідегі

гуру маддэнийн мигдары 12,9-дан 56,6 г-а гэдэр, үмуми азот 0,50%-дэн 1,23%-э гэдэр, фосфор 0,20%-дэн 0,45%-э гэдэр артыр.

Векетасија дөврүндэ (биткиләрин чичәкләмәси фазасында) торпакын 0—20 вә 20—40 см дәриилийндән көтүрүлмүш торлаг нүмүнәләриниң тәһлили иәтичесиндә алыныш рәгемләр көстәрир ки. СК сти-

Минерал құбрәләрни фонундан асылы оларғ СК стимулјаторуны памбығ биткисинин мәһсүлдарлығына (иши илдә орта һесабла, *сент/га*) тә'сирі

Тәрүбәнниң схеми	Илич рајонунун гәдимдән суварылган ачыг шабалды тортаглары шәрәнтиндә			Имишли рајонунун гәдимдән суварылган боз-чәмән торлаглары шәрәнтиндә			Үмар рајонунун боз-чәмән торлаглары шәрәнтиндә		
	орталық сулдарлыг, сант/га	артым		орталық сулдарлыг, сант/га	артым		орталық сулдарлыг, сант/га	артым	
		сант	%-лә		сант	%-лә		сант	%-лә
Контрол (күбрәсиз)	19,4	—	—	15,4	—	—	13,2	—	—
$N_{90}P_{90}$	26,4	—	—	22,3	—	—	19,8	—	—
$N_{90}P_{90} + 200 \text{ г/га СК}$ мәдән күбрәсін гарышығы илә	31,1	4,7	18	26,2	3,9	17	23,6	3,8	20
$N_{90}P_{90}K_{90}$	29,0	—	—	24,5	—	—	21,6	—	—
$N_{90}P_{90}K_{90} + 200 \text{ г/га СК}$ мәдән күбрәсін илә гарышығ	35,1	7,1	25	30,4	5,9	24	26,6	5,0	23
$N_{90}P_{90}K_{90}$	27,5	—	—	24,2	—	—	21,6	—	—
$N_{90}P_{90}K_{90} + 200 \text{ г/га СК}$ мәдән күбрәсін илә гарышығ	34,5	7,0	-25	29,1	4,9	20	26,4	4,8	22
$N_{180}P_{180}$	30,8	—	—	25,2	—	—	22,3	—	—
$N_{180}P_{180} + 200 \text{ г/га СК}$ мәдән күбрәсін илә гарышығ	38,7	7,9	26	31,4	6,2	25	27,6	5,3	24
$N_{180}P_{180}K_{90}$	34,6	—	—	28,1	—	—	24,5	—	—
$N_{180}P_{180}K_{90} + 200 \text{ г/га СК}$ мәдән күбрәсін илә гарышығ	45,6	11,0	30	36,2	8,1	2,9	31,1	6,6	26
$N_{180}P_{180}K_{90}$	33,0	—	—	28,7	—	—	25,5	—	—
$N_{180}P_{180}K_{90} + 200 \text{ г/га СК}$ мәдән күбрәсін илә гарышығ	42,8	9,8	30	37,7	9,0	31	33,4	7,9	31

$$1964 \quad P = 1,96; \quad E = 0,69 \quad P = 2,40; \quad E = 0,72 \quad P = 2,68; \quad E = 0,65 \\ 1965 \quad P = 2,46; \quad E = 0,76 \quad P = 2,97; \quad E = 0,75 \quad P = 2,78; \quad E = 0,63$$

мулжаторунун тә'сири нәтичәсіндә торпагда әсас гида маддәләрінин мигдары артмагла, битки тәрәфиндән асан мәнимсәнилә биләчек гида маддәләрінин мигдары торпаг мәһілулиңда хејли артмагла, онлардың биткійә дахил олмасы хејли сүр'этләнір. СК стимулжаторунун бу тә'сири минерал күбрәләрін йүксәк дозалары фонунда даға йүксәк олур.

Азәрбајҹан ССР-ин эсас памбыгчылыг зоналарында чөл шәраитинде минерал күбрәләр фонундан асылы олараг СК стимулјаторунун мә’дән күбрәләри илә гарышдырылыб верилмәсинин памбыг биткисини

мәйсүлдарлығына тә'сирини өјрәнмәк мәгседилә апарылмыш тәчрублардан ашағыдақы нәтичеләр алымышдыры.

1. Інектара 200 г СК стимулаторуны мәдән күбрәси илә гарыштырыб биткиләрин генчәләнмәсі фазасында минерал күбрәләрин мұхтәлиф дозалары фонунда торпага вердиктә:

а) торпаг вә иглим шәрәнтиндә асылы олараг памбыг биткисинин бою 8-дән 20 см-ә гәдәр, колда гозаларын мигдары. 4-дән 8 әдәдә гәдәр артыр;

б) Илич районунун гәдимдән суварылан ачыг шабалыды торпаглары шәрәнтиндә 4,7-дән 11,0 сент-ә гәдәр (18—31%), Имшили районунун гәдимдән суварылан боз-чәмән торпаглары шәрәнтиндә 3,9-дән 9,0 сент-ә гәдәр (27—31%) вә Учар районунун боз-чәмән торпаглары шәрәнтиндә исә 3,8-дән 7,9 сент-ә гәдәр (20—31%). Іүксәлмишdir;

в) памбыг биткисинде гуру маддәнин, үмуми азот вә фосфорун мигдары әһәмијәтли дәрәчәдә артмышдыр;

г) торпагда гида маддәләрин мигдары хејли артмагла, торпаг мәнлууида битки тәрәфиндән мәнимсәнилә биләчәк гида маддәләринин мигдары хејли чохалыр.

Торпагшұнаслығ вә Агрокимдә Институту.

Алынмышдыр 11.1.1966

Д. М. Гусейнов, С. Р. Рагимов

Влияние стимулятора СК на урожай хлопчатника в зависимости от фона минеральных удобрений

РЕЗЮМЕ

Полевые опыты заложены на давно орошаемых светло-каштановых почвах Ильичевского, сероземно-луговых почвах Имешлинского и сероземно-луговых почвах Уджарского районов Азербайджанской ССР.

Нами изучалось действие стимулятора СК на высоких фонах минеральных удобрений на рост, развитие и урожайность хлопчатника.

Полевые опыты ставились в четырехкратной повторности. Площадь учетных делянок составила 100 м².

Азот, фосфор и калий вносились в виде аммиачной селитры, сульфата и хлористого калия из расчета: азот и фосфор 80—180 кг/га, калий—60 и 90 кг/га действующего начала.

Стимулятор СК вносился в количестве 200 г/га в период бутонизации растений,

Опыты показали, что внесение стимулятора СК на фоне высоких доз в смеси с минеральными удобрениями способствует росту и развитию растений хлопчатника по сравнению с фоном.

Внесение стимулятора СК в количестве 200 г/га в смеси с минеральными удобрениями увеличивает урожайность хлопчатника в различных почвенно-климатических условиях от 3,8 до 11,0 ц/га или 17—31% по сравнению с фоном.

АГРОХИМИЯ

С. А. АЛИЕВ

ФОРМЫ ОРГАНО-МИНЕРАЛЬНЫХ СОЕДИНЕНИЙ В ОСНОВНЫХ ТИПАХ ПОЧВ АЗЕРБАЙДЖАНА

(Представлено академиком АН Азербайджанской ССР Д. М. Гусейновым)

В составе почв гумус не является самостоятельным чисто органическим образованием, обособленным от минеральной части почв, а представляет анионную часть сложных и разнообразных органо-минеральных соединений, которые составляют наиболее специфическую часть почв и во многом определяют их генетические особенности и свойства.

В связи с этим нашей задачей являлось изучение в основных типах почв Азербайджана состава гумуса по формам их связи с минеральными веществами.

С этой целью определение состава гумуса проводили по полной схеме И. В. Тюрина [2] с некоторыми изменениями, внесенными В. В. Пономаревой [1].

Неотъемлемой частью этих исследований должно быть фракционирование гуминовых кислот из различных почв методом электрофореза на бумаге.

При электрофорезе гуминовые кислоты передвигались от старта в сторону анода, на форограммах при дневном свете обнаружены две зоны: первая (зона А), образуемая фракцией вещества, остающейся на старте; вторая (зона Б), образуемая подвижной фракцией, имеет буро-желтый цвет и располагается на некотором расстоянии от старта.

Под ультрафиолетовым светом непосредственно за зоной Б проявляется третья зона (В), флуоресцирующая зеленовато-желтым светом. Выявленные различия в характере распределения веществ по зонам наглядно иллюстрируются кривыми, записанными при помощи денситометра (рисунок).

Данные таблицы показывают, что в горно-луговых почвах при высоком содержании гумуса отмечается сравнительно низкое содержание гуминовых кислот, которое уступает количеству фульвокислот; соотношение между гуминовыми кислотами и фульвокислотами становится меньше единицы.

В горно-луговых почвах отмечается высокое содержание фракций гуминовых кислот, связанных Fe (гуматы Fe) и свободных гуминовых кислот. Фульвокислоты также преимущественно представлены агрессивными фракциями, связанными с Fe (фульваты Fe).

Преобладающий фульватный состав гумуса этих почв, по-видимому, обусловлен интенсивным новообразованием гумусовых веществ, наличием большой массы растительных остатков, а также преобладанием гидролитического распада гумусовых веществ вследствие высокого увлажнения и отсутствия периодов иссушения.

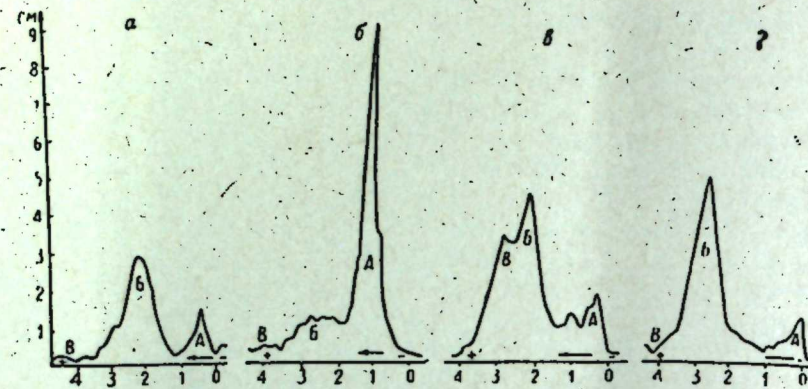


Рис. Характер распределения гуминовых кислот на фореграммах (кривые записаны при помощи денситометра).

Почва: а — горно-луговая; б — горный чернозем; в — темно-каштановая; г — серозем.

Наличие в горно-луговых почвах новообразованных гуминовых кислот подтверждается тем, что на фореграммах наблюдается передвижение гуминовой кислоты и преобладание в ней отрицательно заряженной подвижной фракции, расположенной в зоне Б.

Таким образом, в горно-луговых почвах гуматно-фульватный состав гумуса представлен слабоконденсированными и подвижными формами гуматов Fe и свободных гуминовых кислот, агрессивными подвижными формами фульватов Fe.

В горных черноземах наблюдается высокое содержание гумуса и в его составе конденсированных гуминовых кислот, которые преимущественно устойчиво связаны с кальцием. В сравнительно меньшем количестве представлены фульвокислоты неагressивными фракциями, связанными с кальцием (фульваты кальция).

В горной черноземной почве гуминовые кислоты отличаются высокой конденсированностью ароматического ядра и обладает слабой подвижностью, большая часть этих кислот остается на старте (зона А), только незначительная часть передвигается в сторону анода.

Можно резюмировать, что в горных черноземах состав гумуса гуматный, связанный прочно с кальцием; гуминовые кислоты сложные, высококонденсированные, будучи связаны с кальцием обладают большой устойчивостью; фульвокислоты преимущественно представлены подвижными формами (фульваты кальция).

В коричневой послелесной почве в составе гумуса фульвокислоты преобладают над гуминовыми кислотами (т. е. гуматно-фульватный); гуминовые кислоты отличаются меньшей устойчивостью, преимущественно связаны с R_2O_3 (глиной) и в меньшей степени с кальцием. Фульвокислоты представлены подвижными фульватами железа и частично связаны с R_2O_3 (в основном с глиной).

В темно-каштановых почвах количество гуминовых кислот возрастает и часто преобладает над фульвокислотами (т. е. фульватно-гуматный). В составе гумуса гуминовые кислоты преимущественно связаны с кальцием, и в меньшей степени с R_2O_3 (глиной).

Состав гумуса по формам его связи с минеральными веществами в основных типах почв Азербайджана
(в процентах к общему органическому С)

№ п/п	Почва	Гуминовые кислоты			Фульвокислоты			C _{org}									
		Фракции			Фракции												
		1	2	3	1	2	3										
1	Горно-луговая	0—20	9,82	5,75	2,68	8,29	3,59	20,45	32,13	7,27	5,25	12,14	8,63	8,84	41,98	0,8	20,14
2	Горный чернозем	-	5,24	3,04	2,44	2,16	26,69	14,37	43,02	3,00	3,79	12,98	7,17	3,27	30,01	1,4	24,94
3	Коричневая послелесная	-	4,15	2,42	2,03	2,14	13,84	11,37	27,25	6,54	4,48	10,91	8,24	5,92	35,99	0,8	34,32
4	Темно-каштановая	-	4,22	2,46	2,70	3,41	16,22	9,88	29,41	4,93	6,59	8,55	6,29	3,41	29,57	1,0	38,23
5	Луговая сазовая	-	6,94	4,04	4,02	7,20	12,31	9,95	9,46	7,82	4,60	4,58	6,29	6,49	29,78	1,0	36,74
6	Серозем	-	1,47	0,86	3,38	4,88	9,07	4,53	18,48	8,90	3,14	17,90	10,00	2,76	42,70	0,5	35,51

В темно-каштановой почве наблюдается более интенсивное передвижение гуминовых кислот к аноду (чем в горных черноземах), т. е. они отличаются менее конденсированным ароматическим ядром, уменьшается количество остающейся на старте фракции (зона А) и существенно возрастает количество подвижной фракции (зона Б).

В сероземах и луговых почвах содержание гуминовых кислот еще более низкое при одновременном несколько высоком содержании фульвокислот (т. е. состав гумуса гуматно-фульватный). Гуминовые кислоты обладают слабой конденсированностью сеток ароматического углерода, что объясняется энергичной деятельностью микроорганизмов, способствующих интенсивному разложению гумуса и накоплению в его составе новообразованных гуминовых кислот с недостаточно выраженным ароматическим ядром. На фореграммах фракция гуминовых кислот в зоне А почти совсем исчезает и одновременно резко преобладают подвижные (зона Б) и флуоресцирующие (зона В) фракции.

В сероземах и луговых почвах возрастает количество подвижных гуминовых кислот, связанных с R_2O_3 (предположительно с Fe_2O_3) несколько уменьшается фракция, связанная с кальцием. По сравнению с предыдущими почвами слабоконденсированные гуматы, связанные с кальцием, более подвижны. Фульвокислоты представлены наиболее подвижными формами (фульватами кальция).

В луговой почве о процессе гумификации огромной массы растительных остатков в почве накапливается большое количество новообразованных гуминовых веществ, в составе гумуса по сравнению с сероземами возрастает содержание гуминовых кислот.

Различия в составе гумуса и формах его связи с минеральными веществами определяются комплексом условий почвообразования — характером растительного покрова, деятельностью микроорганизмов, вызывающих распад исходных органических остатков и синтез гуминовых веществ, а также гидротермическими условиями, формами коры выветривания и физико-химическими свойствами почвы.

ЛИТЕРАТУРА

1. Пономарева В. В. К методике изучения состава гумуса по схеме И. В. Тюрина. «Почвоведение», № 8, 1957.
2. Тюрина И. В. Из результатов работ по изучению состава гумуса в почвах СССР. «Пробл. сов. почвоведения». Сб. 11, АН СССР, И.-Л., 1940.

Институт почвоведения и агрономии

Поступило 16. XII 1966

С. Э. Элиев

Азәрбајҹаның әсас торпаг типләриндә үзви миңәрәл бирләшмәләрин формалары

ХУЛАСӘ

Азәрбајҹаның әсас торпаг типләриндә һумус тәркибинин минерал маддәләрлә әлагәли формалары тәдгиг едилир.

Даг-чәмән торпагларында јүксәк мигдарда һумусун олмасына баһмајараг, зәиф сыхлашдырылыш һумин туршуларынын мигдары фулвотуршуларын мигдарына нисбәтән аздыр.

Даг гараторпагларында јүксәк мигдарда һумусун олмасы вә онун тәркибиндәки сыхлашдырылыш һумин туршуларынын әсас е'тибарилә калсиумла мөһкәм әлагәли бирләшмә յаратмасы мүшәнидә едилир. Фулвотуршулар әсас е'тибарилә һәрәкәтли олмајан фраксијалардан тәшкил олумушшур (калсиум фулватлардан).

Мешә алтындан чыхмыш гәһвәји торпаг һумусунун тәркибиндә фулвотуршулар һумин туршуларындан үстүн јер тутур. Һумин туршулары әсас е'тибарилә килләрлә әлагәјә кирәрәк зәиф давамлы бирләшмәләр յаратмагла фәргләнир. Фулвотуршуларын әсас е'тибарилә дәмир фулватлардан ибарәт олмасына баһмајараг бә'зән килләрлә бирләшмәләр յарадыр.

Түнд шабалыды торпагларда һумин туршусунун мигдары артараг, эксэр һалда фулвотуршуларын мигдарындан артыг олур. Һумин туршулары әсас е'тибарилә калсиумла әлагә յарадыр.

Боз вә чәмән торпагларында һумин туршуларынын мигдары даһа аз олмагла, фулвотуршуларын мигдары бир гәдәр артыг олур. Бу торпагларда һәрәкәтдә олан һумин туршуларынын мигдары артмагла, калсиумла әлагәли фраксијаларын мигдары бир гәдәр азалыр. Фулвотуршулар ән чох һәрәкәтли формалардан тәшкил олумушшур (калсиум фулватлардан).

БИОЛОГИЯ

З. А. АХУНДОВ, Т. А. ЗЕЈНАЛОВ

ИШЫГЫН ИПӘК ГУРДУ КӘПӘНӘЛИНИН ТОХУМ
ДҮЗМӘСИНӘ ВӘ ТОХУМУН КЕЙФИЙӘТИНӘ ТӘ'СИРИ

(Азәрбајчан ССР ЕА академики И. К. Абдуллаев тәгдим етмишdir).

Жүксәк барама мәңсулу әлдә етмәк үчүн ән башлыча шәртләрдән бири дә тохумдан ипәк гурдунын күтләви сурәтдә чыхышыны әлдә етмәкди. Чүнки белә олдугда гурдлар бәрабәр инкишаф еди, жүксәк вә аз зәһмәт тәләб едән мәңсул үчүн шәрайт йарапыш олур. Назырда ипәк гурдунын дирилмәси (тохумдан чыхмасы) бир нечә күн давам еди. Бу, эсасен ондан ирәли кәлир ки, тохумлар яшча бәрабәр олмур, даһа доғрусы кәпәнәкләр тохумун һамысыны бир вахтда төкүб гуртартмыр. Ади налда кәпәнәк бәдәниндә олан тохуму (500—800 әдәд) 3—4 күн әрзиндә дүзүб гуртартыр. Бунун 80—85% биринчи күн әрзиндә, галанлары исә сонракы қүнләр әрзиндә дүзүлүр. Биринчи күн әрзиндә дүзүлән тохумун эксәрийәти saat 12-дән 15-ә вә 21-дән 3-э гәдәр олан мүддәтләре дүшүр. Она көрә дә тохумлар яшча гејри-бәрабәр олур вә гурдлар да тохумдан мұхтәлиф вахтларда чыхыр.

1959-чу илдә Өзбәкистан ССР-дә апарылан тәдгигатлар нәтичәсindә харичдән кәтирилмис гренада рүшәмин ялныз ики инкишаф мәрһеләсі (А, Б) мүәյҗән едилмишdir. Бу исә гурдларын тохумдан 2 күн әрзиндә тамамилә чыхыб гуртартасыны тә'мин етмишdir. Белә гурдлар јемләмә дөврүндә бәрабәр инкишаф едәрәк, барама сарымаг үчүн шаха 2 күн әрзиндә чыхыб гуртартышдыр. Лакин Өзбәкистан ССР-ин барама тохуму заводларында олан гренада да исә 4 инкишаф мәрһеләсі олмушdur, бу исә гурдуни дирилмәсінин, јемләнмәсінин вә барама сарымы мүддәтләрнин узанмасына сәбәб олур [4]. Она көрә дә инкишафча бәрабәр гурдлар әлдә етмәк үчүн назырда ССРИ-дә кәпәнәлин 1-чи күн әрзиндә дүздүү тохумдан истифадә етмәк мәсләһәт көрүлүр. Тәчрүбәләр нәтичәсindә мүәйҗән едилмишdir ки, кәпәнәк тәрәфиндән биринчи күн әрзиндә дүзүлән тохум инкишафча бәрабәр олмагла, яшама габилийәти вә мәңсулдарлығына көрә дә сонракы қүнләрдә төкүлән тохумдан даһа яхшы олур [3, 6]. Биринчи күн дүзүлән тохумун һәр гутусундан 89,7, иккىнчи күнүн тохумундан исә ялныз 76,7 кг барама мәңсулу алышындыр [4]. Лакин гејд етмәк лазымдыр ки, биринчи күнүн тохумундан истифадә етмәк тәклифи милжонларла кәпәнәлин гыса мүддәт әрзиндә бир торбачыгдан башгасына көчүрүлмәсі кими зәһмәт тәләб едән бир процессин әмәлә кәлмәсінә сәбәб олур, кәпәнәкләр үзәриндә апарылачаг микроскоп мүајинәсінин мүреккәб-

ләшдирир, нәһајәт, кәпәнәкләр тәрәфиндән биринчи күндән сонракы мүддәтлә вериләчек 15—20% тохумун итмәсінә сәбәб олур. Она көрә дә гарышда дуран ән вачиб мәсәлә кәпәнәкләрин тохумдүзмә сүр'етини аргырааг, онларын бүтүн тохумларыны 1 күн—24 saat әрзиндә төкүб гуртартасына наил олмагдыр. Кәпәнәjin тохумтөкмә сүр'етине мұхтәлиф амилләр тә'сир еди.

М. И. Слоним көстәрмишdir ки, сүн'и сурәтдә кәпәнәкләrin тохум дүзмәjә башламасыны кецикдирдикдә тохумдүзмә просеси сүр'етләнир [4].

Азәрбајчан ЕТИ Институтунда апарылан тәчрүбәләрдән аждын олмушdur ки, кәпәнәкләrin чүтләшмә мүддәти дә тохум төкмә сүр'етине тә'сир көстәрир. Белә ки, чүтләшмиш налда 4—6 saat галан кәпәнәкләр 2 saat галмыш кәпәнәкләrә нисбәтән биринчи күн орта несабла 17,2% чох тохум төкмүшдүр [3].

Тохум төкмә вахты истилик амилди дә тохумун дүзүлмәсінә вә онун кејфијјетине мүәйҗән тә'сир көстәрир, она көрә дә бу дөвр үчүн оптималь истилик—25—26° мәсләһәт көрүлүр.

Ишыг да мүһитин ән әсас амилләриндән олмагла, ипәк гурдунун биолокијасында чох бөйүк рол оюнајыр. Кәпәнәкләrin барамадан, гурдларын тохумдан чыхма вахты, чинсләrin волтинизми вә с. ишыгла сыйын сурәтдә әлагәдәрдүр. Барамалар кечәләр сүн'и сурәтдә ишыг-ландырылдыгда кәпәнәкләr барамадан ади налда олдуғу кими, ялныз сәһәр јох, бүтүн күн әрзиндә чыхыр [5], тохумларын ингубасија (дирилдилмә) дөврүндә исә кечәләр ишыг, күндүзләр исә гаранлыг шәрайт ярататында гурдларын тохумдан чыхма вахтыны сәһәрдән күнүн башга вахтларына кечирмәк олар [4].

Ишыгын кәпәнәкләrin тохумдүзмә просесинә тә'сириниң нағында да чох аз мигдарда олса, бә'зи фикирләр вардыр. И. А. Шербаков [7] вә П. А. Ковалјов [4] көстәрилрәр ки, кәпәнәкләr гаранлыг шәрайтингдә даһа сүр'етлә тохум төкәрәк, ону бир бәрабәрдә дүзүр.

Көрүндүjү кими, бу фикирләр ишыг вә ja гаранлыг шәрайтингдә сүр'етине конкрет тә'сириниң нағында фикир мүбадиләси јүрут-мәк үчүн кифајет дејил вә онларда һеч бир көстәричи јохдур.

Буна көрә дә биз 1964-чү илдән башлајараг Азәрбајчан Елми-Тәдигигат Ипәкчилик Институтунда ишыгын, истилигин вә чүтләшмә мүддәттүн кәпәнәкләrin тохумдүзмә сүр'етине вә тохумун кејфијјетине тә'сириниң өлрәнмәк үчүн кениш вә дәгиг тәчрүбәләр апармаға башладыг. Мәгаләдә ялныз ишыг амилинин чүтләшмә мүддәти 6 saat вә 25—26° истиликтә олан тә'сирин барәдә бәйс олунур. Тәчрүбәләр „Азад“ чинсинин кәпәнәкләr үзәриндә апарылышыдыр. Барамадан јини вахтда чыхмаш 400 әдәд диши кәпәнәk 6 saat мүддәттүнде чүтләшдикдән сонра, ајрылараг қағыз гренаж торбачыларына салыныб, ярысы кечә вә күндүз ишыг шәрайтингдә, о бири ярысы исә гаранлыг шәрайтдә, 25—26° истиликтә бир отагда јерләшдирилмисидir.

Ишыг вариантында күндүз тәбици ишыг, кечә исә електрик ишығы олмуш, гаранлыг вариантынын кәпәнәкләr исә хүсуси назырларныш кабиналарда јерләшдирилмисидir. Нәр 3 saatdan бир, күн әрзиндә 8 дәфә 25 әдәд кәпәнәk көтүрүлбү, башга торбаја кечирлимиш вә беләликлә дә, 25 әдәд кәпәнәlin күнүн һәр 3 сааты әрзиндә бурахдыглары тохумун мигдары вә кејфијјети мүәйҗәn едилмишdir. Бу тохумлар јини шәрайтдә ајрыча сахланылараг, сонракы илдә онларын дирилмә фазизи дә тапылышыдыр.

Алынан рәгемләр аждын сурәтдә көстәрир ки, кәпәнәкләr гаранлыг шәрайтдә ишыға нисбәтән үмумијјетлә даһа чох тохум төкүр (1-чи чәдвәл).

1-чи чәдвәлдән көрүнүр ки, бүтүн тәчрүбә илләри әрзиндә кәпәнәк гаранлыгда ишыга нисбәтән даһа чох тохум верир. Орта һесабла бу артым уч ил әрзиндә 66 әдәд вә жаҳуд 10,3% олмушшур. Кәпәнәкләрин мәјиинәси көстәрмишdir ки, ишыгда тохум тәкән кәпәнәкләрин бәдәнләриндә мүәjjән гәдәр тәкүлмәмиш тохум галыр. Гаранлыг шәрант исә кәпәнәкдә тохумун һамысыны дүзмәје мүсбәт реаксија җарадыр.

1-чи чәдвәл

1 кәпәнәк тәрәфиндән тәкүлән тохумун мигдары, әдәлә

Вариантлар	Тәчрүбә илләри			Орта һесабла	Фәрг
	1965	1966	1967		
Ишыг	618	626	677	640	-
Гаранлыг	698	684	736	705	+66

Мараглы вә чох әһәмийјәтли чәһәт буласынададыр ки, гаранлыг шәрантдә кәпәнәкләр вердикләри бүтүн тохумларын орта һесабла (3 илдән орта рәгәм) 98,9%-ни јалныз биринчи күн әрзиндә верир, ишыгда исә кәпәнәкләр һәмин мүддәттә јалныз 81,2%-ни тәкүр (2-чи чәдвәл).

2-чи чәдвәл

Кәпәнәкләрин биринчи күндә вердикләри тохумун мигдары (умуми тохума, көр, %-лә)

Вариантлар	Илләр			Орта һесабла
	1965	1966	1967	
Ишыг	81,4	84,7	77,5	81,2
Гаранлыг	97,9	99,6	99,1	98,9

2-чи чәдвәлдәки рәгәмләрдән айдын сурәтдә көрүнүр ки, гаранлыг шәрант кәпәнәжин тохумвермә сүр'етини әһәмийјәтли дәрәчәдә артырыр. Бу мәсәлә чох կүман ки, иләк гурдуң тарихи инкишафы илә әла-гәдардыр, чүнки иләк гурду вәһши һалда Јашајаркән кәпәнәк өзүнү вә иәслини дүшмәнләрдән горумаг үчүн гаранлыгдан кениш истифадә едирмиш. Бизим әлдә ётдијимиз рәгәмләр көстәрир ки, кәпәнәк гаранлыгда тохуму чох сүр'әтлә дүзүр, 6 saatlyg чүтләшмәдән айрылан кими дәрһал тохум дүзмәје башлајыр вә биринчи үч saat әрзиндә орта һесабла (3 иллик тәчрүбәдән орта рәгәм) 598 әдәд вә ja үмуми верәчәни тохумун 84,7%-ни дүзүр, лакин ишыгда олан кәпәнәк исә һәмин мүддәт әрзиндә јалныз 38 әдәд, жаҳуд үмуми верәчәни тохумун 6%-и гәдәр тохум верир. Гаранлыгда олан кәпәнәкләрин биринчи 6 saatdan соңра күнүн галан 3 saatlyg мүддәтләринин һәрәснәндә үмуми тохумун јалныз 0,2—3,1%-и гәдәр, ишыгда кәпәнәкләр исә 1,6—28,6%-и гәдәр тохум верир. Беләликлә, демәк олар ки, гаранлыгда тәкүлән тохумун 85%-э гәдәри ejni јашлы тохум олдуғу һалда, ишыгда күтләви сурәтдә кедәрәк 3 күн әвәзине 2 күн әрзиндә тамамилә гурттарыр.

3-чү чәдвәлдәки рәгәмләр айдын сурәтдә көстәрир ки, гаранлыгда тәкүлән тохумун јашама габилиjjәти, ишыгда тәкүлән тохума нисбәтән даһа јүксәкдир, дирилмә фази мүтәнасиб олараг 97,8 вә 90,7 олмушшур. Бундан башга вачиб мәсәләләрдән бири гурдларын күтләви дি-

рилмәси мәсәләсидир. Чәдвәлдәки рәгәмләр бир даһа сүбут едир ки, гаранлыгда тәкүлән ejni јашлы тохумлар биринчи күн күтләви сурәтдә чыхыш верир (76,3%) вә дирилмә үмумиijjәтлә 2 күн әрзиндә демәк олар ки, тамамилә гурттарыр, анчаг ишыгда тәкүлән тохумлар үзәр исә гурдлар күтләви сурәтдә (64,5%) икинчи күн чыхыр вә дирилмә 3 күн давам едир.

3-чи чәдвәл

Иләк гурду тохумунун күнләр үзәр дирилмәси, %-лә (1965 вә 1966-чы илләр үзәр орта рәгәмләр)

Вариантлар	Күнләр үзәр дирилмә фази			Чәми
	1 күн	II күн	III күн	
Ишыг	18,0	64,5	8,2	90,7
Гаранлыг	76,3	21,0	0,5	97,8

Гејд. Чары илдә һазырланан тохумун дирилмәси 1968-чи илнә Јазында олдуғу үчүн чәдвәлдә анчаг 1965 вә 1966-чы илләрин рәгәми верилир.

Нәһәјэт, гејд етмәк лазымдыр ки, гаранлыг шәрант тохумларын мајаланмасына да мүсбәт тә'сир көстәрир. Белә ки, гаранлыгда тәкүлән тохумун тәркибиндә орта һесабла (1966—1967) 0,3% мајаланмамыш тохум олдуғу һалда, ишыгда мајаланмамыш тохумун мигдары 2,3 дәфә чох, јәни 0,7% олмушшур.

Жұхарыда Јазыланлары нәзәрә алараг, тұт иләк гурду тохумчулуғы илә мәшғул олан вә ja җемләмәси үчүн тохум һазырлајан тәсәрүфаттара мәсләһәт көрүлүр ки, кәпәнәкләр тохум тәкән вахты кечә вә күндүз гаранлыг шәрант җарадылмалыдыр. Белә шәранти гара қағыздан гренаж торбачылары һазырламағла да җаратмаг олар. Бу үсул ишыгда апарылан папилонажа нисбәтән ашағыдақы мәнфәети верир:

1. Кәпәнәкләрин бурахдығы тохумун мигдары 10,3% артыр.
2. Кәпәнәкләрин тохумдүзмә сүр'ети әһәмийјәтли дәрәчәдә артыр вә онлар верәчәкләри бүтүн тохумун 98,9%-ни биринчи күн, 84,7%-ни исә биринчи 3 saat әрзиндә тәкүр.
3. Гаранлыгда тәкүлән тохумун дирилмә фази (97,8%) ишыгда тәкүлән тохума (90,7%) нисбәтән 7,1% јүксәк олмагла, дирилмә күтләви сурәтдә кедәрәк 3 күн әвәзине 2 күн әрзиндә тамамилә гурттарыр.
4. Гаранлыгда тәкүлән тохумун тәркибиндә мајаланмамыш тохумун мигдары (0,3%) ишыга нисбәтән 2,3 дәфә аз олур.
5. Тәкрап җемләмәләр үчүн тохум һазырлајаркән бу үсулдан истифадә етдијдә һәм јүксәк дирилмә фази әлдә едилер, һәм дә тохум иткиси кәсқин сурәтдә азалыр.

Әдәбијлат

1. Гершензон С. М., Михайлов Е. Н., Ковалев П. А., Суханов А. А., Рождественский К. М. Экология и выкормка шелкопрядов. Сельхозгиз, 1959.
2. Гусейнов Р. А., Ахундов З. А. Влияние длительности спаривания бабочек тутового шелкопряда на грену. Журн. "Социалистическое сельское хозяйство. Азербайджана", № 3, 1960. 3. Гусейнов Р. А., Ахундов З. А. О качестве греңи различных дней откладки. Труды АзНИИ шелководства, том IV, 1963. 4. Ковалев П. А. Племенное дело в шелководстве. Сельхозгиз, 1960. 5. Крайневцов Ю. И. Роль светового фактора в биологии тутового шелкопряда. Автореферат кандидатской диссертации. Ташкент, 1955. 6. Максудова З. Опыт приготовления греңи тутового шелкопряда супточной откладки. Изд. "Шелк", № 2, 1966. 7. Шербаков И. А. Технология гренажного производства. Сельхозгиз, 1952.

Влияние светового фактора на откладку и
качество грены утowego шелкопряда

РЕЗЮМЕ

Большое значение для получения высоких урожаев коконов имеет дружное оживление гусениц. Это обеспечивает полное оживление грены за короткий срок (2 дня), дружность выкормки и завивки коконов. Дружное оживление зависит от однородности зародышей в грене. Проведенное в Узбекской ССР перед инкубацией скальпирование грены, завезенной из Китая в 1959 г., показало наличие всего лишь двух стадий развития зародыша (*A* и *B*). Такая грана полностью ожила за 2 дня, гусеницы на выкормках росли дружно и восхождение их на коконники завершилось в течение 2 дней. А грана, произведенная на заводах Узбекской ССР, имеет 4 стадии, что вызывает растянутость оживления, выкормки и завивки коконов (П. А. Ковалев, 1960).

Неоднородность зародышей обусловливается скоростью откладки грены; бабочки всю грену (500—800 шт.) откладывают в течение 3—4 суток, из коих 80—85% падает на долю первых суток, причем большей частью за период с 12 до 15 ч и с 21 до 3 ч ночи. Поэтому в настоящее время для достижения однородности рекомендуют использовать грену первого дня откладки. Этот прием в свою очередь связан с технической трудностью пересадки миллионов бабочек из одних гренажных мешочков в другие и потерей 15—20% грены, откладываемой за последующие сутки. Следовательно для получения однородности необходимо разрабатывать такие условия, при которых бабочка могла бы завершить откладку яиц за кратчайший период. На скорость откладки грены оказывают влияния искусственная задержка, продолжительность спаривания бабочек, температура в период откладки и другие факторы.

Свет является одним из основных факторов среды и играет важную роль в биологии шелкопряда. Выход бабочек из коконов, гусениц, из грены, вольтинизм пород — тесно связаны со световым фактором.

Однако мы не располагаем достаточным материалом о конкретном влиянии света на откладку бабочкой грены. Поэтому нами, начиная с 1964 г., были поставлены специальные опыты по изучению влияния света, температуры и продолжительности спаривания бабочек на откладку грены. В данной статье речь будет идти только лишь о влиянии света. Одновременно вышедшие из коконов бабочки-самки породы Азад в количестве 400 штук после 6-часового спаривания и посадки их в изоляционные гренажные мешочки, разделялись на 2 части, одна часть содержалась на свету в круглосуточно освещаемой комнате, а другая в этой же комнате, но в темной камере. Температура в обоих случаях поддерживалась на уровне рекомендуемой — 25—26°. Подсчет отложенной грены проводился через каждые 3 ч на 25 бабочек. В результате установлено, что бабочки, находящиеся в темноте, в среднем за три года откладывают (706 шт.) на 10,3% больше грены, чем бабочки на свету, причем это имело место по всем годам проведения опыта. На свету часть грены остается в овариолах бабочек, что не имеет места в темноте. Интересным является тот факт, что в темноте бабочки 98,9% всей грены откладывают за период первых суток, тогда как за этот период на свету откладывается не более 81,2% грены. Следовательно, темнота стимулирует бабочек полностью откладывать всю грену и резко ускоряет откладку. Естественно, что грана, отложенная в темноте, явля-

ется однородной и она бесспорно обеспечивает дружное оживление. В наших опытах оживляемость грены, отложенной в темноте, составила 97,8% и оживление полностью завершилось за 2 дня, а по грене, отложенной на свету, оживляемость была на 7,1% ниже и оживление длилось 3 дня.

В темноте неоплодотворенной грены оказалось 0,3%, а на свету — 2,3 раза больше, т. е. 0,7%.

Исходя из вышеуказанного, гренажному производству рекомендуется организовать откладку грены в темноте или шить гренажные мешочки из черной бумаги. Рекомендуемый прием гренажа имеет большое значение и при приготовлении грены для повторных выкормок

МЕДИЦИНА

Л. М. ГУСЕЙНОВА

К ВОПРОСУ О ФУНКЦИОНАЛЬНОМ СОСТОЯНИИ
ПАРАЩИТОВИДНЫХ ЖЕЛЕЗ ПРИ РАХИТЕ

(Представлено академиком АН Азербайджанской ССР А. И. Каравым)

Установлено, что околощитовидные железы являются контрольно-измерительным прибором концентрации ионов кальция в крови, детектором любого отклонения от нормы и исполнителем необходимых исправлений. Содержание ионов кальция в плазме в свою очередь является стимулом для функции парашитовидных желез (McLean Franklin C., 1963).

Предполагается, что функция парашитовидных желез заключается в выработке органических комплексов, в присутствии или в соединении с которыми соли кальция могут оказать свое влияние.

Проводились многочисленные исследования функционального состояния парашитовидных желез при рахитическом процессе. Между тем в обширной литературе как отечественной, так и иностранной, работы направлены на изучение тех или иных, отдельно взятых показателей, характеризующих функциональную активность парашитовидных желез, на основании которых представляется трудным иметь определенное суждение о функциональном состоянии парашитовидных желез при рахите в целом.

Erdheim, (1914) впервые обнаружил у детей-рахитиков и при спонтанном рахите крыс гиперплазию околощитовидных желез, которую связывал с относительной недостаточностью эпителиальных телец.

Ряд авторов (А. Ф. Тур, 1945, М. С. Маслов, 1952 и др.) гипертрофию данных желез связывает с усиленной деятельностью эпителиальных телец, другие же, Е. М. Лепский, 1941, Ritter, Minor, Rappehimer—нарастанием числа клеток (цит. по Г. А. Хайну, 1936).

Однако Г. А. Хайн (1936) при экспериментальном рахите у крыс установила, что размеры околощитовидных желез находятся в зависимости от количества кальция в корме.

Erdheim и Janage, 1914 при рахите, сопровождающемся детской тетанией, находили кровоизлияния в парашитовидных железах. Другие исследователи (Schmorl и Schmidt, 1929) не подтвердили этого.

До настоящего времени гипофосфотемия при рахите всеми признается за постоянный симптом рахита.

В отношении содержания общего кальция в крови при рахитическом процессе, существуют разноречивые мнения. Одни авторы (Г. А. Хайн, 1936, Д. Д. Лебедев, 1941, С. О. Дулицкий, 1950; Э. И. Фридман, 1951, и др.) при рахитическом процессе указывают на понижение содержания кальция крови. В то время, как по данным И. А. Шабада, 1916, Е. М. Лепского, 1941; Ю. Ф. Домбровской, 1948; М. С. Маслова, 1952; Г. Г. Шунейко, 1953; Р. Э. Мазо 1959, Lapatsanis P. D. Mc. Laren Todd R., 1963 и др. при заболевании рахитом установлено нормальное или незначительное понижение кальция крови.

Согласно данных польских авторов (Halikowski B. Ochimowska-Dilaj M., Foltyń H., Kurowska-Taulor A., 1962) при рахите у детей наблюдается гиперкальциемия.

Что касается концентрации щелочной фосфатазы сыворотки крови, то в литературе приводятся также различные данные (А. А. Юрьева, 1938, М. Б. Коханова, 1952, К. А. Святкина, 1954, Е. В. Пашковский, 1959, А. М. Киркевич, 1955, Л. Е. Пробитова, Wissler, Barnes, Williams и др.), которые указывают, что уровень щелочной фосфатазы в крови при рахите у детей повышается. Другие (Graud, Vincent, Coignet, 1949, Dickschit, Chitre, 1950)—даже при тяжелых формах заболевания нашли нормальное или сниженное содержание щелочной фосфатазы в крови.

Однако А. Ф. Тур, 1945, 1965 и М. Н. Бессонова, 1960 и др. не установили какой-либо закономерности корреляции между изменением активности щелочной фосфатазы и тяжестью заболевания.

Таким образом, представленные данные как отечественных, так и зарубежных авторов о функциональной активности парашитовидных желез при рахитическом процессе противоречивы и требуют дальнейшего изучения.

На основании вышеизложенного мы задались целью изучить функциональную активность парашитовидных желез при рахите у детей и животных.

Функциональное состояние околощитовидных желез изучалось путем определения общего, свободного и связанного кальция, содержания неорганического фосфора, количества щелочной фосфатазы, сыворотки крови и интенсивности выделения кальция с мочой.

Общий кальций крови определяли путем озоления, а связанный—осаждением, свободный—путем вычитания из общего связанного.

Неорганический фосфор крови по методу Самсона, концентрацию щелочной фосфатазы по Г. К. Шлыгину и С. Я. Михлину, а выведение кальция с мочой контролировалось реакцией Сульковича.

Всего под наблюдением находилось 106 детей, больных рахитом. По возрасту дети распределялись следующим образом: от 3 до 6 мес. было 6 детей, от 6 мес. до 1 года—36, от 1 года до 2 лет—50, старше 2 лет—14.

Рахит I степени был у 6 обследованных, II степени—у 71, III степени—у 29.

В результате проведенных исследований нами установлено, что в периоде активных проявлений рахитического процесса у большинства больных с I степенью заболевания наблюдается незначительное понижение неорганического фосфора—4,8–3,3 мг% и небольшое повышение уровня общего кальция крови (12–14 мг%).

В отношении изменения фосфорного и кальциевого обменов при среднетяжелых формах рахита нами констатировано следующее: уровень неорганического фосфора крови в стадии разгара заболевания в огромном большинстве случаев понижается (4,8–2 мг%), а

количество кальциевых солей повышается (12,5—20,5 мг%), лишь в малой части случаев не подвергаются особым изменениям.

Что касается кальциево-фосфорного обмена у рахитических больных с тяжелой формой заболевания, то в большинстве случаев отмечалось выраженное и резкое уменьшение неорганического фосфора (2,0—0,5 мг%) и повышение общего содержания кальция крови.

Как видно из нашего материала, при всех степенях рахита содержание неорганического фосфора крови понижается, в то время как уровень кальция крови повышается. Последнее объясняется вымыванием кальциевых солей из костной ткани. Следует отметить, что наблюдаемая при данном процессе гиперкальциемия происходит за счет нарастания ионизирующего кальция крови.

Содержание щелочной фосфатазы крови в активном периоде рахитического процесса нарастает (305—137 ед. 1 мл.), что совпадает с данными А. Ф. Тура, Ю. Ф. Домбровской, Е. М. Лепского, К. А. Святиной, Г. К. Шлыгина и С. Я. Михлина и др.

Однако нами не установлено строгой закономерности уровня щелочной фосфатазы крови при рахите различной тяжести, что находит свое подтверждение в исследованиях М. Н. Бессоновой, 1960, С. Г. Лазарева, 1964 и др.

Относительно интенсивности выведения кальциевых солей с мочой у рахитических больных, то в периоде активных проявлений рахита интенсивность осадка солей кальция была резко выражена.

Эти явления отмечались в основном при остром и подостром течении рахитического процесса.

Аналогичные результаты получены и при экспериментальном рахите у щенят. Результаты наших исследований как при рахите детей так и у щенят, показывают понижение неорганического фосфора, повышение общего и свободного кальциевых солей в крови и выведение их с мочой, также нарастание активности щелочной фосфатазы крови.

Также следует отметить, что полученные нами данные в основном наблюдались при активном периоде рахита.

При изучении гистологической структуры околощитовидных желез у животных [19] с экспериментальным рахитом нами установлена гиперплазия железистых элементов, резкое разрастание и полнокровие межзубчатой ткани.

Следует отметить, что у животных, где экспериментальный рахит сопровождался тяжелыми тетаническими судорогами (из 57 у 6) были обнаружены атрофия и кровоизлияние околощитовидных желез.

Анализ результатов наших исследований позволяет нам заключить также, что при рахитическом процессе наблюдается гипертрофия околощитовидных желез, которая расценивается как результат усиленной функциональной активности эпителиальных телец.

ЛИТЕРАТУРА

1. Бессонова М. Н. Вопросы охраны материнства и детства, 1960, № 2.
2. Домбровская Ю. Ф. Витамины в педиатрии, 1948. З. Дулицкий С. О. Советская медицина, 1950, № 3. 4. Лепский Е. М. Рахит и тетания рахитиков, 1941.
5. Лебедев Д. Д. Тез. докл. ко 2 Всероссийскому съезду дет. врачей, 1964.
6. Лазарев С. Г. Педиатрия, 1964, № 9. 7. Коханова М. Б. Вопросы охраны материнства и детства, 1952, № 1. 8. Киркевич А. М. Сб. научных работ аспирантов. Центр. ин-т усовершенствования врачей, 1955. 9. Маслов М. С. Учебник детских болезней, 1952. 10. Мазо Р. Э. Основы диагностики и лечения некоторых детских болезней, 1959. 11. Пашковский Е. В. Автобиография. Ташкент, 1954. 12. Пробатова Л. Е. Вопросы педиатрии и охраны материнства и детства 1966, № 2. 13. Святинина К. А. К патогенезу рахита, М., 1954. 14. Тур А. Ф. Рахит, 1945, 1966.
15. Фридман Э. И. Вопросы патологии детства, М., 1951. 16. Хани Г. А. Труды Татарского Научно-исслед. ин-та, 1936, вып. III. 17. Шабад И. А. Минеральный обмен при рахите, 1916. 18. Шуйской Г. Г. Новости медицины, вып. 33, 1953. 19. Шлы-

гин Г. К., Михлин С. Я. Вопросы медицинской химии, 1955, т. 1, вып. 6. 20. Юрьева Л. А. Казанский мед. журнал, 1938, 9, 10. 21. Lapatsanis P. D. Arch. Dis Childh. Mc. Laten Todd R. 1963, 38, 197, 77—79. 22. Halikowski B., Ochimowska-Dillaj M. и др. Рефер. журнал "Биология", раздел V, 1963, № 4. 23. McLean Franklin C. J. Bone and Joint Surg, 1963, A 45, № 6, 1314—1320.

Ин-т эксперим. и клинич. медицины

Поступило 4. V 1967

Л. М. Ысеинова

Рахит хәстәлиги заманы галханвары әтраф вәзиләринин функциял вәзијәти (тәчрүби вә клиник мәлumatлар)

ХУЛАСӘ

Апарылан тәдгигатлар нәтиҗәсендә мәлум олмуштур ки, рахит просесинин актив периоду заманы ганда геңри-үзви фосфорун мигдары артдыры һалда, калсиум дузларының һәчми артыр. Бу да калсиум дузларының сүмүк тохумасындан јујулараг гана кечмәси илә изаһ олунур. Гејд етмәк лазымдыр ки, бу просес һиперкалсијемі жә эсасән ионлашмыш калсиум дузларының һесабына баш верир.

Рахит хәстәлиги дөврүндә ганда гәләви фосфатазаның мигдары артыр (305—137 ваһид мл).

Тәчрүби рахитли һөжүнләрни галханвары әтраф вәзиләринин һистоложу структурунун мүәјинәси вәзин элементләринин һиперплазијасыны, аралыг тохуманың кәсқин дәрәчәдә артмасыны вә долу ганлылығыны көстәрир.

Беләликлә, рахит просеси заманы епителли чисимчикләринин фәалијәттеги артмасы илә әлагәдар олараг, галханвары әтраф вәзиләринин һипертрофијасы мүшаһидә едилир.

ФИЗИОЛОГИЯ

А. И. КАРАЕВ, О. М. ДЖАФАРЛЫ

ИЗМЕНЕНИЕ СВЕТОВОЙ ЧУВСТВИТЕЛЬНОСТИ
У СЕРДЕЧНЫХ БОЛЬНЫХ

Вопрос о влиянии деятельности одного рецептора на деятельность других представляет очень большой интерес как с теоретической, так и с практической точек зрения. Из работ ряда авторов известно, что раздражение одного рецептора влияет на функцию другого рецептора.

При проведении работы по изучению влияния проприоцептивных импульсаций на течение безусловных и условных фотохимических рефлексов обнаружено, что у тех испытуемых, у которых имелось нарушение сердечно-сосудистой системы снижен максимальный уровень световой чувствительности.

В литературе имеются данные о том, что нарушение темновой адаптации, т. е. световой чувствительности, может быть связано как с наличием патологических процессов в самом зрительном анализаторе, так с изменениями всего организма.

Нарушение темновой адаптации наблюдается при болезнях печени, желудочно-кишечного тракта,avitaminозах, диабете, при острых и хронических нефритах, мигрени, энцефалитах и т. д.

Значительно меньшее внимание уделено вопросу об изменениях световой чувствительности у сердечно-сосудистых больных. В 1940 г. А. М. Давыдов изучил состояние световой чувствительности глаз при понижении парциальном давлении кислорода и при физической нагрузке как показатель функционального состояния периферического кровообращения.

В настоящей работе мы изучали состояние световой чувствительности глаз у сердечных больных с поражениями сердечных мышц, клапанов и сосудов.

Методика. Световая чувствительность периферического зрения измерялась при помощи адаптометра Белостоцкого. Перед началом основного исследования испытуемые в течение 10 мин смогут на освещенную поверхность шара (дезадаптация). Яркость стенок шара 2500 апостильсов. Затем свет выключается и в темноте определяется световая чувствительность через интервалы в 5 мин. Световая чувствительность глаза быстро возрастает в темноте, а через 40—50 мин достигает максимума.

В опытах участвовало 28 человек в возрасте от 16 до 45 лет; 14 человек здоровые, 14 человек больные с различными поражениями сердечно-сосудистой системы, из них 9 человек, страдающие стенокардией, 6 — ревмокардитом с различными степенями поражения миокарда и клапанов. С каждым испытуемым проводилось 4 опыта. Полученные данные в лаборатории С. В. Кравкова и П. П. Лазарева показывают, что на уровень чувствительности глаза влияет и время дня, поэтому опыты проводились в одинаковые часы дня. Чувствительность периферического зрения обнаруживает изменения с возрастом. Наблюдения ряда авторов показали, что до 20—30-летнего возраста чувствительность нарастает, затем по мере приближения к старости она снижается. Поэтому сравнивались данные испытуемых одинакового возраста.

Результаты проведенных опытов представлены в таблице

Испытуемые с нару- шением, серд. деятельн., год. рожд.	Максимальный уровень световой чувств. у сердечн. больных в единицах оптической плотн.		Максим. уровень светово- вой чувств. у здоровых испытуем в единиц. оптич. плотности
	в стадии комп.	в стад. декомп.	
Р. Л.—1950	3,8	3,7	4,1
Р. Р.—1950	3,9	3,7	4,1
М. В.—1945	3,6	3,5	4,2
С. В.—1939	3,8	3,7	4,2
Н. Р.—1938	3,7	3,6	4,2
К. Ю.—1939	3,5	3,3	4,2
М. А.—1934	3,6	3,5	4,4
М. Г.—1932	3,7	3,6	4,5
А. М.—1929	3,7	3,5	4,4
Н. М.—1928	3,7	3,6	4,3
Ш. Р.—1928	3,6	3,6	4,3
Б. А.—1925	3,5	3,4	4,2
Р. А.—1925	3,6	3,5	4,2
К. М.—1923	3,7	3,5	4,0
А. М.—1920	3,7	3,6	4,0

Как видно из таблицы, у сердечно-сосудистых больных максимальный уровень световой чувствительности ниже против нормы, которая повышается с улучшением состояния больного.

Приведем еще несколько примеров.

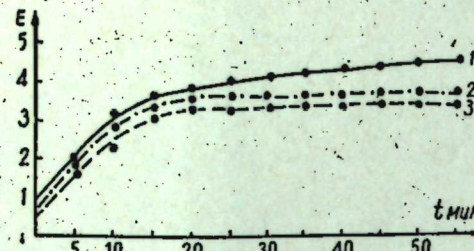
Больной А. М., 38 лет, в 1962 г. перенес инфаркт миокарда. Жалуется на боли в области сердца сжимающего характера, иррадирующего в левую руку, лопатку; часто повторяются приступы стенокардии. Рентгеноскопия: ослаблен тонус сердечной мышцы, гипертрофирован левый желудочек. ЭКГ — изменение миокарда с признаками неполноценности его функции и питания. При аусcultации — тоны приглушены. Д-з: хроническая коронарная недостаточность на фоне перенесенного инфаркта миокарда. Максимальный уровень световой чувствительности после приступа — 3,5 через неделю после приступа — 3 в ед. оптической плотности.

Наши опыты показали, что нарушение сердечной деятельности изменяет максимальный уровень световой чувствительности.

Больная К. Ю. — 27 лет жалуется на боли в области сердца, одышку, в 1964 г. перенесла острый суставной ревматизм. Рентгеноскопия: гипертрофирован левый желудочек сердца, сглажена талия сердца, пульсация учащена. ЭКГ — синусовая тахикардия, изменения миокарда

с гипертрофией левого желудочка. При аускультации — sistолический шум на верхушке. Д-з: ревматическая недостаточность митрального клапана.

Максимальный уровень световой чувствительности в состоянии декомпенсации — 3,3 после лечения 3,5. Полученные данные можно изобразить в виде кривых, где по горизонтальной оси откладывается время пребывания в темноте, а по вертикальной — световая чувствительность в единицах оптической плотности.



1—у здоровых; 2—у сердечных больных с компенсацией; 3 — с декомпенсацией.

ли к выводу, что аноксемия понижает световую чувствительность. Кратковременная дача кислорода восстанавливает световую чувствительность глаза.

Декомпенсированное сердечно-сосудистые больные даже в условиях покоя находятся в состоянии гипоксии. Снижение световой чувствительности у декомпенсированных сердечно-сосудистых больных приходится связывать с недостатком кислорода.

Выводы

1. У больных с нарушением сердечно-сосудистой деятельности снижена световая чувствительность.
2. Максимальная световая чувствительность у декомпенсированных сердечно-сосудистых больных ниже, чем у компенсированных, которая с улучшением состояния больного приближается к норме.
3. В состоянии компенсации снижение чувствительности связано с патологическими импульсами с рецепторов сердечно-сосудистой системы, а в состоянии декомпенсации с недостатком кислорода в клетках головного мозга.
4. Метод зрительной адаптации наряду с объективными клиническими данными может применяться для определения состояния сердечно-сосудистых больных, особенно в тех случаях, когда клиническими исследованиями трудно определить состояние больных.

ЛИТЕРАТУРА

1. Быков К. М. Кора головного мозга и внутренние органы. Медгиз, 1947
2. Быков К. М., Куричи И. Т. Кортико-висцеральные взаимоотношения в норме и в патологии. Клиническая медицина, XXIX, № 9, 1951. 3. Давыдов А. М. Кандидатская дисс. Зрительная адаптация как метод определения функциональной способности сосудистой системы Л., 1940. 4. Куршаков Н. А. Советская медицина, № 3, 1953.
5. Кравков С. В. Глаз и его работа. М.—Л., 1950. 6. Лазарев П. П. Исследования по адаптации, М., 1947. 7. Мищеряков А. В., Ясиновская Ф. П. Грудная жаба и инфаркт миокарда, М., 1959.

Институт физиологии

Поступило 19. IX 1966

А. И. Гараев, О. М. Чәфәрли

Үрәк хәстәләринде ишыға гарышы һәссаслығының дәјишилмәсі

ХУЛАСӘ

Апарылан тәчрүбәләр нәтиҗәсендә үрәк әзәләсийн дамарларының вә ганагларының позғунлуғу олар үрәк хәстәләринде көзүн ишыға гарышы һәссаслығының дәјишилмәсі өјрәнилмишdir. Көзүн ишыға гарышы һәссаслығы Белсстотски адаптометри илә өлчүлүмшүдүр.

Тәчрүбәдә 28 нәфәр иштирак етмишdir: 14 нәфәр сағтам, 14 нәфәр хәстә. Хәстәләрдән 9 нәфәринде дөш инағы олмуш, б 14 нәфәринде исә ревматизм нәтиҗәсендә үрәйин гапаг вә әзәләсийн позғунлуг мушашындә едилмишdir. Тәчрүбәләрнән нәтиҗәси көстәрир ки, үрәк-дамар системинде һәр һансы позғунлуг олар шәхсләрдә хәстәлијин там компенсә едилмиш һалында белә сағтам шәхсләрә иисбәтән көзүн ишыға гарышы һәссаслығы дәрәчәсі азалыр. Бу азалма гән дөвраны системинде позғунлуг әмәлә кәлдикдә даňа айдан көзә чарпыр.

Үрәк хәстәликләрнин компенсә вәзиүәтиндә көзүн ишыға гарышы һәссаслығының азалмасына үрәйин рецепторларындан кәлән потоложи импульсларын нәтиҗәсі кими баҳмаг олар.

Гән дөвраны позғунлуғу олар үрәк хәстәләринде исә көзүн ишыға гарышы һәссаслығының азалмасы көрмә мәркәзинде оксикенин, чатмазлығы илә әлагәдарды.

Көзүн ишыға гарышы һәссаслығының тә'јин едилмәсі објектив вә клиник методларла јанаши, үрәк хәстәликләрнин ашкар едилмәсийнде гијметли метод несаб едилмәлидир. Һәмчини мүәjjән үрәк хәстәликләрнин тә'јининдә објектив вә клиник методлар нәтиҗә вермәдији һалда белә, көзүн ишыға гарышы һәссаслығының тә'јин, едилмәсі эһәмијәтли ола биләр.

Г. А. ДЖИДДИ, О. Ш. ИСМИЗАДЕ

ДРЕВНЕЕ ПОСЕЛЕНИЕ БЛИЗ ГОРОДА ТЕБРИЗА

(Представлено академиком АН Азербайджанской ССР А. А. Ализаде)

В 1960 г. английские археологи производили раскопки на холме, расположенному между Тебризом и оз. Урмия (Резайе) в иранском Азербайджане. О результатах этих раскопок нам известно по статье Чарльза Борнея¹, по книге И. Дибаджа² и по другим сообщениям иранской печати. Чарльз Борней называет этот холм, расположенный на восточной стороне оз. Урмия, Яныгтепе, между тем в иранской литературе И. Дибадж называет его Гаратепе и помещает на юго-западе Тебриза, что вполне согласуется с топографированием Чарльза Борнея. Принимая во внимание то обстоятельство, что И. Дибадж является коренным жителем этих районов, лучше знающим местонахождение памятников и точные их названия, мы считаем, что указанная им Гаратепе более правильно соответствует названию этого памятника, бытующего у местного населения.

Гаратепе (Яныг-тепе) находится в 30 км к юго-западу от Тебриза, близ с. Тазакенд. Как отмечает Ч. Борней, по своим размерам этот холм довольно значительный, длина его 300 м, ширина—200 м и высота около 16,5 м³. Далее он указывает, что этот холм был укреплен массивной стеною толщиной 5 м, построенной из камней и оштукатуренный раствором глины⁴. По сообщению Ч. Борнея, обнаруживались следы пожаров, происходивших, вероятно во время нападения соседних племен, поэтому холму было дано новое название Яныг-тепе (сгоревший холм)⁵. По словам местных жителей, на этом холме был расположен в прошлом храм огнепоклонников⁶. В результате археологических раскопок здесь были выявлены остатки жилищ круглой формы, стены которых сооружены из глинообита и сырцовых кирпичей. В тесте глины прослеживается присутствие просеянного самана. Внешний диаметр жилищ от 6,9 до 4,75 м. Толщина стен около 0,3 м, хо-

¹ C. Bigne. Circular Buildings found at Janik Tepe in north-west Iran. Antiquity, a Quarterly Review of archaeology, 1961, vol. XXXV, № 139.

² اسماعیل دیباچ. راهنمای آثار تاریخی اذربایجان شرقی، تبریز، ۱۳۴۹

³ Ч. Борней. Ук. работа, стр. 237.

⁴ Там же.

⁵ Там же.

⁶ По этому вопросу необходимые сведения нам дал коренной житель указанной местности, тов. М. Э. Манафи.

так они выглядят более массивными (рис. 1). Остатки стен в виде купола закругляются кверху, в направлении к крыше. В центре некоторых домов было найдено основание центрального подпорного столба. Ч. Борней предполагает, что эти дома имели легкие перекрытия и, возможно, куполообразную крышу из сырцовых кирпичей. Пол жилищ глинообитный. На полу расположены воронкообразные ямочки. В стенах некоторых жилищ сохранился дверной проем⁷.

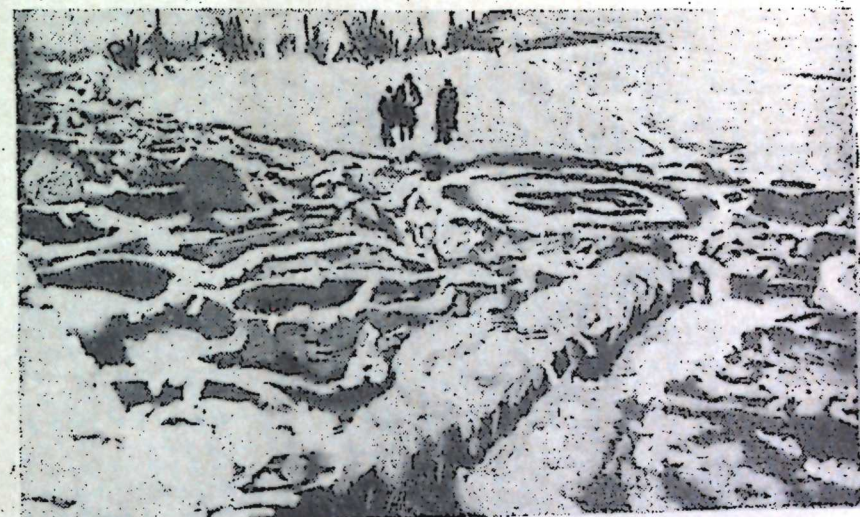


Рис. 1

В процессе раскопок этих жилищ были открыты еще две отдельные постройки, имеющие также круглую форму. Внутреннее пространство одного из них двумя пересекающими друг друга стенами разделяется на четыре части (рис. 2). В центре пола второй постройки на невысокой ступеньке был расположен камень круглой формы. По мнению Ч. Борнея, первая из этих построек использовалась в качестве кладовой для хранения продуктов, а вторая—в качестве мастерской. Он считает, что во второй круглой постройке на камне производилось выжимание сока из фруктов⁸. И. Дибадж считает, что круглые жилища принадлежали кочевникам, жившим здесь в зимний период. Он предполагает, что эти дома имели легкие перекрытия, а круглые стены предназначались для отвода дождевой воды и воды талого снега⁹. Однако по вопросу о принадлежности этих домов к кочевникам нельзя согласиться с мнением И. Дибаджа, потому что к глине сырцовых кирпичей стен указанных жилищ был примешан саман, свидетельствующий об оседлом земледельческом характере занятий местного населения. Кроме того, кладовая хозяйственного назначения и мастерская, открытые около этих жилищ и наличие дверного проема еще раз подтверждают правильность упомянутого факта. Ч. Борней отмечает, что узость входов и то обстоятельство, что уровень пола внутри жилищ был ниже, чем уровень окружающей местности вне домов, дает возможность сказать, что они были запроектированы в одинаковой мере

⁷ Ч. Борней. Ук. работа, стр. 241.

⁸ Там же.

⁹ И. Дибадж. Ук. работа, стр. 35.

как защиты от холода, так и от жары. Вся форма круглых домов подтверждает, что жившие в них люди произошли от кочевых народов¹⁰.

Следует отметить, что известные нам по этнографическим наблюдениям сооружения круглой формы из сырцовых кирпичей до сего времени существуют в фруктовых садах в окрестностях г. Тебриза. Эти дома называются „Хана-баг“ (садовый дом). Хана-баг имеет куполообразное перекрытие, сооруженное из сырцовых кирпичей.

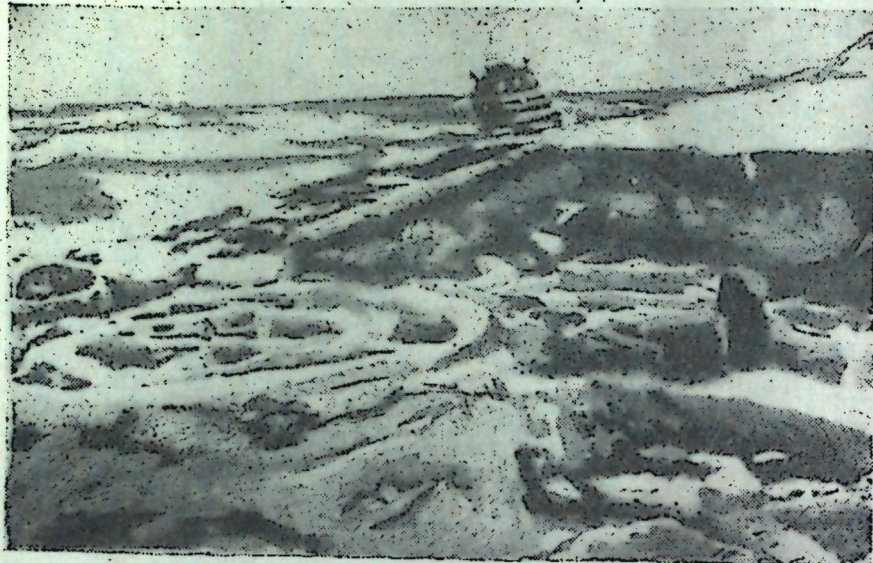


Рис. 2

Во время раскопок в этих домах обнаружены многочисленные ручные мельницы и полированные каменные ступки, несколько кремневых вкладышей серпов и др.¹¹.

Керамический материал Гаратепе представляет собой сосуды разнообразной формы, обычно темного цвета обжига, с богатым украшением на поверхности. Оригинальный керамических сосудов состоит из геометрических фигур, изображений животных и птиц. В результате изучения этих материалов Ч. Борней пришел к выводу, что круглые дома относятся к 2100—1900 гг. д. н. э.¹².

В археологической литературе подобные жилища круглой формы встречаются на Кавказе¹³, Средней Азии¹⁴ и Месопотамии¹⁵. На территории Азербайджанской ССР жилища круглой формы были открыты на холме Кюльтепе (Нах. АССР)¹⁶, Шомутепе (Казахский район) в большом количестве. Эти жилища круглой формы датируются кон-

¹⁰ Ч. Борней. Ук. работа, стр. 241.

¹¹ Там же.

¹² Там же.

¹³ Б. А. Кургин. Урартский „колумбарий“ у подошвы Араката и Куро-Аракский энеолит. ВМГ, т. XIII, 1944. Б. В. Пиотровский. Археология Закавказья. Л., 1949.

¹⁴ И. Н. Хлопин. Раскопки Ялангачтепе и Мулалитепе. ДТММ., Ашхабад, 1962. В. М. Массон. Энеолит южных областей Средней Азии. Археология СССР, вып. 3—8, М.—Л., 1952.

¹⁵ Гордон Чайлд. Древнейший Восток в свете новых раскопок, М., 1956.

¹⁶ О. А. Абдуллаев. Археологические раскопки на холме Кюльтепе. Баку, 1959.

цом энеолита и началом бронзы. По своей форме жилища Гаратепе более близки к аналогичным жилищам на холме Кюльтепе.

Сравнение жилища Гаратепе с аналогичными поселениями дает основание предполагать, что оседлое население этой территории находилось в тесной связи с древними племенами Междуречья Тигра и Ефрата, Средней Азии, в особенности с племенами Кавказа.

Институт истории

Поступило 4. III 1968

Б. Э. Чидди, О. Ш. Исмизада

Тэбриз шәһәри јаҳыныңында ән гәдим јашаыш-јери

ХУЛАСЭ

1960-чы илдә инклис археологлары Тэбриз шәһәринин чәнуб-гәрбиндә, 30 км мәсәфәдә јерләшән Гаратепе (Јаныгтәпә) адлы јердә археологи газынты ишләри апармышлар. Бу газынтылар иәтичесиндә чиј кәрпич вә мәһрә илә тикилмиш даирәви евләр ашкар едилмишdir. Евләrin диаметри 5—6 м, диварын галынығы исә 0,3 м олмушдур. Бурада даирәви формада тикилмиш әрзаг анбары вә е'малатхана да мүәյҗән едилмишdir. Әрзаг анбары бир-бирини кәсән ики дивар васитасилә 4 нисәјә бөлүнмүшдүр. Е'малатхананын ортасында исә даирәви даш олдуғу мүәйҗәнләшdirilmışdir. Мүтәхәссисләр һәмин е'малатханада мејвә ширәси чыхарылдығы иддиасыны ирәли сурурләр. Бу евләр ерамыздан әvvәл 2100—1900-чу илләре аид едилir.

Археологи әдәбијатда бу тип даирәви евләр Бејнәннәһреји, Орта Асија Гафгаз әразисиндән мәлумдур. Тэбриз јаҳыныңындан тапылан даирәви евләр өз аналоги хүсусијәтләrinә көрә Совет Азәрбајчаны әразисиндә, хүсусиля Күлтәпәдә ашкар едилмиш евләрә даһа чох охшардыр.

ТАТБИГИ СЭНЭТ

РАСИМ ЭФЕНДИ

ГУБА РАЙОНУНДАН ТАПЫЛМЫШ БҮРҮНЧ
МАНГАЛ ҺАГГЫНДА

(Азэрбајчан ССР ЕА академики М. А. Усејнов төгдим етмишидир).

Азэрбајчан мэ'тал е'малынын эн гэдим вэтэнләриндэн бири олмасы вэ һазыра гэдэр элйимиздэ бу сэнэтин бир чох орижинал нүүмнэлэрийн галмасына бахмајараг, бэдии сэнэткарлығымызын бу нөвү һэлэдэ дэгиг өјренилмэшиш вэ гаранилыгда галмагждадыр.

Метал сэнэти нүүмнэлэрийнзин бу күнэдэк демэл олар ки, һэр дөврдэн лазыми гэдэр нүүмнэси галмасына бахмајараг, Азэрбајчан тарихиндэ елэ дөврлөр вардыр ки, кэнэрданкэлмэ үнсүрлэрийн нэтичесиндэ јерли эн'энэви бэдии стилии нисбэтэн дэжишмэси бу иши хејли чөтилэшдиршидир.

Азэрбајчан тарихиндэ бэлэ дөврлэрдэн бири XII—XIV əсрлэр сајылыр. Мэ'лум олдуу кими, Азэрбајчаны сэлчугилэри, сонра исэ монголларын ишгалы нэинки иргисади мүнаасибэтлэри дэжишдиршиш, һэтта сэнэт алиминэ бир чох јениликлэр кэтиршид. Бу јениликлэр дүзэлдилэн өшжанын һэм формасында, һэм дэ бэдии тэртибатында өзүү бүрүэ верирди¹.

Бундан сонра биз Орта Асија вэ хүсүсилэ Узаг Шәргдэн кэлмэ мэддэнијјэт өлмэти нүүмнэлэрийн Азэрбајчан бэдии сэнэткарлығында тез-тез тэсадүф едирик.

Стилизэ едилмиш булудлар, мүхтэлиф су биткилэри, өждаха рэсми вэ айры-айры мүчэррэд формаларда чөкилмиш символик манийјэт дашыјан бэзэклэр бундан сонра Азэрбајчан декоратив сэнэти нүүмнэлэрийн айрылмаз бир голуна чеврилир. Гејд етмэл лазымдыр ки, бу јениликлэрэ биз тэк декоратив—тэтбиги сэнэти нүүмнэлэрийнзэдэ јох, бу дөврдэ Тәбриздэ, Әрдәбильдэ, Јаранмыш миннатурлэрдэ дэ раст кэлирик².

Јухарыда гејд етдиклэримизи 1966-чы илин јазында Губа шәһэри этрафында әкин ишлэри заманы көнхэ ағач көтүүн дибиндэн тапылмыш чох орижинал формалы бүрүнч мангаль эҗани шэкилдэ тэсдиг едир³.

¹ Гејд етмэл лазымдыр ки, бу јенилик тэк метал сэнэти нүүмнэлэрийнзэдэ јох, декоратив сэнэтии башга нөвлөрийнде лэ көрүнүр.

² Б. Денике. Искусство Востока, Казань, 1923, с. 78.

³ һазырда бу бүрүнч мангаль рэссам Тогрул Нәриманбәјовун шэхси коллекција-сынададыр.

Һүндүрлүү 30 см, ағзынын даирэсийн мүһити 131 см, диаметри 41 см, յарымшар формасында олан бу бүрүнч мангаль өз орижинал формасы вэ ориентал бэзэклэрлэдиггэти чэлб едир.

Мангальын эн мараглы һиссэсийн онун енли бир гуршаг шэкилиндэхаричэ гатланмыш ағзы тэшкүл едир. Мангальын ағзынын кэнэр һиссэсийн 4 јердэ дилимләнээрэк аյрылмыш вэ үзэри мүхтэлиф орнаментлэр вэ јазы илэ бэзэдилмишдир. Гарыш-гарышыја дурмуш дилимләрин икисиндэ јарымовалшакилли ики гулл бәркидилмишдир. Мангальын ағыз һиссэсийндэки бэзэклэр бэдии хүсүсийтләринэ көрэ ики група: нэбати, вэ һэндэсийн орнаментлэр бэлүнүр.

Нэбати орнаментлэр габын ағыз һиссэсийндэки гарыш-гарышыја дурмуш ики енсиз гуршагларда назик һашијэдэк вэ гуллар бәркидилэн енли дилимләрдэ һэрэсийндэ ики гүббэ формалы һашијэ ичэрийнде һэkk едилмишдир.

Һэндэсийн орнаментлэр габын ағыз һиссэсийн башга јерләриндэ јенэ гарыш-гарышыја дурмуш ики енсиз гуршагларда сэлчуг зэнчирэ адь илэ кениш յајылмыш бэзээ формасында вэ габын ағыз һиссэсийн эн енли дилимләрийн бирийнде һэkk едилмишдир. Ахырынчы бэзэклэр хүсүсилэ диггэти чэлб едир.

22 см узунлуғунда, 5 см енинде олан бу дилимий үзэрийнде мэркэздэ латын г һэрфиинэ бэнзэр орнамент⁴ вэ онун этрафында симметрик шэкилдэ ики бөјүк даирэ тэсвир олунмушдур. Даирэлэрийн һэр бирийн ичэрийнде баш тэрэфлэри гыврым гоч бујнузудэк һацаланмыш ики чарпаз хэтт чөкилмишдир.

Экэр схематик бир формада гарыш-гарышыја дурмуш дөрд гоч бујнузуну өкс едэн бу орижинал бэзэклэрн тарихи иникишаф јолуну излэсэк, онун эн гэдим нүүмнэлэрийн чох узагларда. Алтајда⁵ вэ Орта Асијада⁶ мүхтэлиф дөврлээрдэ յарадылмыш сэнэт эсэрлэрийнде раст кэлирик.

Дамгадэк сахсы, метал вэ с. кечмиш сэнэт нүүмнэлэри үзэрийнде раст кэлэн бу бэзээк, бир чох тэдгигатчыларын⁷ дедијнэ көрэ символик манийјэт дашыјараг, түрк халглары арасында گэлэбэ вэ боллуу тэмсил едирмиш.

Гејд етдијимиз бэзээж Азэрбајчан декоратив сэнэтийн демэл оларки, бир чох нөвлөрийнде раст кэлирик. Бу бэзээк Азэрбајчан халчала-рийнда хүсүсилэ кениш յајылмышдир. Онун эн орижинал нүүмнэлэрийн Губа-Ширван типли халчаларда тез-тез тэсадүф олунур.

Экэр гэдим минарэ адь илэ кениш յајылмыш Губа халчаларында өзүү бэзээр салсаг, бурада арасаңдэ бөјүк һэчмлэ чөкилмиш һэмийн бэзэклэрни ейнисини көрэрик⁸.

Ону да гејд етмэл лазымдыр ки, бизим габын үзэрийнде һэkk олунмуш бу бэзэјин башга јерлээрдэ раст кэлийн һэмийн бэзэклэрдэн фәргләндирэн бэ'зи шартлэри дэ вардыр. Экэр бу бэзээк јухарыда гејд етдијимиз сэнэт нүүмнэлэри үзэрийнде (Алтај, Орта Асија) гуру вэ схематик бир рэсм формасында һэkk олунмушдурса, бизим мангальын штаммийн һэмийн бэзээк онун нисбэтэн иникишаф етмиш елэ бил ки, үзэрийнде һэмийн бэзээк онун нисбэтэн иникишаф етмиш елэ бил ки,

⁴ Азэрбајчан декоратив сэнэтийн бир чох нүүмнэлэри үзэрийнде раст кэлэн халг арасында "гыврым" вэ я "гујрум" адь илэ кениш յајылмыш бу рэсми мэнасы алиманын декоратив сэнэтийнде бу бэзээк кечмишдэ гојуу итни тэмсил етдириршиш.

⁵ М. Грязнов. Древнее искусство Алтая. Л., 1958, с. 46.

⁶ Г. А. Пугаченкова, Л. Н. Ремпел. История искусства Узбекистана. М., 1965, с. 233.

⁷ В. Чепелев. Казахский народный орнамент. М., 1939, с. 5—6; А. Н. Бериньша. Киргизский национальный узор. Л.-Фрунзе, 1948, с. 5.

⁸ Л. А. Каримов. Азэрбајчан халчалы, Бакы-Л., 1961, табло. 43 (1).

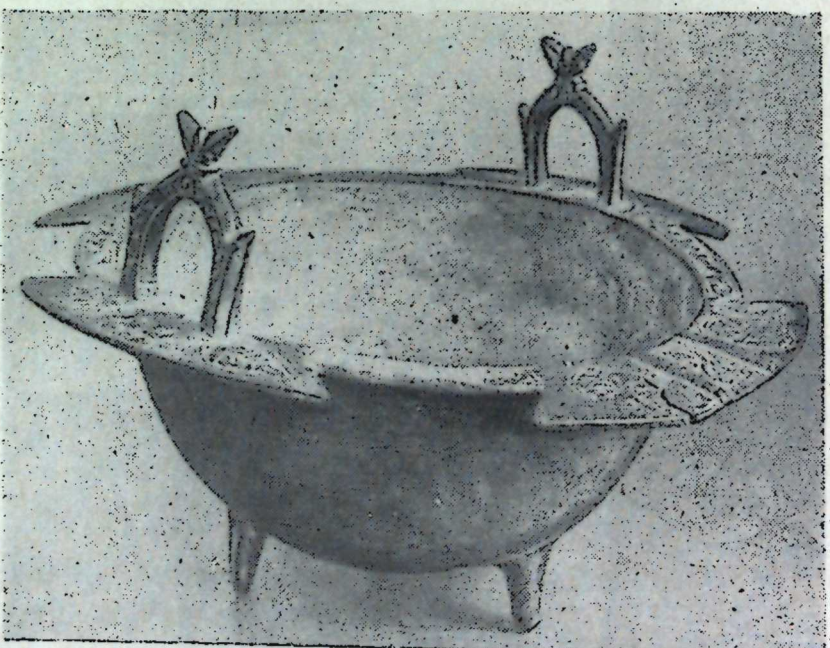
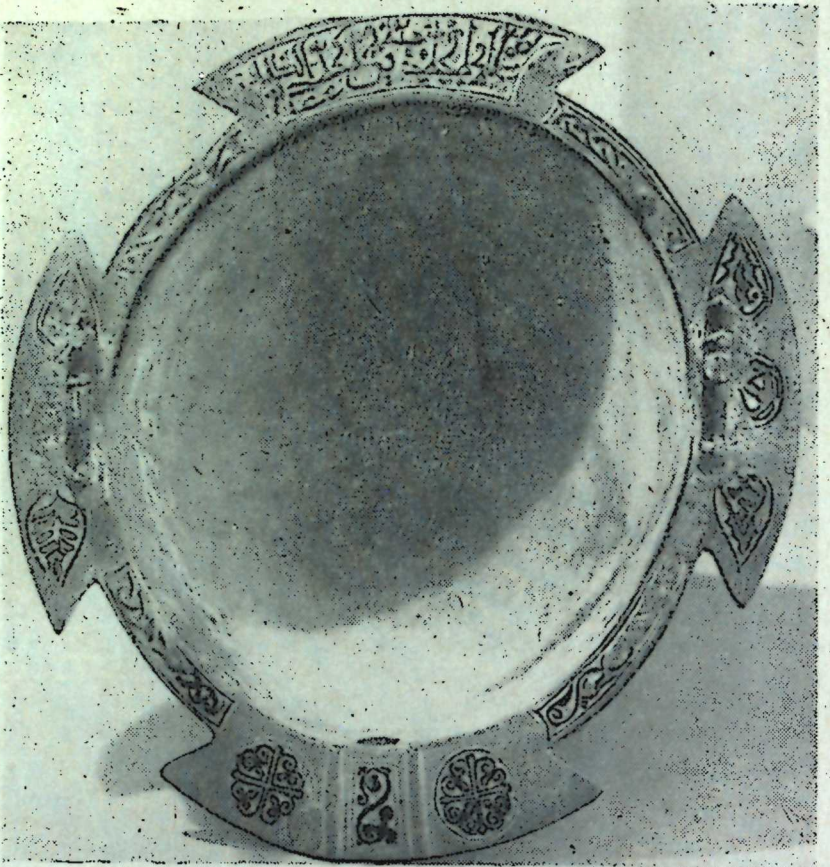


Табл.

чичәкләнмиш бир нөвүдүр. Буну биз тәк бәзәкдә јох, с һәрfinә бән-зэр нахышда вә һәтта мангала һәкк олуимуш күфи јазыларда да һисс едирик⁹.

Мангал үзәриндәки күфи јазылары охумуш тарих елмләри намизәди Мәшәди ханым Немәтова бурада-мискәр Эһмәд иби-Мәһәммәдин иши-дир-сөзләри олдуғуну билдириңицдир.

Бүтүн буйлар мангалаң/үзәриндәки бәзәкләрин гејд етдијимиз ге-ри-абидәләрдәки бәзәкләрдән нисбәтән сонракы дөвләрдә јаранды-ғыны көстәрир¹⁰.

Мангалаң үзәриндәки бәзәкләрин ән гәдим нұмунәләринин белә узаг-ларда раст кәлинмәснә бахмајараг, онун Азәрбајчанда вә јерли сәнәт-карлар тәрәфиндән дүзәлдилмәси шубһесизdir. Ашағыда көстәрилән шәртләр буну тәсдиг едир:

1) мангалаң XIII—XIV әсрләрдә Азәрбајчанда ән чох јајымыш техники үсулда бүтөв бир һалда тәкмә үсулу йәд јарадылмасы;

2) мангалаң үзәриндәки бир чох Азәрбајчан декоратив сәнәти нөв-ләрнәк бәзәкләрлә сыйх әлагәсі¹¹;

3) мангалаң үзәриндәки јазынын епиграфик хүсусијәтләри;

4) бизим мангабәнзәр бир нечә башга габларын да Губа зонасына жаҳын олан әразиләрдән тапылмасы¹².

Бүтүн бу вә с. шәртләр гејд етдијимиз мангалаң XIII—XIV әсрләрдә Азәрбајчанда, өзү дә чох күман ки, Ширван әразисинде вә јерли сәнәт-карлар тәрәфиндән дүзәлдилдијини көстәрир.

Мәмарлыг вә Инчәсәнәт Институту

Алиңмышдыр 29. IV. 1967

Расим Эфенди

О бронзовом мангale, найденном в Кубинском районе Азербайджана

РЕЗЮМЕ

Весной в 1966 г. в Кубинском районе во время земляных работ под старым деревом, на небольшой глубине крестьянами был обнаружен оригинальный по форме и хорошо сохранившийся бронзовый мангал¹.

Такие бронзовые мангали встречались в Азербайджане и раньше, главным образом их находили в зоне, примыкающей к Кубинскому району. Такой же мангаль (только плохой сохранности) был обнаружен азербайджанскими археологами в 1957 г. в сел. Алтыагач Сумгайитского района². К этой группе манголов можно отнести и широко известные бронзовые котлы из Дагестана³ и др.

Наш экземпляр имеет полусферическую форму и поконится на трех ножках. Высота его 30 см, а диаметр равен 41 см, а окружность — 131 см.

⁹ Тәсадүфи дејилдир ки, белә бәзәк сәпки нөвүнә елм аләминдә „чичәкләнмиш күфи“ стили да дејилдир.

¹⁰ Жухарыда гејд етдијимиз Алтай вә Орта Асијадан тапылмыш ejni бәзәкли сәнәт нұмунәләринин биздән да ән жаҳын оланы XI әсәр айдип.

¹¹ Ләтиф Кәримов. Азәрбајчан халчасы. Бакы-Л. 1961, 43, 49, 177-чи таблолар.

¹² И. А. Орбели. Албанские рельефы и бронзовые котлы XII—XIII вв. памятники эпохи Руставели. Л., 1938, сән. 55, 57, 4. Э. Хәлилов в Дәрәззартда Орта әсәр кәнді. Азәрбајчан тарихи Музейинин Әсәрләри. III чилд, Бакы, 1960, сән. 113.

¹ Ныне этот мангаль находится в коллекции Азербайджанского художника Тогрула Нариманбекова в г. Баку.

² Хранится в Музее истории Азербайджана в г. Баку.

³ Хранится в Гос. Эрмитаже в Ленинграде.

Мангал этот открытого типа, имеет две вертикальные ручки, прикрепленные к двум боковым частям.

Боковые же части состоят из четырех выступов ромбовидной формы, из которых два декорированы сильно стилизованным растительным узором. Третий выступ самый большой, на нем помещены два симметрично расположенных круга с крючкообразными рисунками на внутренней части, а также узор в форме S-образного завитка (напоминающий символические знаки и т. д.). В верхней части последнего выступа помещена надпись, исполнения почерком цветущего куфи.

По мнению Мешади Ханум Нейматовой, прочитавшей вышеописанный текст, эта надпись содержит имя мастера медника Ахмеда сына Мухаммеда.

Указанные орнаментальные мотивы, форма надписей и др. компоненты вызывают ближайшие аналогии с декором различных видов декоративного искусства Азербайджана, начиная с XI в.

Таким образом, стилистические особенности нашего мангала (его форма, орнаменты, приемы композиционного построения декора и т. д.), его общность с найденными до этого времени другими аналогичными экземплярами, форма надписей арабских букв и другие компоненты, дают нам возможность считать его изделием азербайджанских мастеров XIII—XIV вв. и отнести его к кругу памятников художественного ремесла Ширвана.

МУНДЭРИЧАТ

Ријазијјат

Р. А. Бајрамов. Соң гијметли мөнтигдэ предикат стабилизаторлары ва Шеффер функцијалары 3

Механика

Ж. Н. Гулијев. Оптималь естакада конструкцијалары һагында 7

Физика

М. Э. Бағыров, В. П. Малик. Мұхтәлиф термик құсусијәттеги икілөвнәли системдә лөвнәләрин биринші сабит истилек сели илә гызырыдыңда температурун паяланмасы 11

Термодинамика

А. Г. Һәбібов, А. Б. Сатурјанс. Йүксәк тәзілгі вә температур шәрәндинде газсызлаштырылмыш вә газла дојдурулмуш нефтиң өзлүлүгү арасында кәмијүәт әлагәси мәсөләсінә даир 16

Кимја

Л. Ш. Зұлфұгарова, Е. М. Чәфәрова, И. И. Писман, З. Н. Зұлфұгаров. Магнезиумсилкат вә алұмомагнезиумсилкат дашијычыларының вә оиласының әсасында һазырламыш хромоксид катализаторларының активтілігін кимјәви тәркиб вә туршулуғлары арасында работо 20

Ұзви кимја

А. М. Гулијев, Р. А. Ба ба ханов, С. А. Мевлазада, С. Н. Исаев. Сианонорборианың меркапто төрмәләринин синтези 27

Физики кимја

М. Н. Мәнәррәмов, Ч. Э. Һусеинов, Ш. Т. Эймәдов, Е. З. Зөнраббәјова. Ароматик карбоидрокенеләриң турш катализаторларының иштирақында аллилхлоридлә реаксијасының тәдгиги 33

С. Ч. Мәндијев, З. Ж. Мәнәррәмов, В. П. Смирнова, Р. Ж. Мәнәррәмова. Фталимиддин фталонитриллә гарышында полјарографик тәјінни 37

Нефт вә газ жатагларының ишләнілмәсі

Н. Ч. Таһиров, Ч. Ш. Вәзиров, Ш. Ж. Гочаев, Ф. Ә. Қаримова. Қарбонидрокенеләриң мајеләрни су илә экспахилы капилјар сыхыштырылмасына температурун тәсіри 40

Минералокија

И. Н. Кәримов, Э. Б. Ширәлиев. Вежиәли жатагы филизләриңде бәзи надир тапылан минералларының ашқар едилмаси һагында (Кичик Гафгаз) 44

Стратиграфија

М. Р. Әбдүлгасымзадә. Кәдәбәй рајонунда кимерич чекүнтуләринин ашқара чыхмасы һагында (Кичик Гафгаз) 48

Минералохија

М. Э. Гашгай, Т. С. Маммадов, В. А. Громов, Ч. Ч. Чәфәров.
Дашкесен мәденинин гранат кристалларының микролалыгларын тәдгиги 53

Агрокимја

Ч. М. Һүсейнов, С. Р. Рәhimов. Минерал күбрәләр фонундан асылы
олараг СК стимулаторунун памбыг биткисинин мәңсулдарлыгына тә'сири 61

С. Э. Элиев. Азәрбайчаның әсас торнаг типләриндә үзви минерал бирләш-
мәләри формалары 65

Биолохија

З. А. Ахундов, Т. А. Зеиналов. Ишыгын ишк гурду кәцәнәйинин то-
хум дүзмәсінә вә тохумун кејфијәтинә тә'сири 70

Тибб

Л. М. Һүсейнова. Рахит хәстәлиги заманы галханвары әтраф вәзиләринин
функционал вәзијәти (тәрүби вә клиник мәлumatлар) 76

Физиолохија

А. И. Гарајев, О. М. Чәфәрли. Үрәк хәстәләриндә ишыга гарышы нәс-
сасылығын дәјишилмәсі 80

Археолохија

Ә. Э. Чидди, О. Ш. Исмизадә. Тәбрiz шәһәри јаҳындыгында ән гәдим
јашаыш јери 84

Тәтбиги сәнәт

Расим Әфәнди. Губа раionундан тапылмыш буруңч мангаль һағында 88

31

Минералохија

Г. И. Керимов, А. Б. Ширазиев. Об обнаружении некоторых редко
встречающихся минералов в рудах Вежналинского месторождения (Малый
Кавказ) 44

Стратиграфия

М. Р. Абдулкасумзаде. О присутствии кимериджских отложений в Ке-
дабекском районе (Малый Кавказ) 48

95:

СОДЕРЖАНИЕ

Математика

Р. А. Байрамов. Стабилизаторы предикатов и функции Шеффера в ко-
ничнозначной логике 3:

Механика

Ю. Н. Кулиев. Об оптимальных конструкциях эстакад 7

Физика

М. А. Багиров, В. П. Малин. Распределение температуры в системе
двух пластин при нагреве поверхности одной из них постоянным тепловым
потоком 11

Термодинамика

[А. Г. Габибов], А. Б. Цатуриц. К вопросу о количественной связи
между вязкостью дегазированной и газонасыщенной нефти при высоких давле-
ниях и температурах 16.

Химия

Л. Ш. Зульфугарова, Э. М. Джаярова, И. И. Письман,
З. Г. Зульфугаров. Исследование связи активности с химическим соста-
вом и кислотностью магнийсилicateных и алюмомагнийсилicateных носителей
и хромокисных катализаторов на их основе 20

Органическая химия

А. М. Кулиев, Р. А. Бабаханов, С. А. Мовлазаде, С. Г. Гаса-
нова. Синтез меркаптоизоцианоформорборнена 27

Физическая химия

М. Н. Магеррамов, Д. А. Гусейнов, Ш. Т. Ахмедов, Э. З. Зох-
рабекова, С. М. Фархадова. Исследование реакции ароматических
углеводородов с хлористым аллилом в присутствии кислых катализаторов 33

С. Д. Мехтиев, З. Ю. Магеррамова, В. П. Смирнова, Р. Ю. Ма-
геррамова. Полярографическое определение фталимида в смеси его с фта-
лонитрилом 37

Разработка нефтяных и газовых месторождений

Н. Д. Таиров, Д. Ш. Везиров, Ш. Я. Коджаев, Ф. Г. Керимова.
Влияние температуры на противоточное капиллярное вытеснение углеводородных
жидкостей водой 40

Минералогия

Г. И. Керимов, А. Б. Ширазиев. Об обнаружении некоторых редко
встречающихся минералов в рудах Вежналинского месторождения (Малый
Кавказ) 44

Стратиграфия

М. Р. Абдулкасумзаде. О присутствии кимериджских отложений в Ке-
дабекском районе (Малый Кавказ) 48

95:

Минералогия

М. А. Кащакай, Т. С. Мамедов, А. В. Громов, Ч. Д. Джадар
Исследование микровключений в кристаллах граната из Дашкесана

Агрохимия

- Д. М. Гусейнов, С. Р. Рагимов. Влияние стимулятора СК на урожай хлопчатника в зависимости от фона минеральных удобрений 61
С. А. Алиев. Формы органико-минеральных соединений в основных типах почв Азербайджана 65

Биология

- З. И. Ахундов, Т. А. Зейналов. Влияние светового фактора на откладку и качество греши тутового шелкопряда 70

Медицина

- Л. М. Гусейнова. К вопросу о функциональном состоянии паразитоидных желез при раките 76

Физиология

- А. И. Карапев, О. М. Джадарлы. Изменение световой чувствительности у сердечных больных 80

Археология

- Г. А. Джидди, О. Ш. Исмизаде. Древнее поселение близ города Тебриза 84

Прикладное искусство

- Расим Эфенди. О бронзовом мангale, найденном в Кубинском районе Азербайджана 88